

付 録 B 衝撃力センサの実験時の出力波形

第 I 部にて説明した 3 種の衝撃力センサの、キャピテーション衝撃力計測時の出力波形を示す。

この実験に関する詳細は第 5 章～第 6 章にて説明しているため、ここでは実験条件のみを示す。実験は、迎角 8° 、流速 8 m/sec. 、キャピテーション数 $\sigma_B = 1.25$ の条件下で行った。この条件では周期的なクラウドキャピテーションが発生する。

なおそれぞれの波形は、計測された過渡電圧そのものである。各センサごとに、電圧の低い順に並べた。グラフの値域 (y 軸の幅) は各波形を詳しく見るために波形の最大、最小値に合わせて調整してあるので、グラフによってバラバラである。

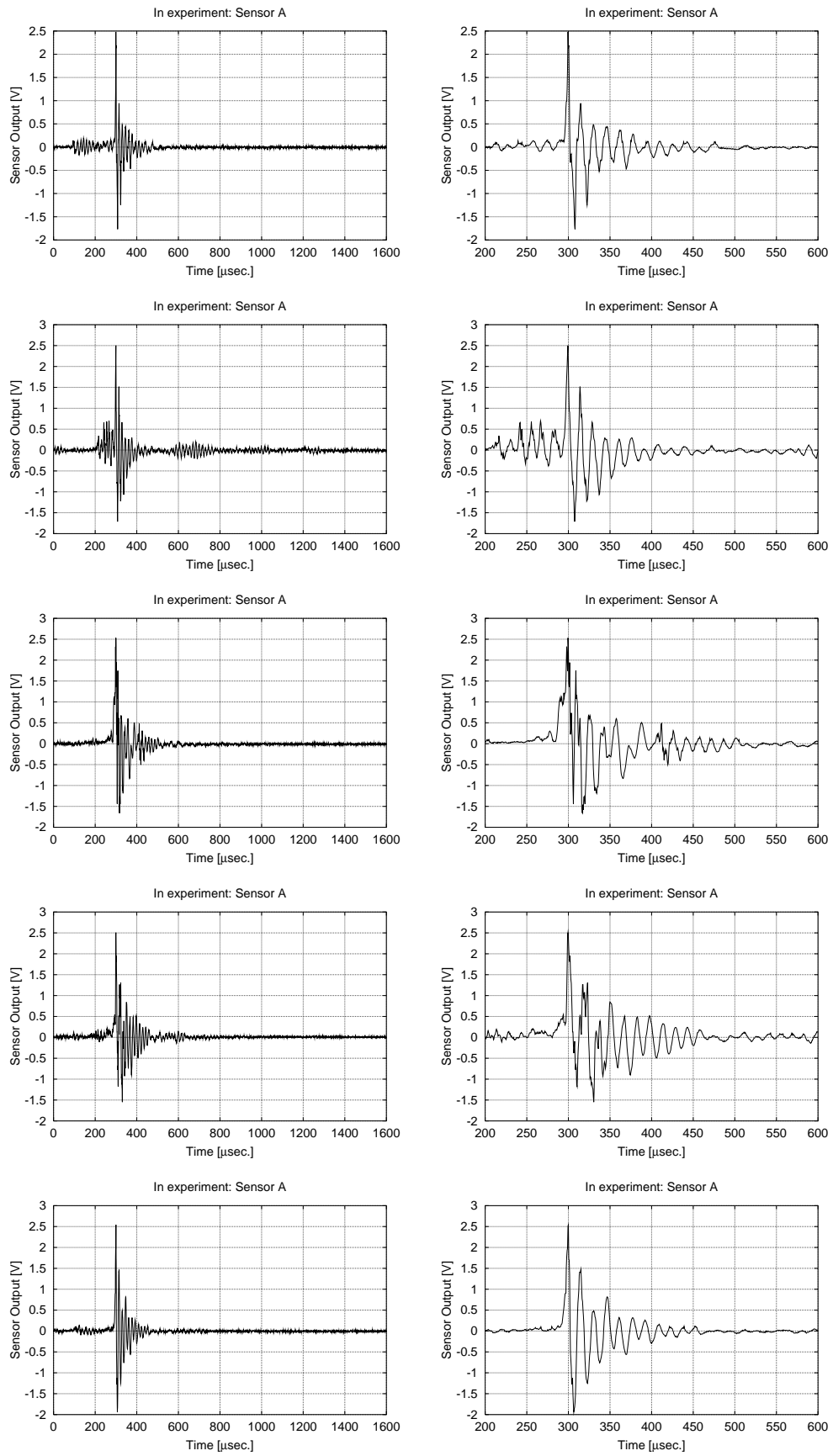


Fig. B.1: Produced signal of sensor A in experiment

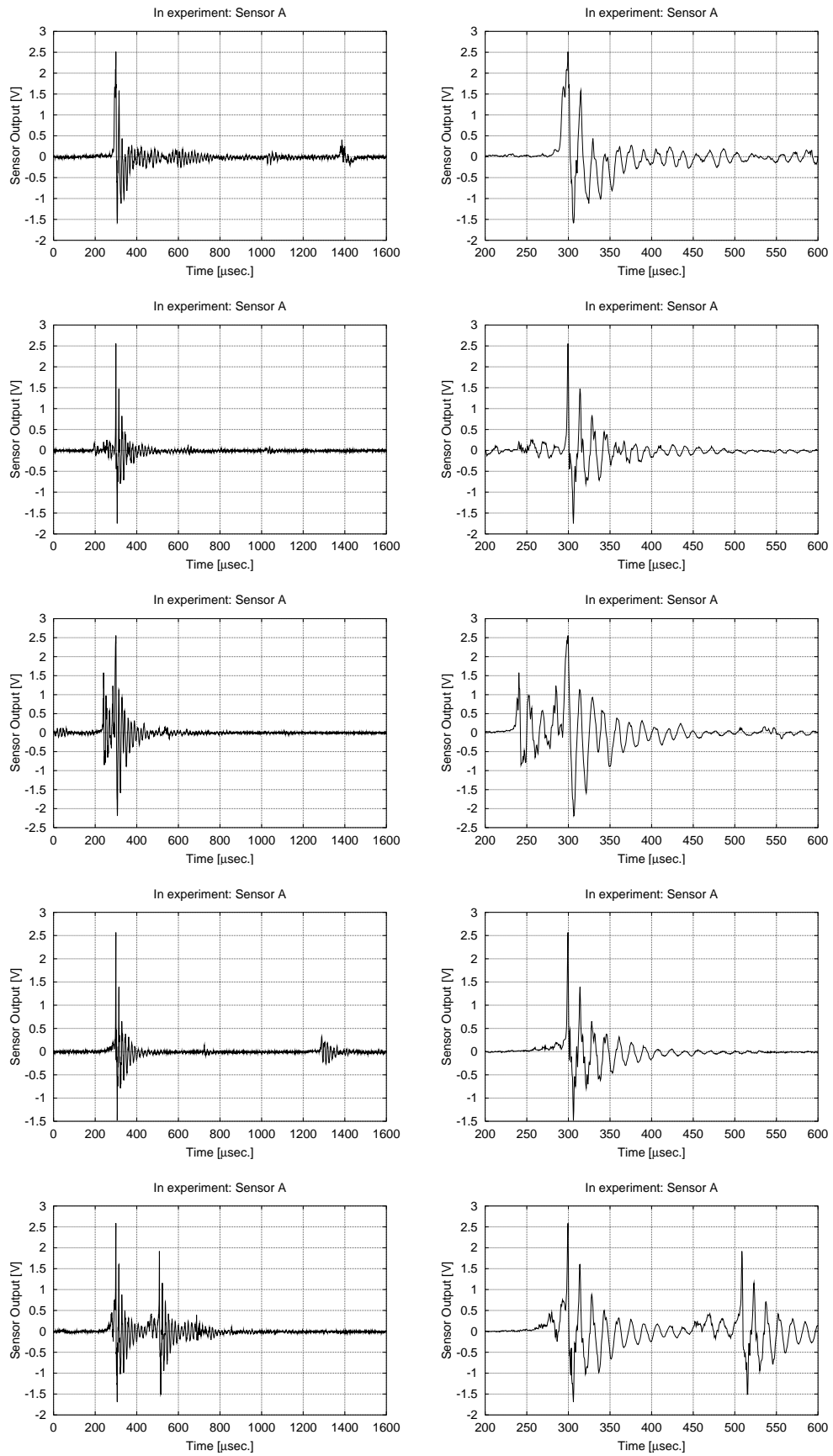


Fig. B.1: (continued)

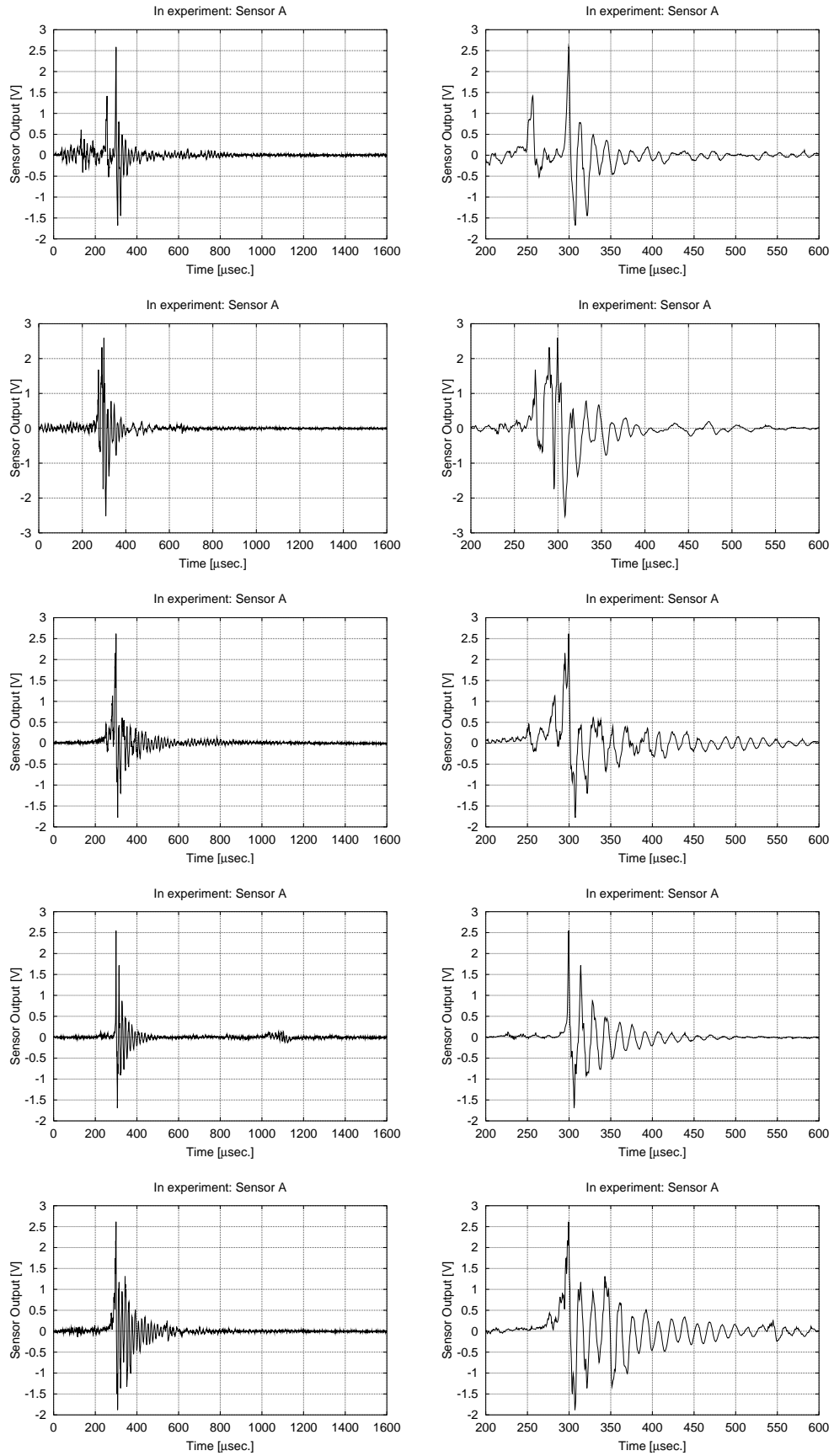


Fig. B.1: (continued)

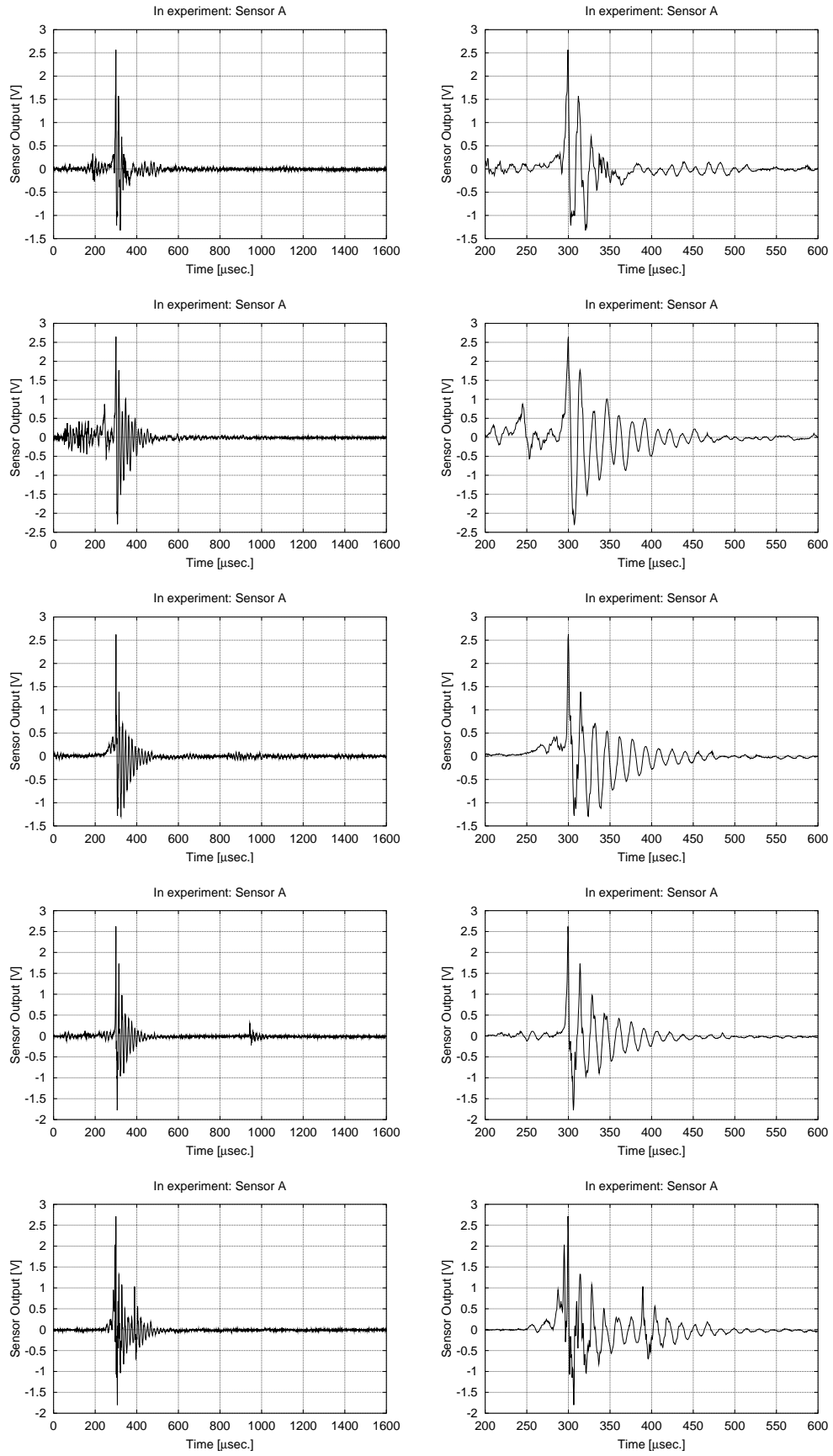


Fig. B.1: (continued)

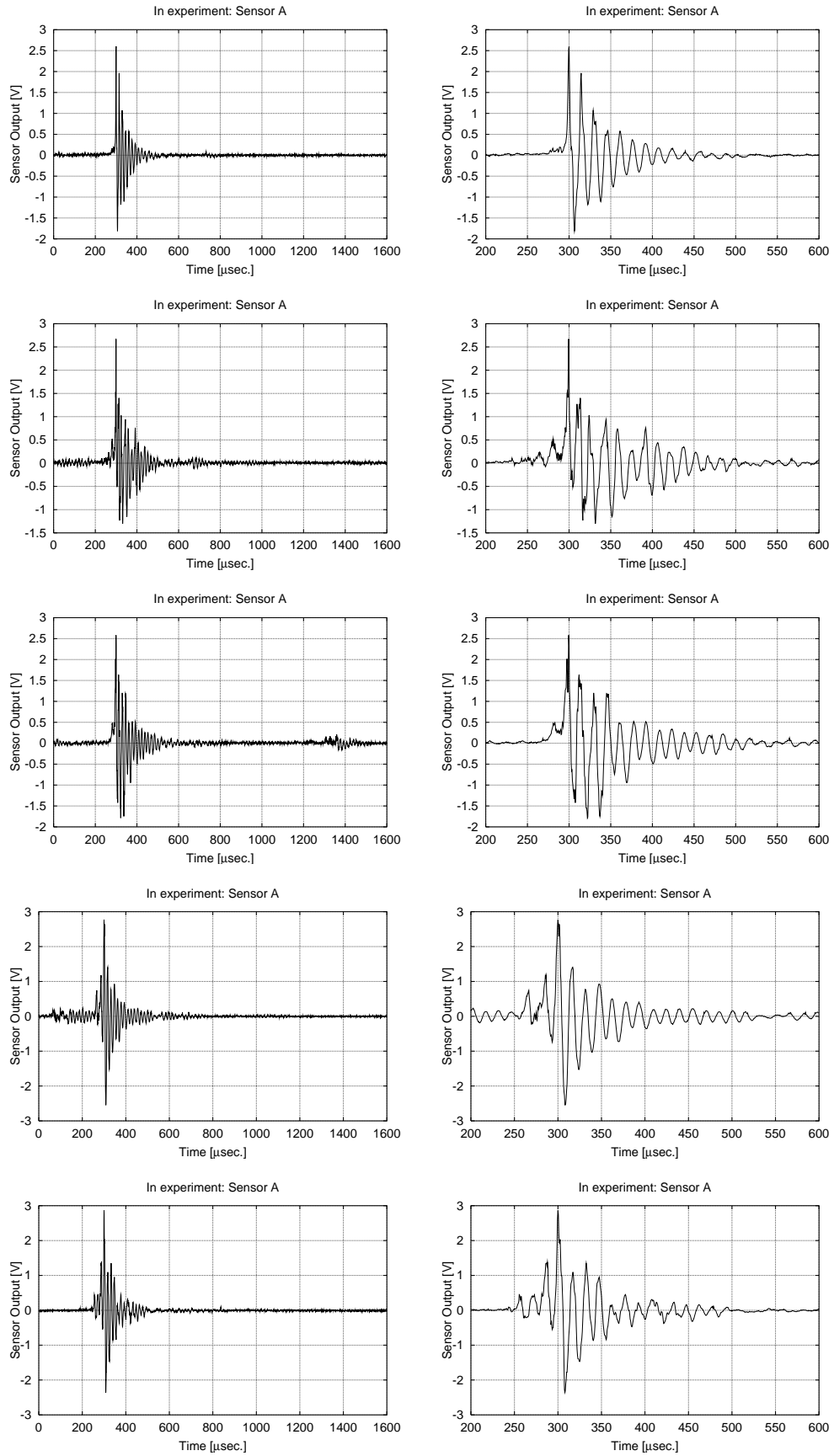


Fig. B.1: (continued)

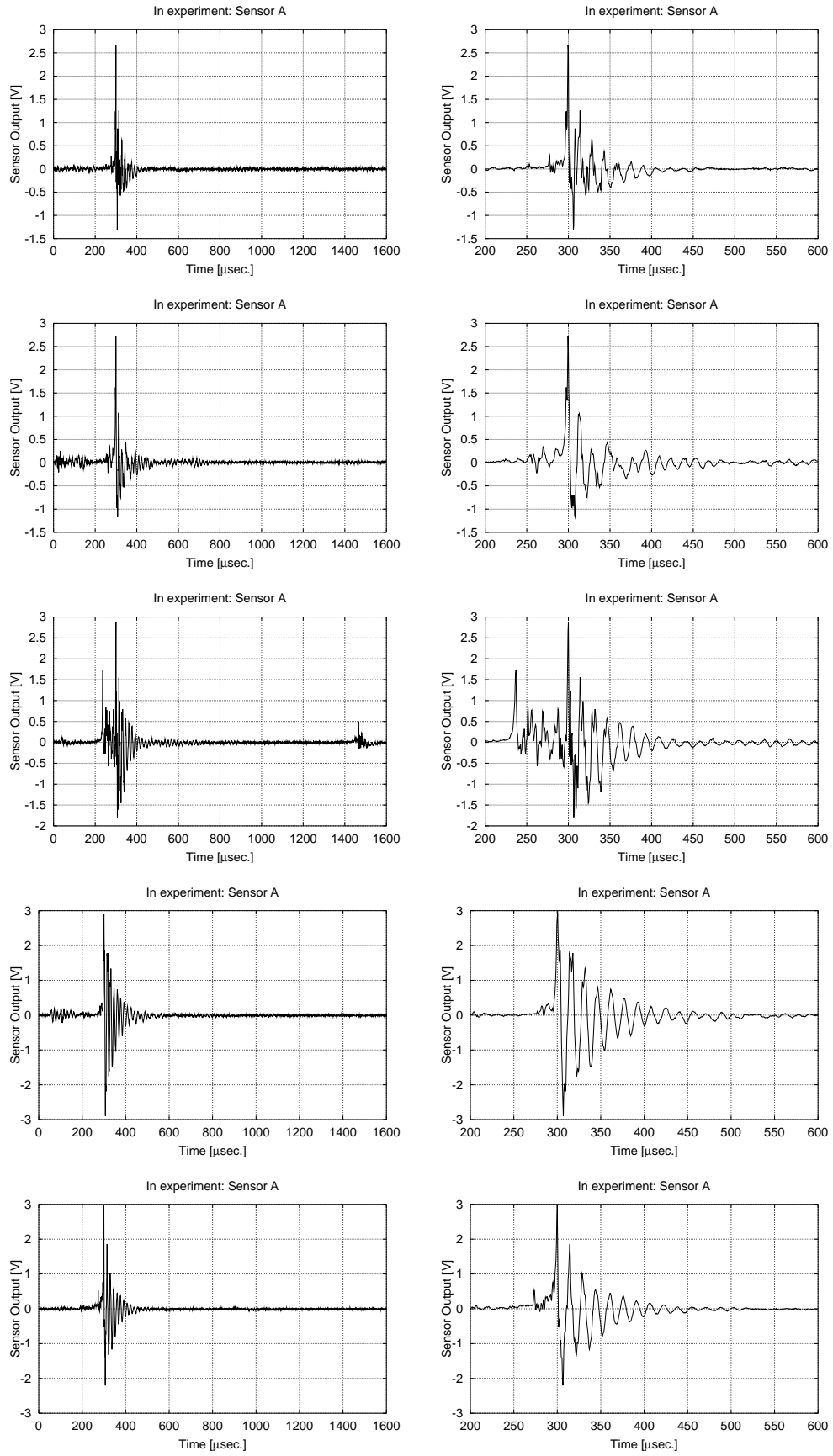


Fig. B.1: (continued)

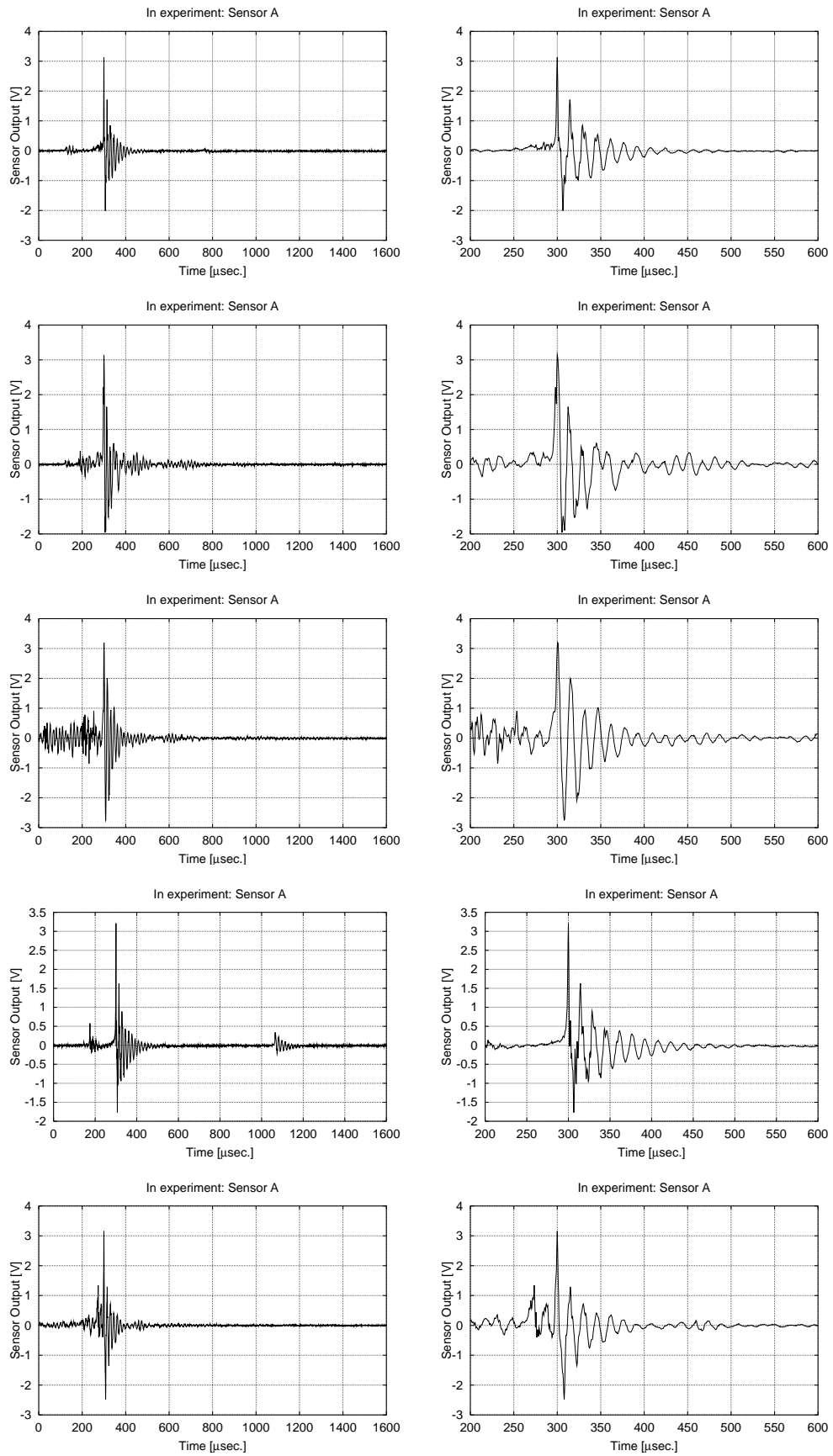


Fig. B.1: (continued)

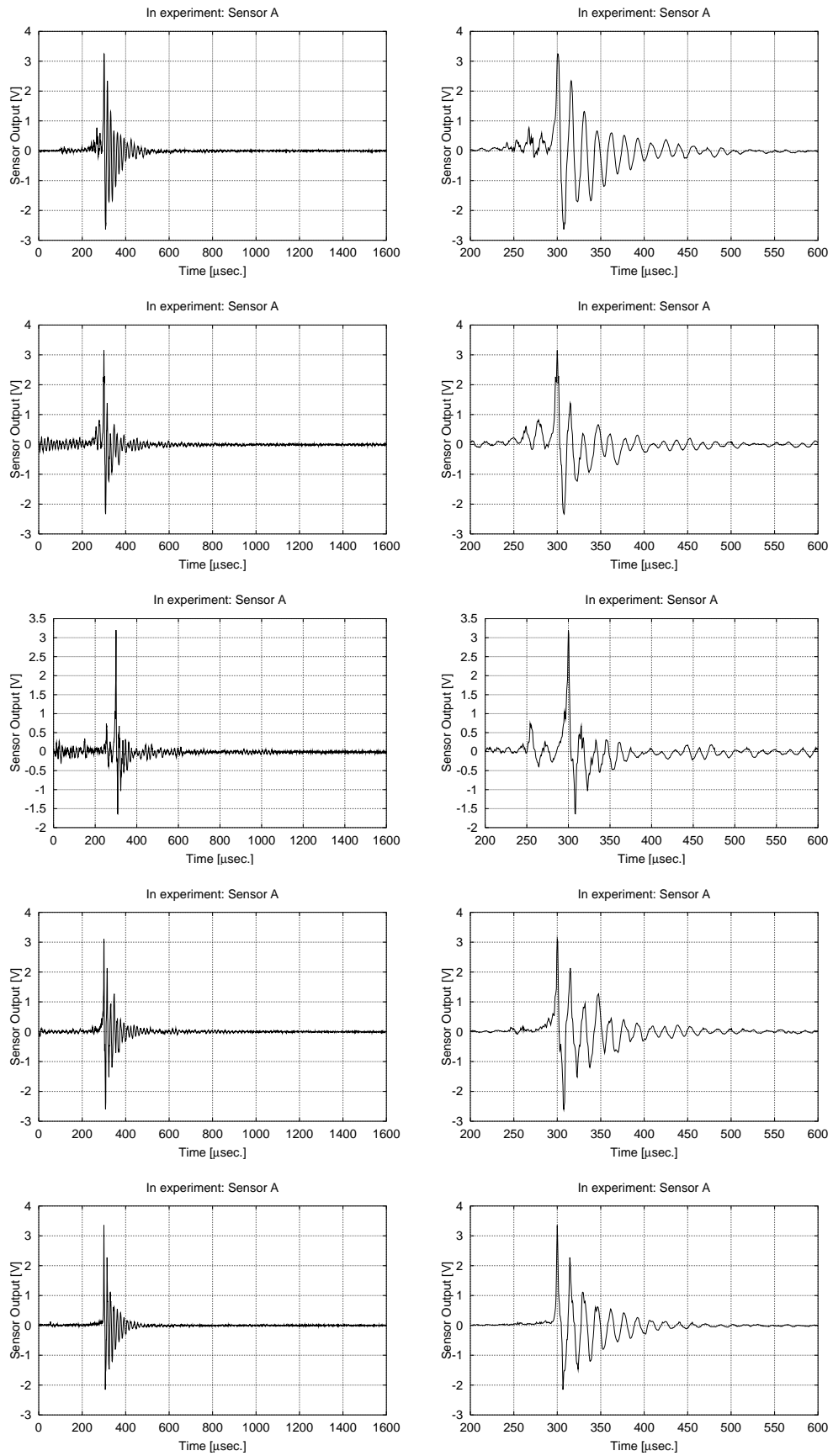


Fig. B.1: (continued)

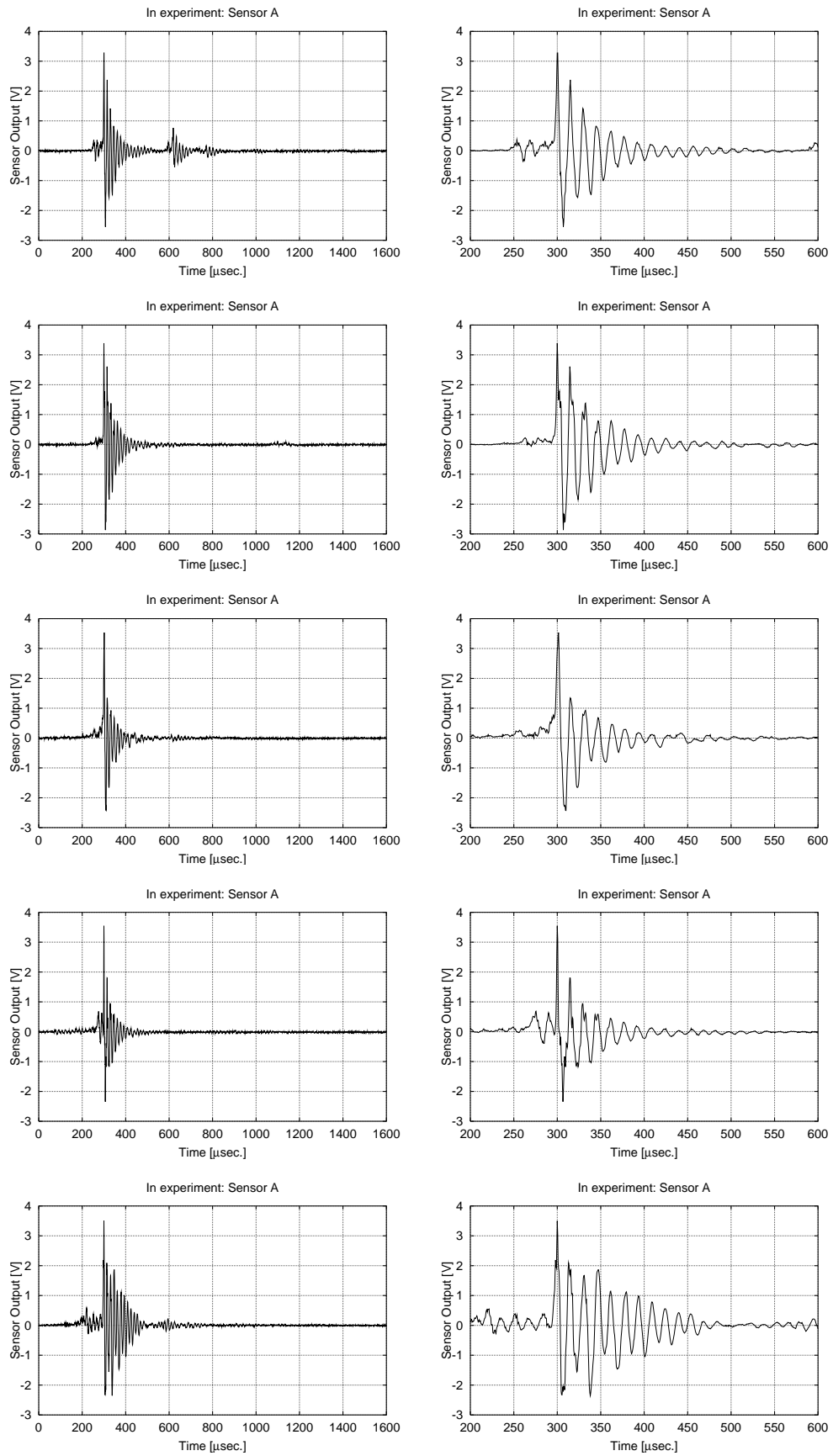


Fig. B.1: (continued)

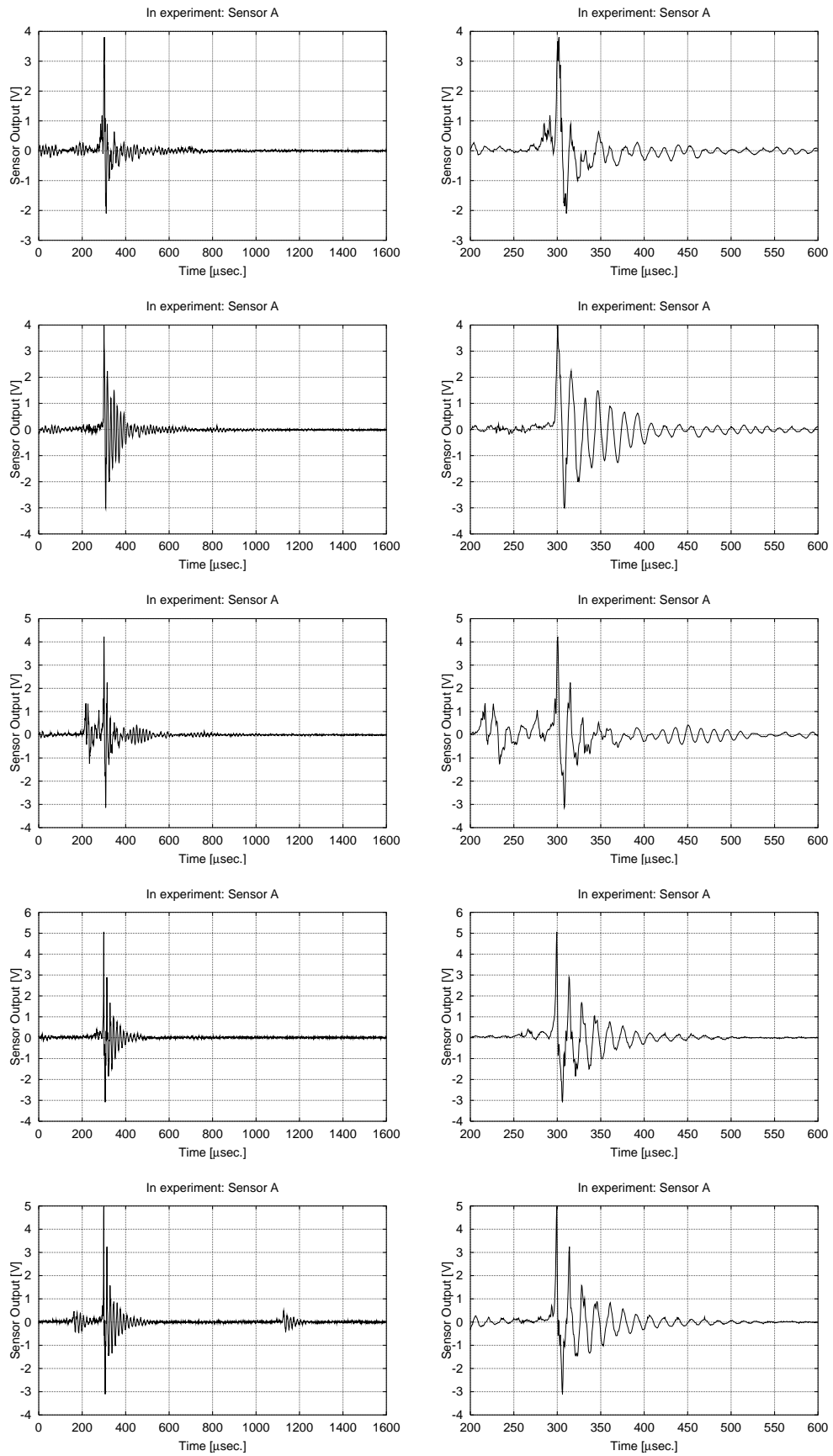


Fig. B.1: (continued)

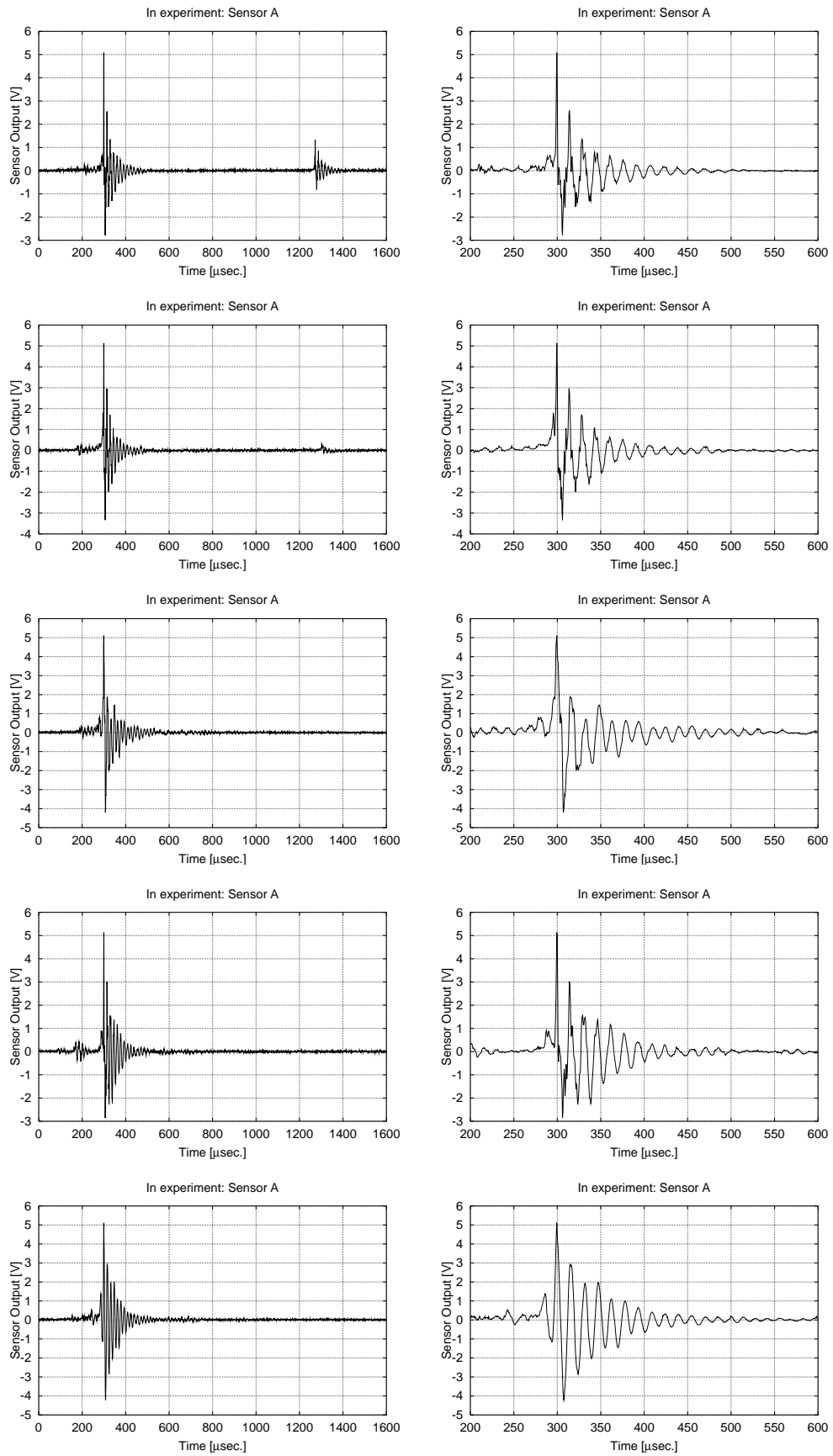


Fig. B.1: (continued)

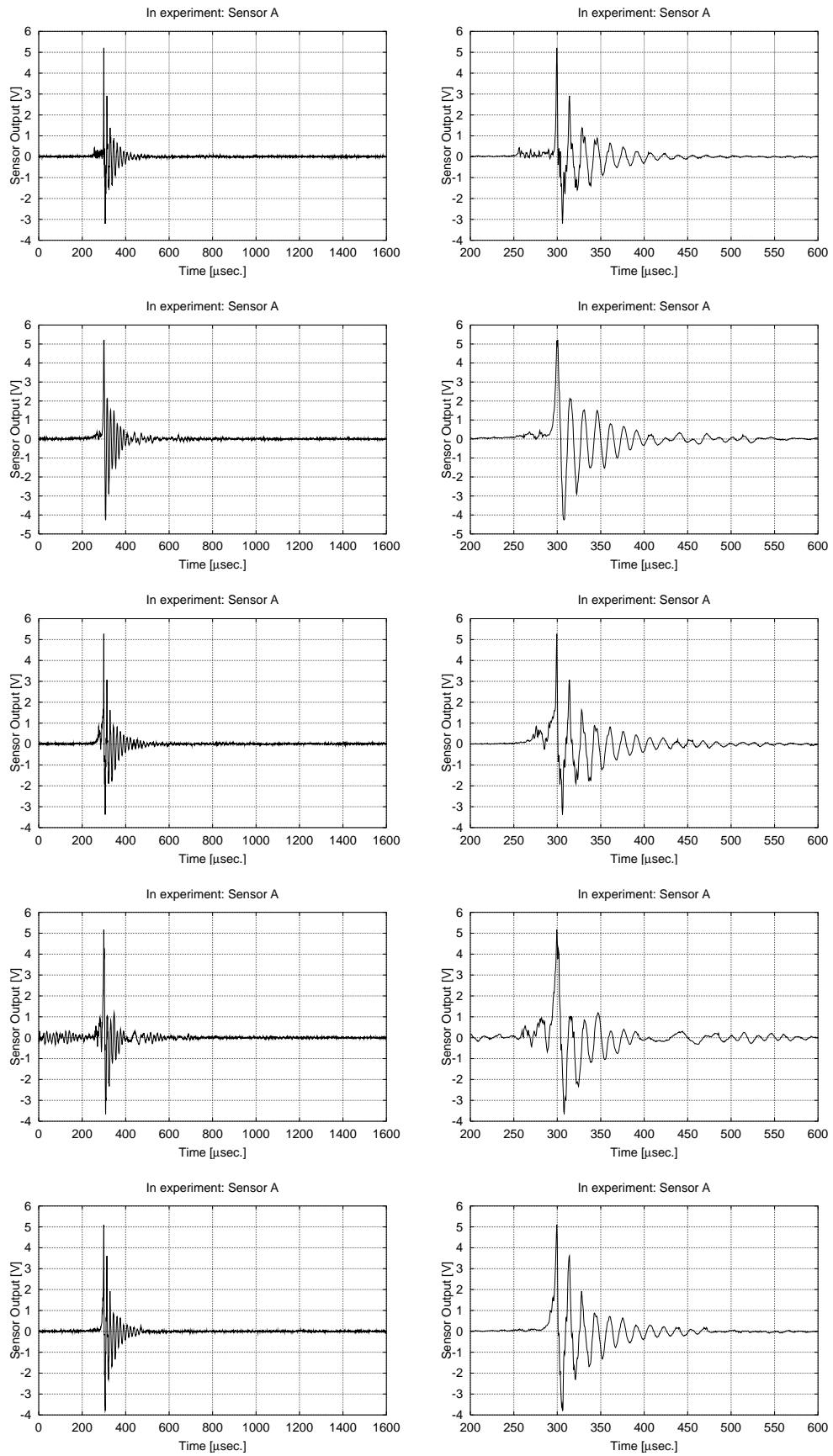


Fig. B.1: (continued)

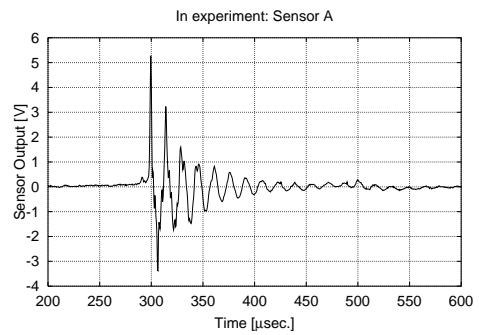
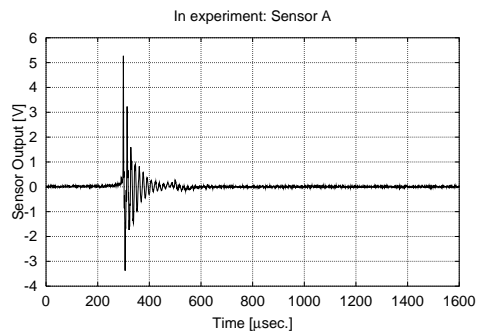
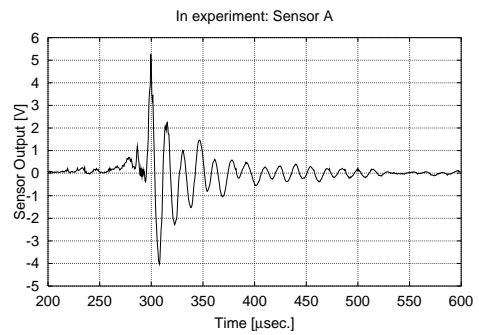
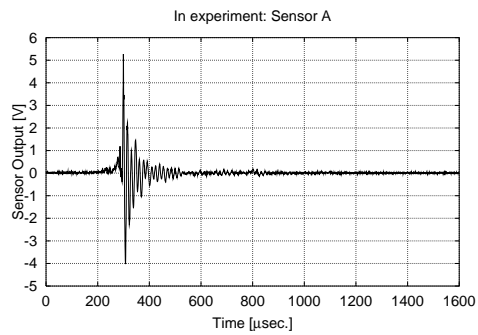
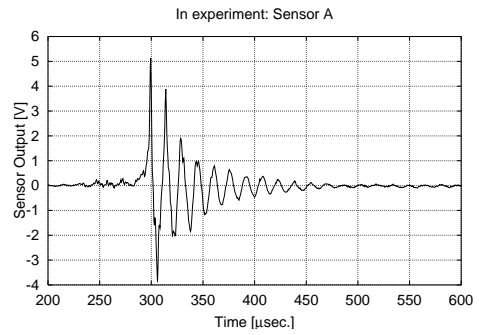
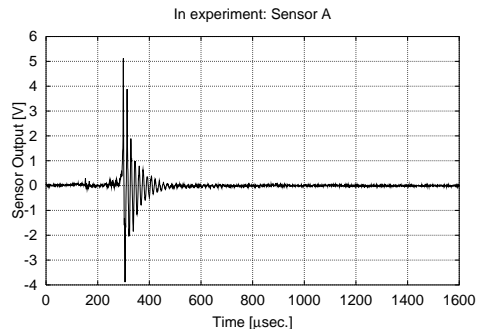
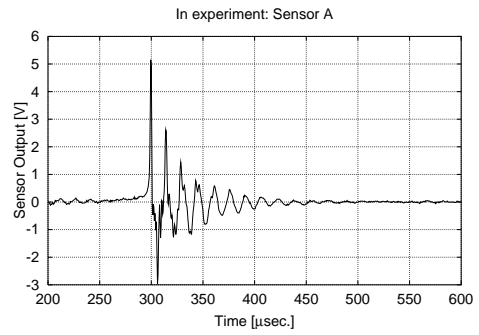
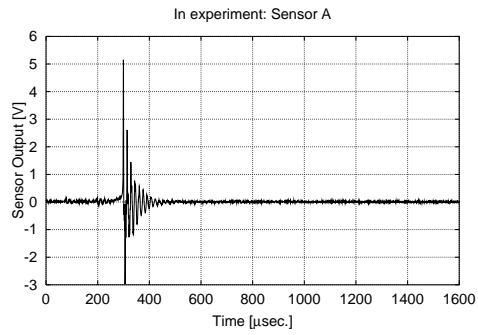
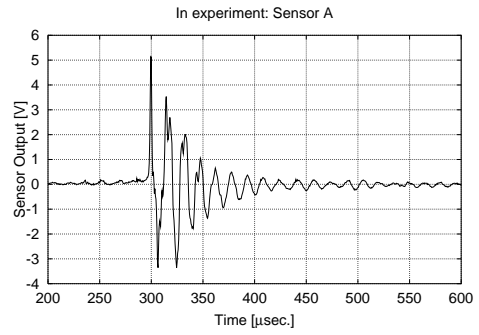
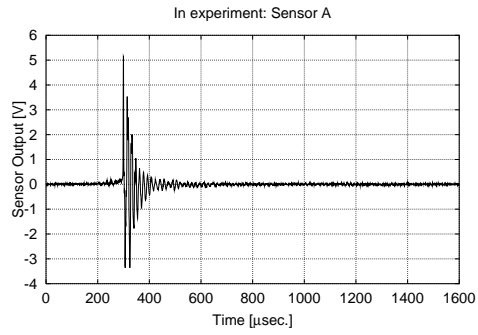


Fig. B.1: (continued)

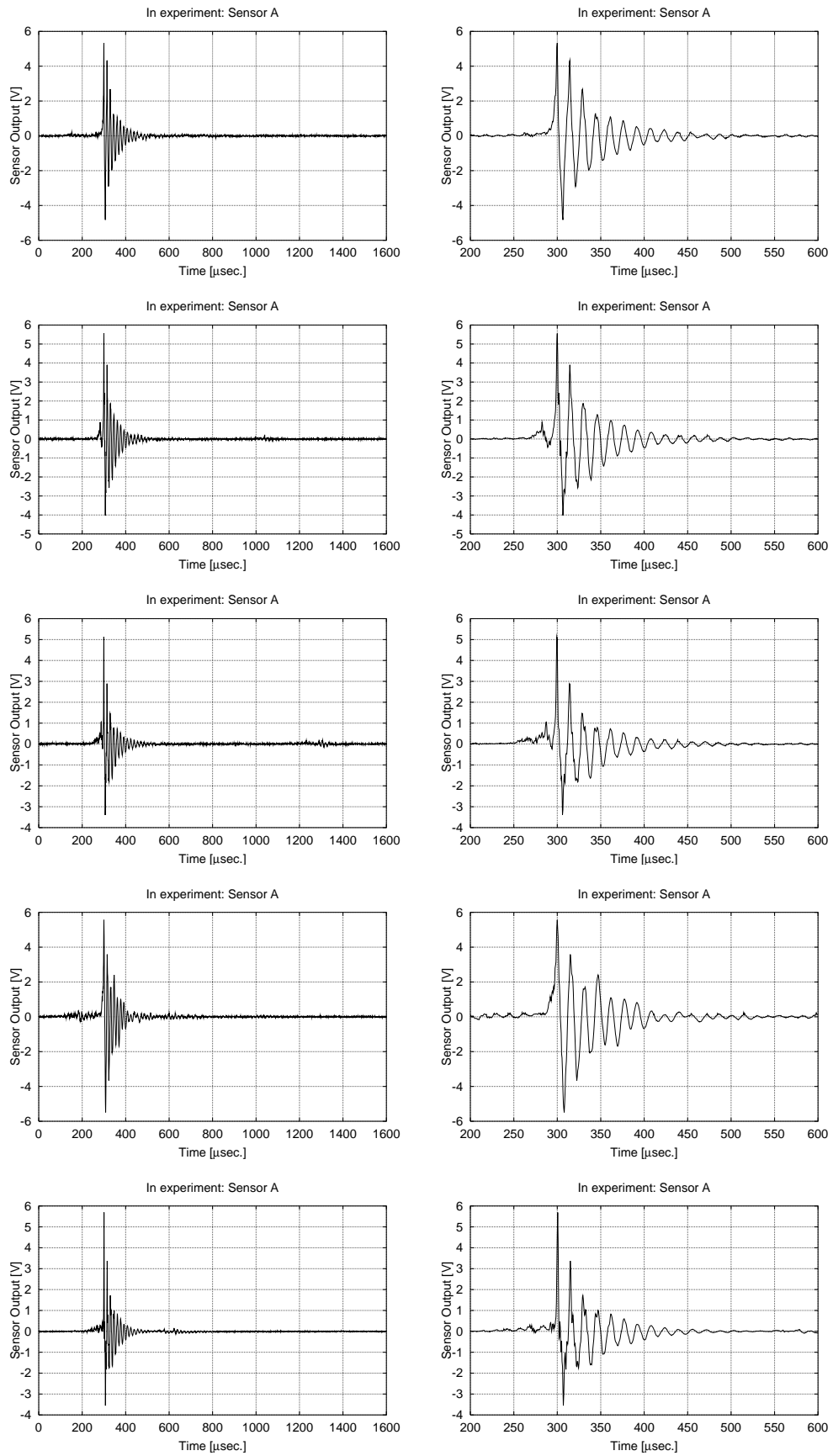


Fig. B.1: (continued)

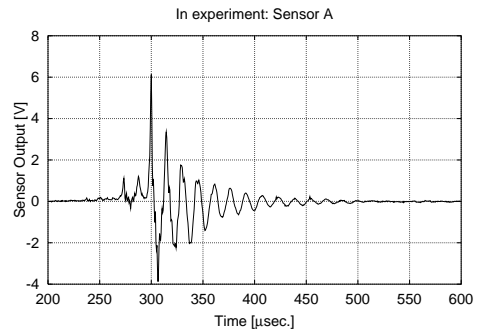
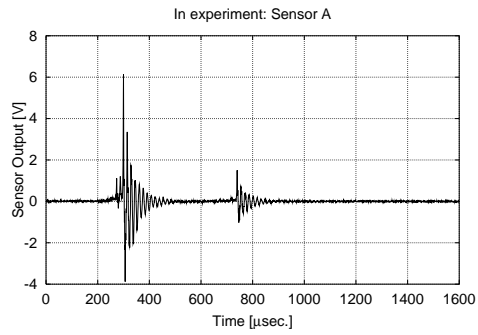
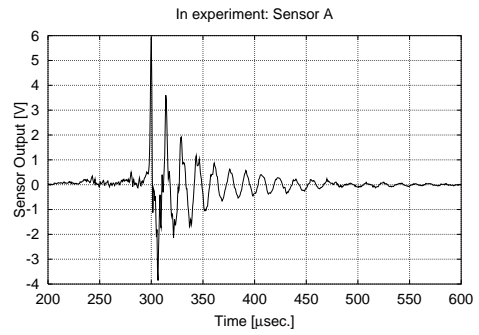
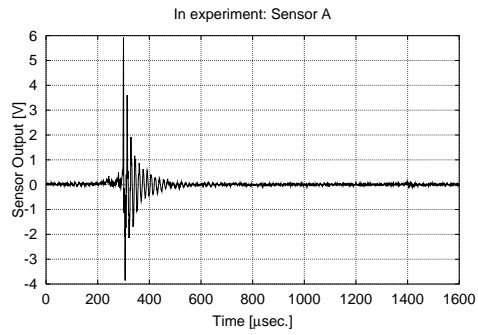
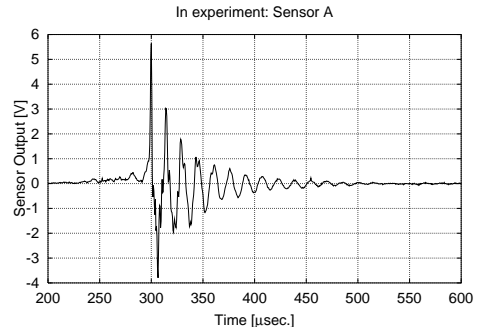
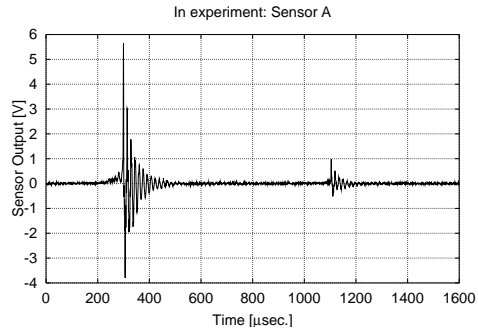
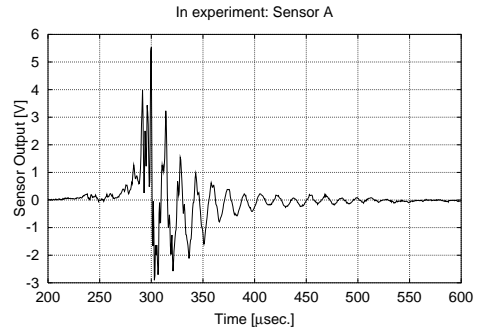
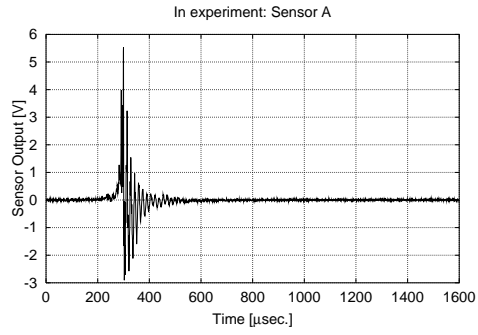
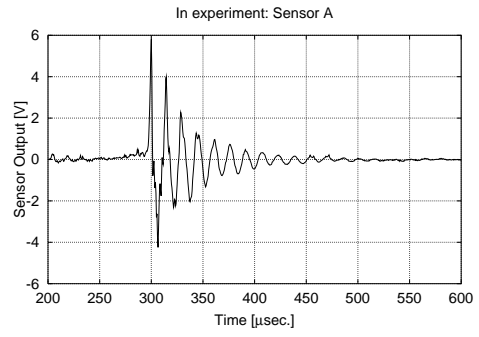
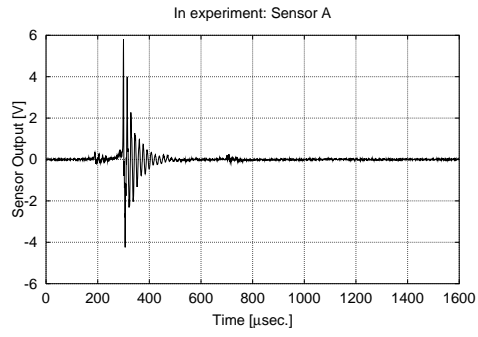


Fig. B.1: (continued)

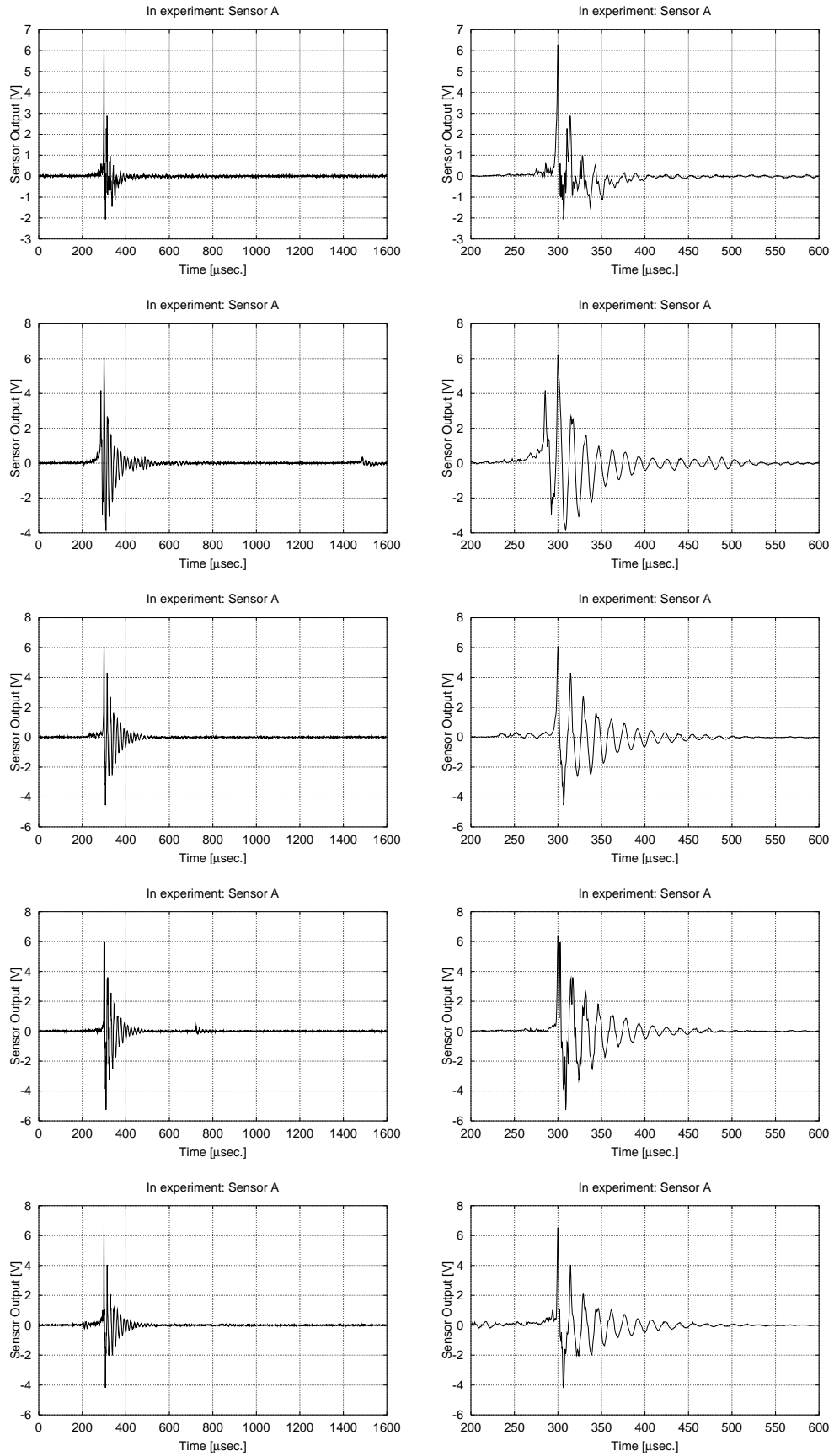


Fig. B.1: (continued)

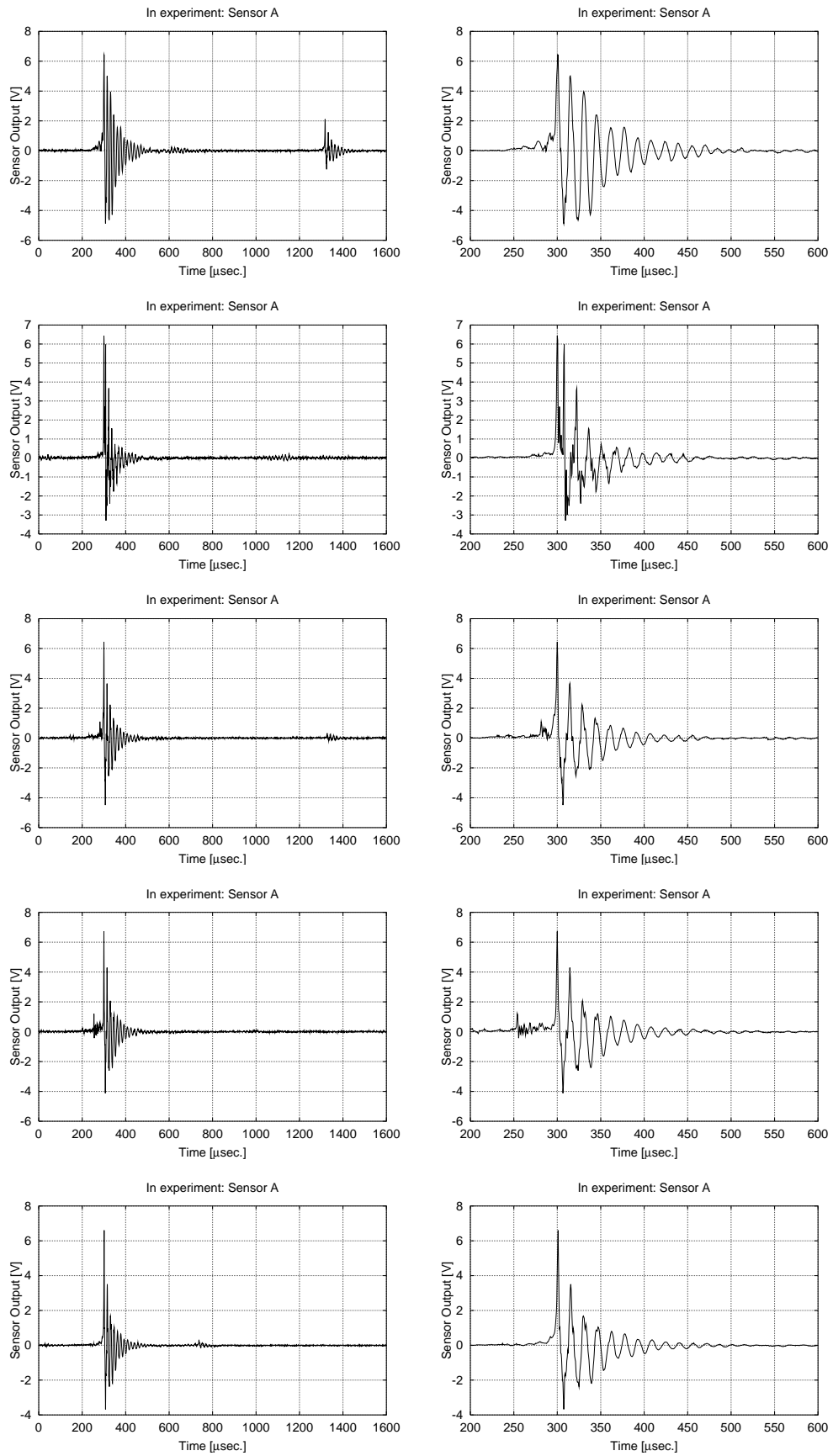


Fig. B.1: (continued)

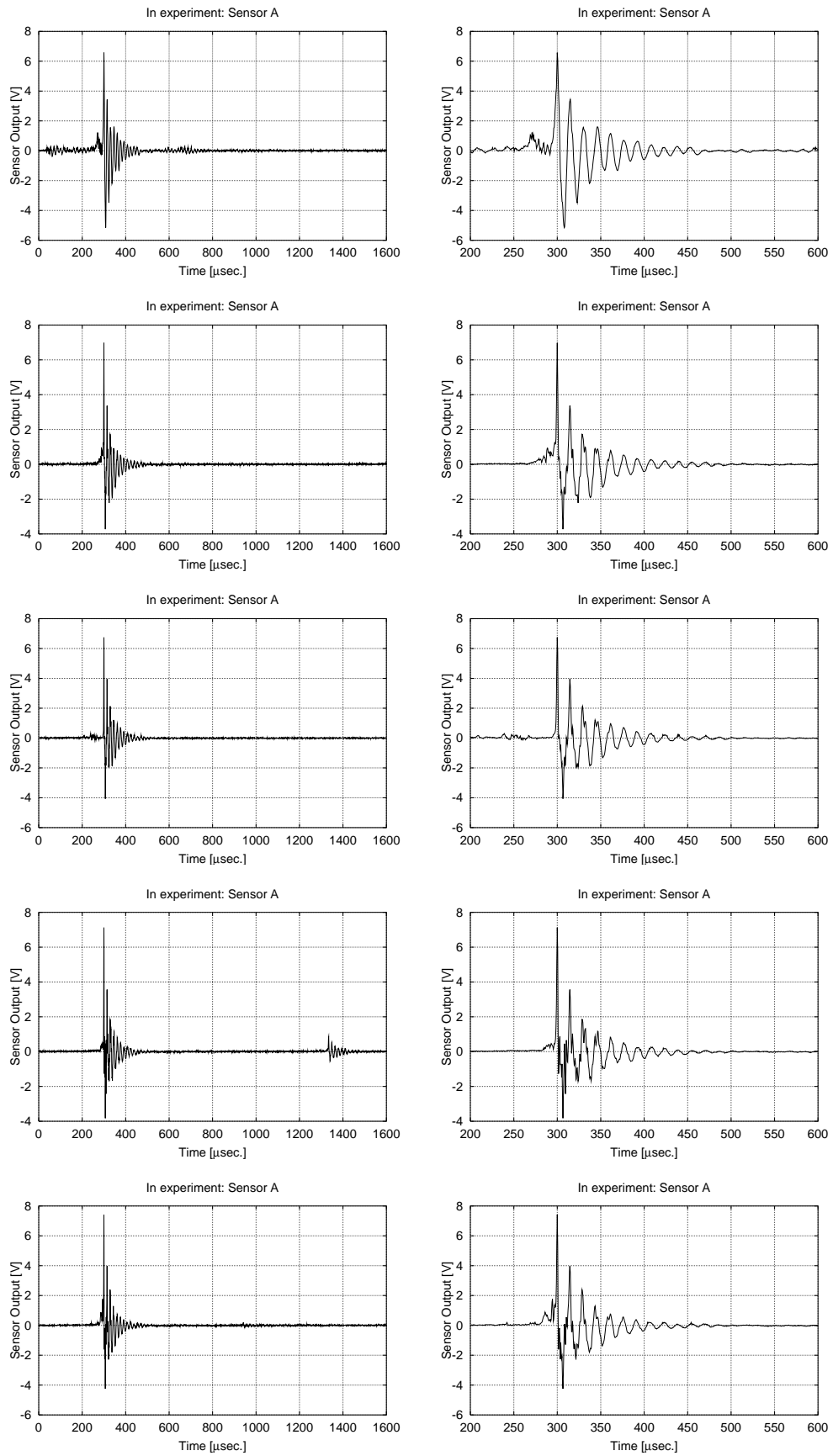


Fig. B.1: (continued)

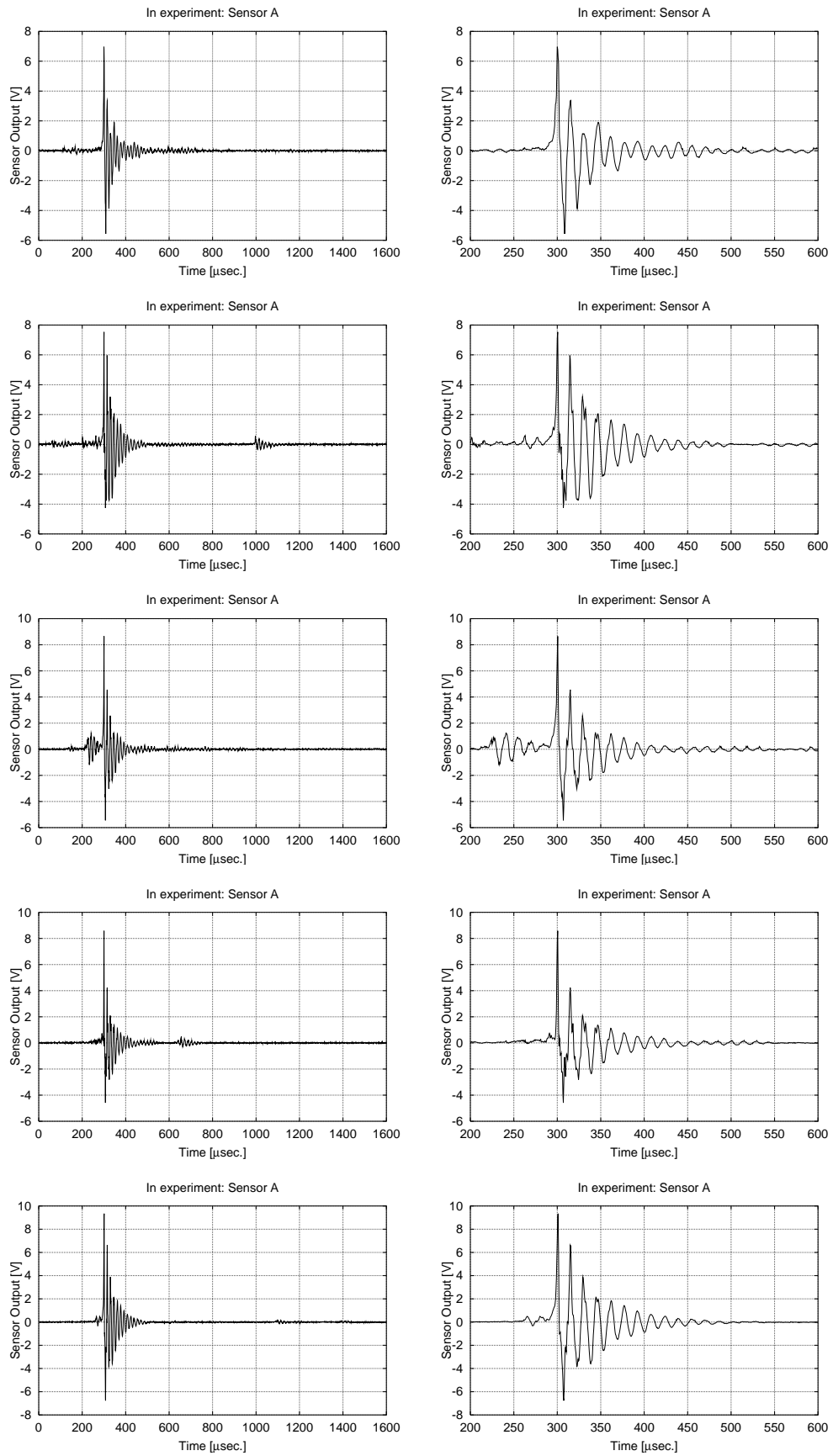


Fig. B.1: (continued)

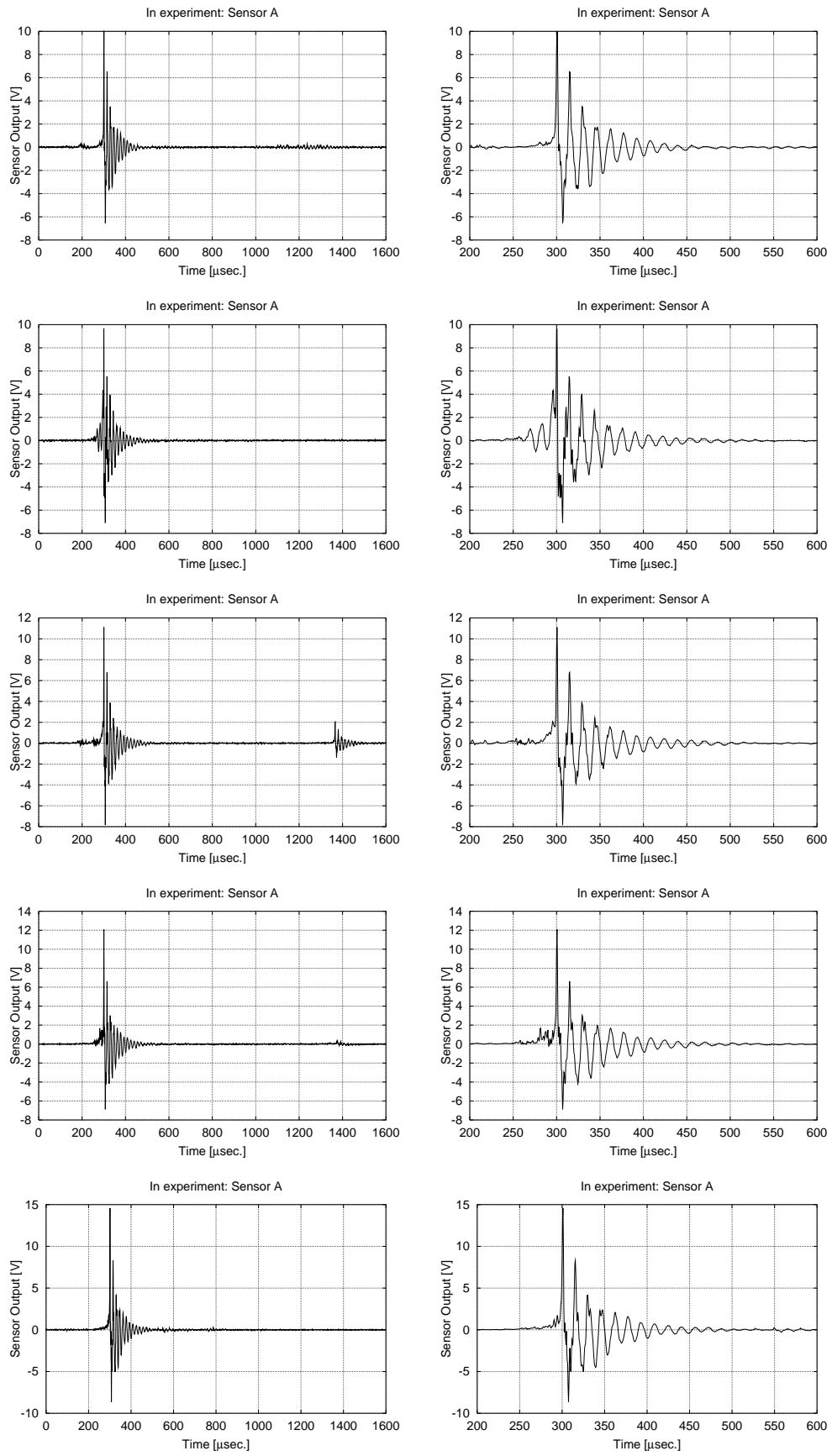


Fig. B.1: (continued)

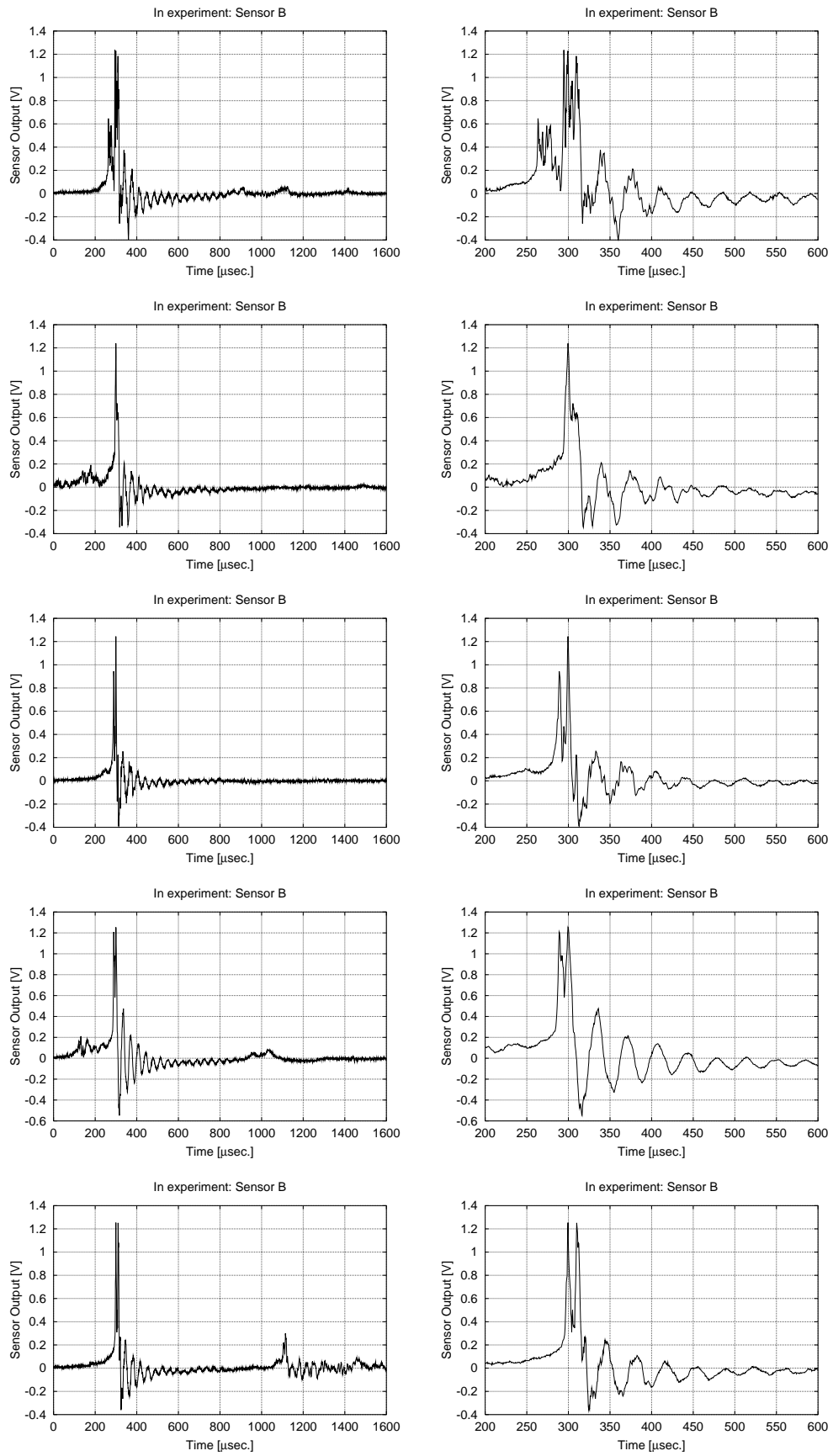


Fig. B.2: Produced signal of sensor B in experiment

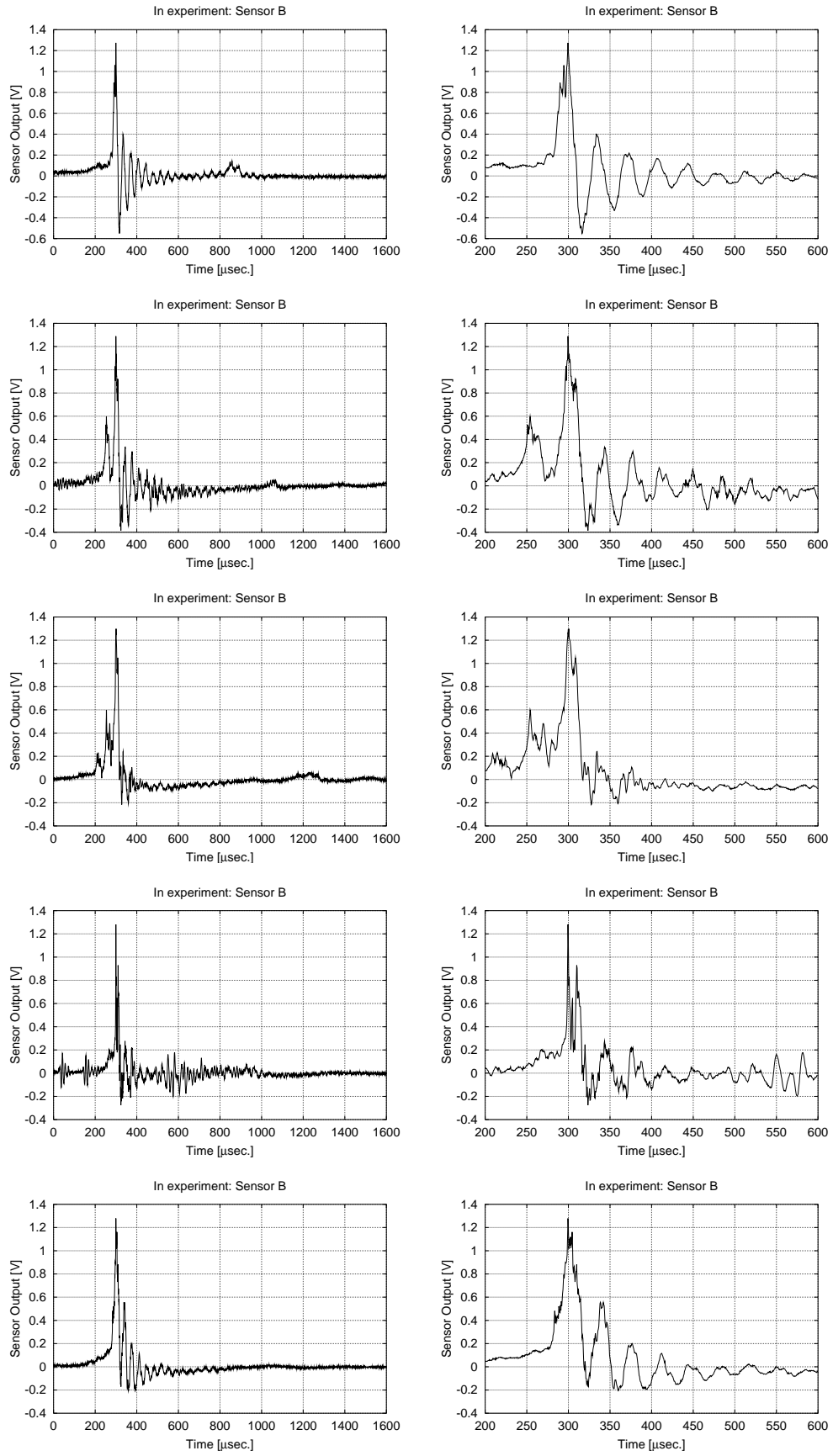


Fig. B.2: (continued)

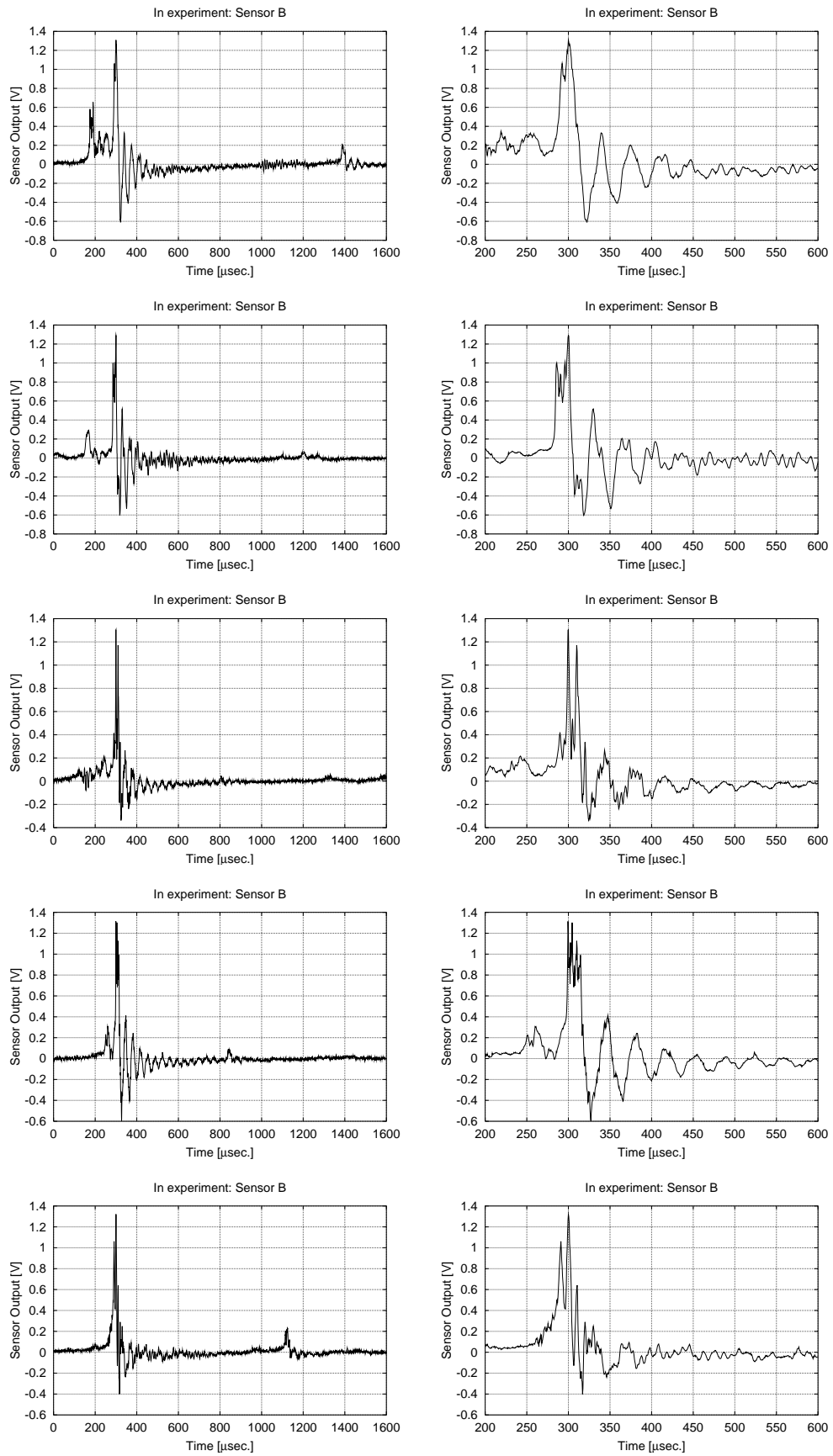


Fig. B.2: (continued)

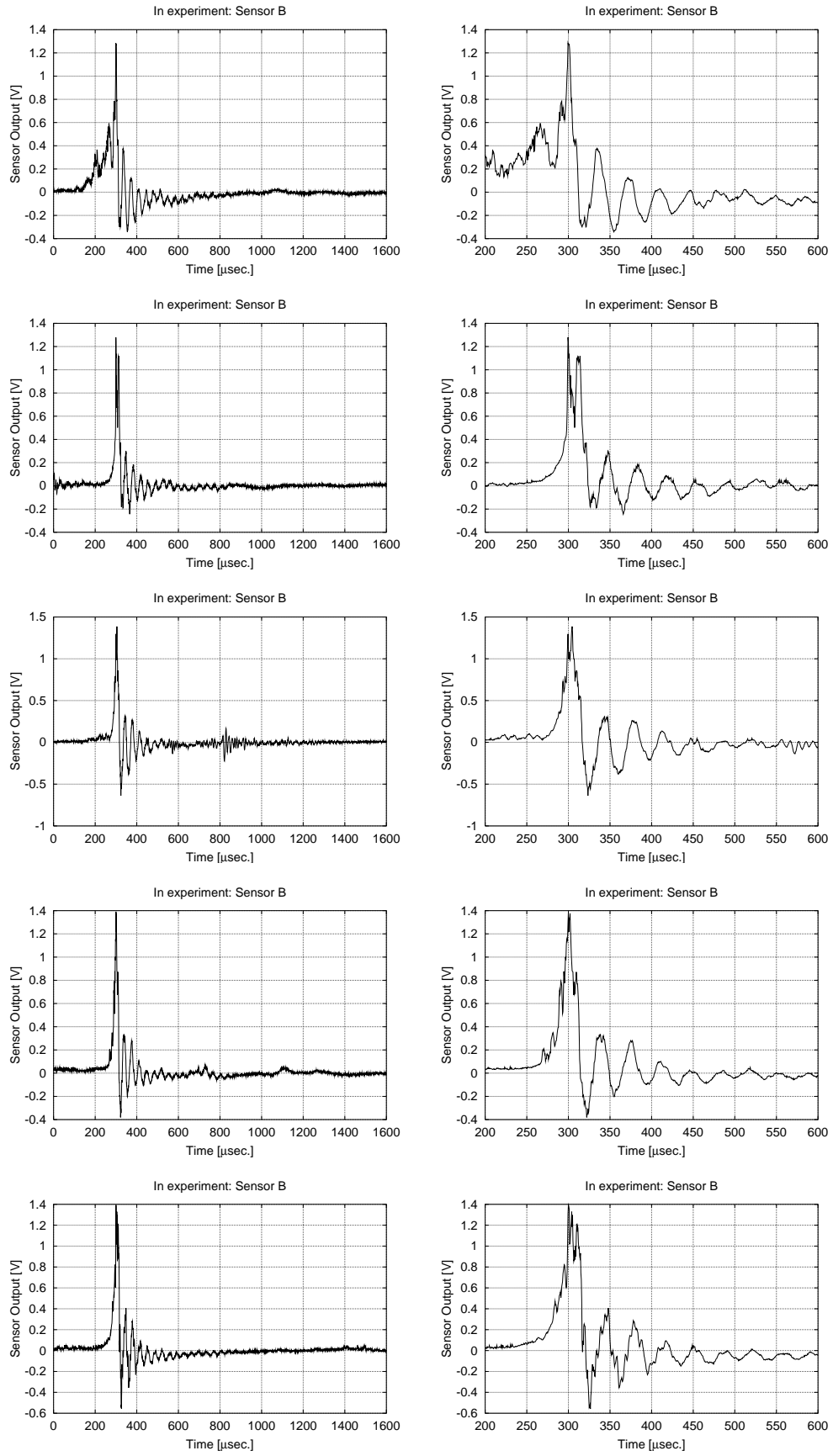


Fig. B.2: (continued)

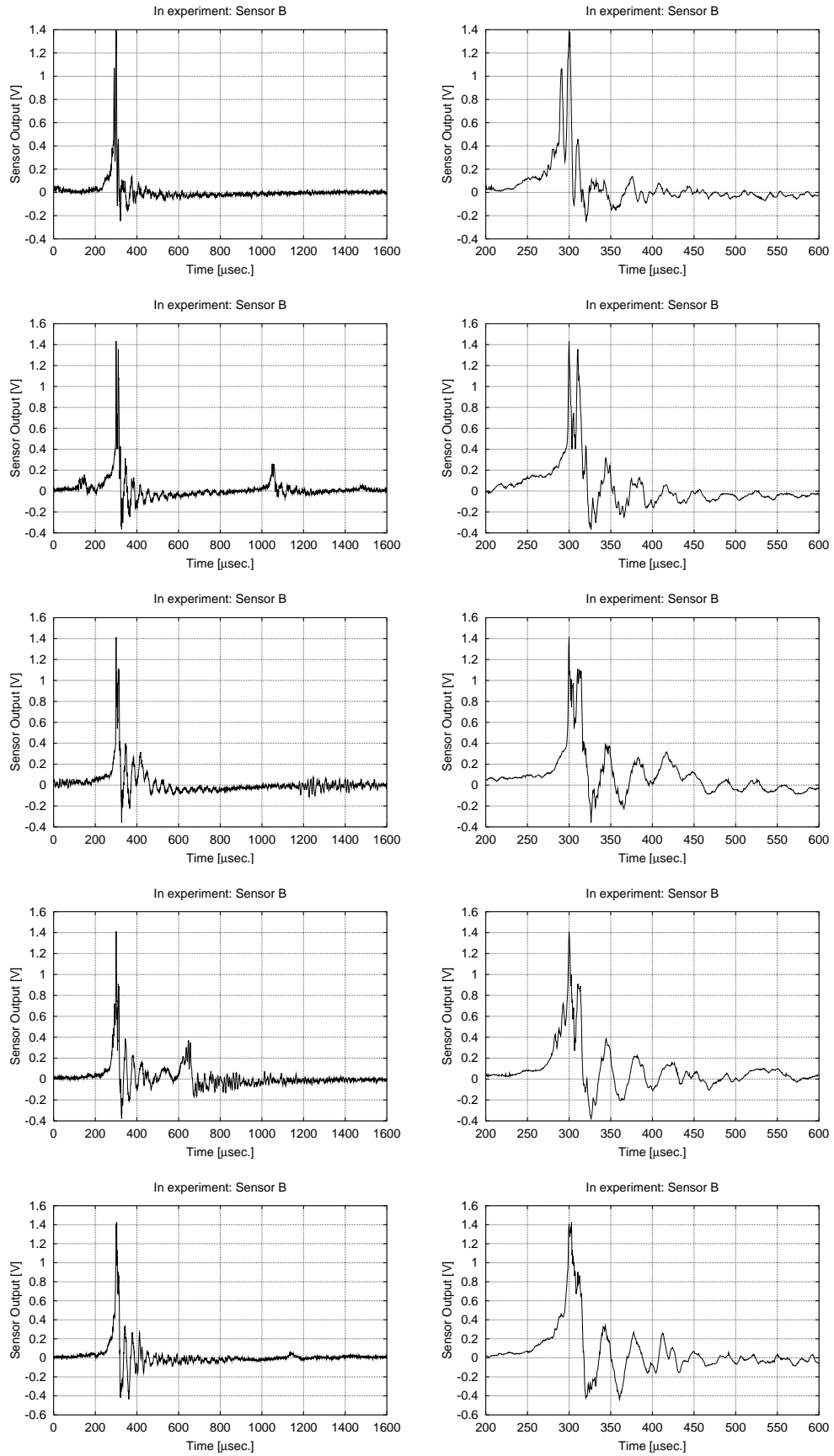


Fig. B.2: (continued)

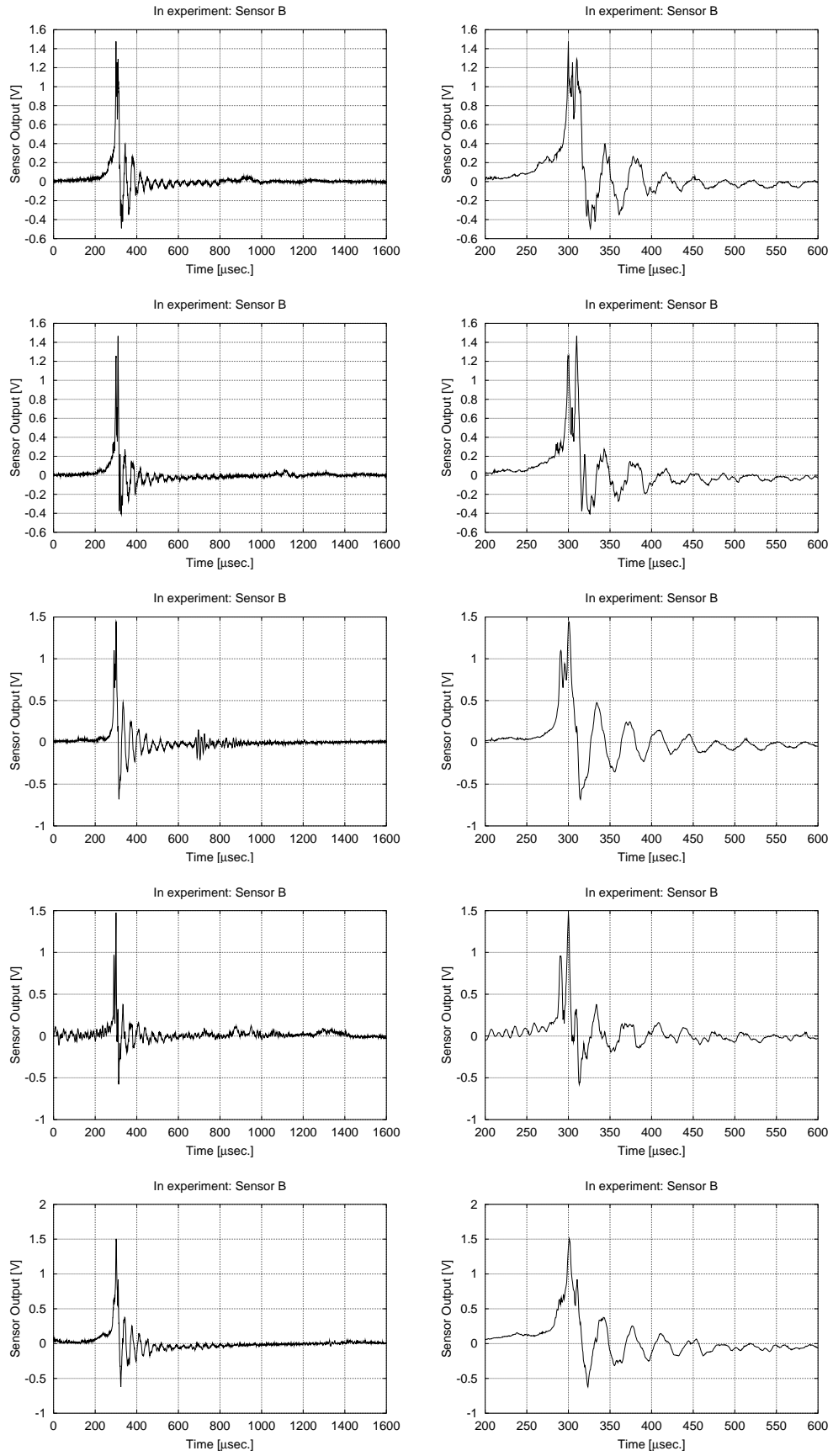


Fig. B.2: (continued)

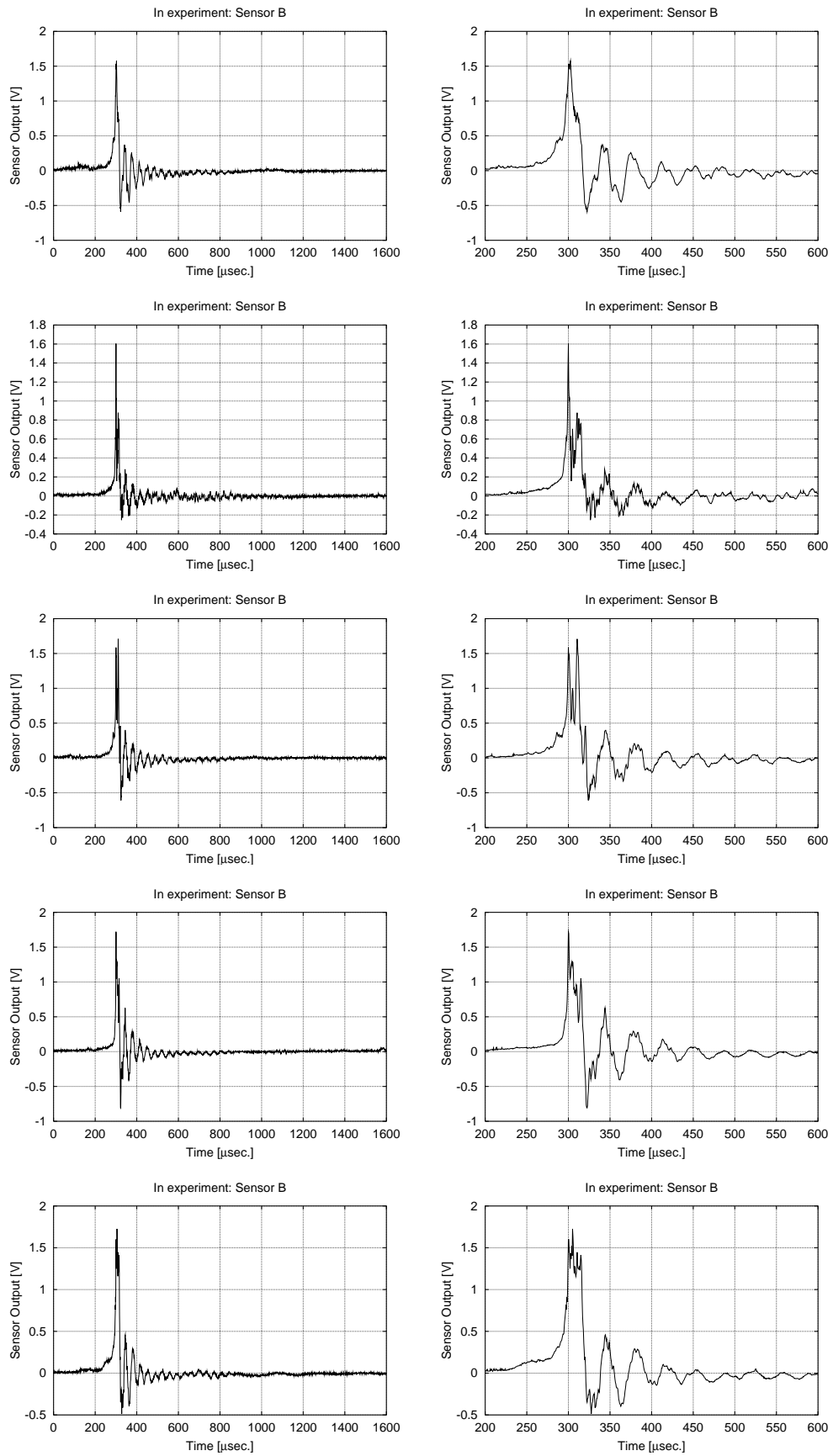


Fig. B.2: (continued)

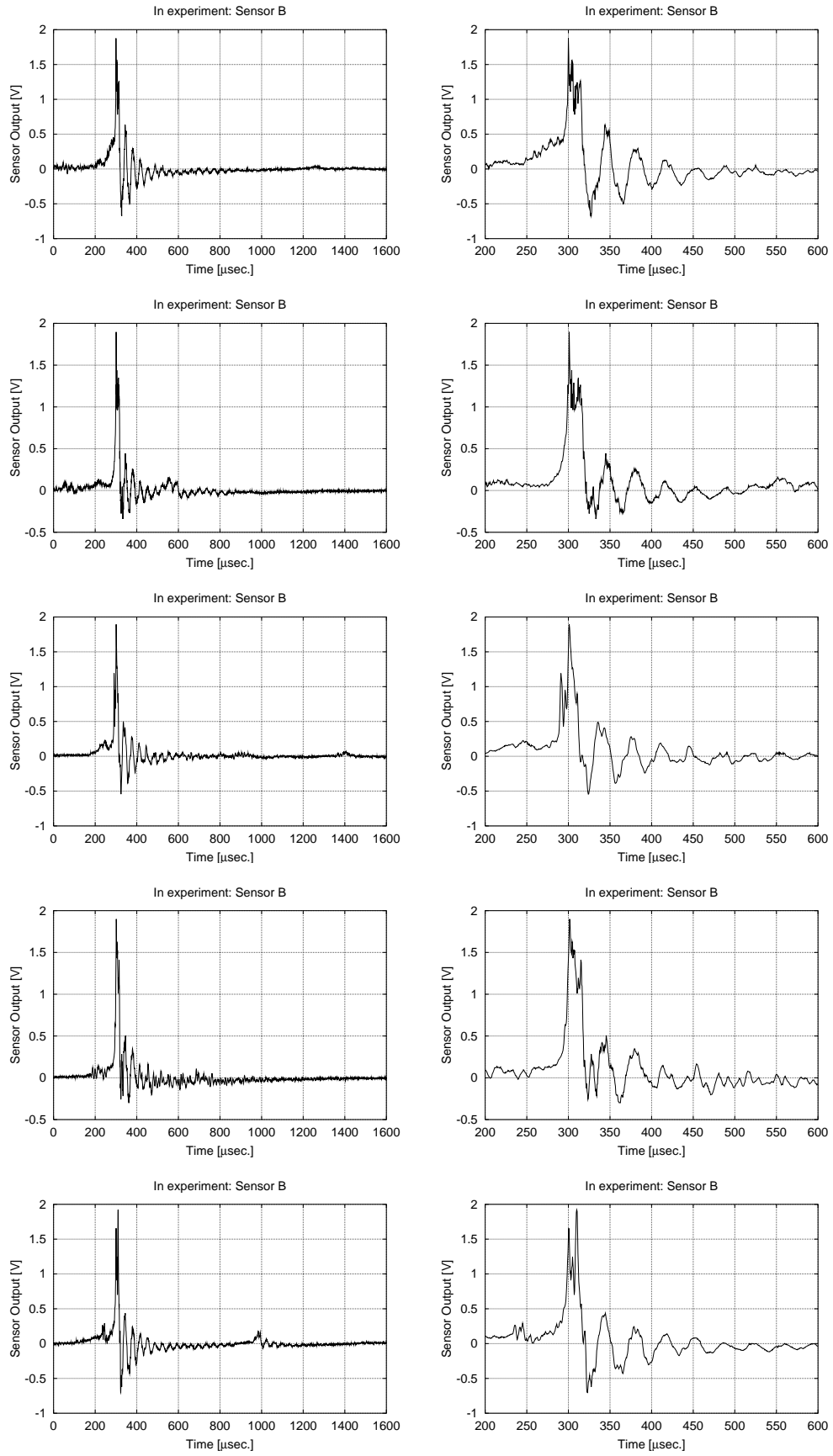


Fig. B.2: (continued)

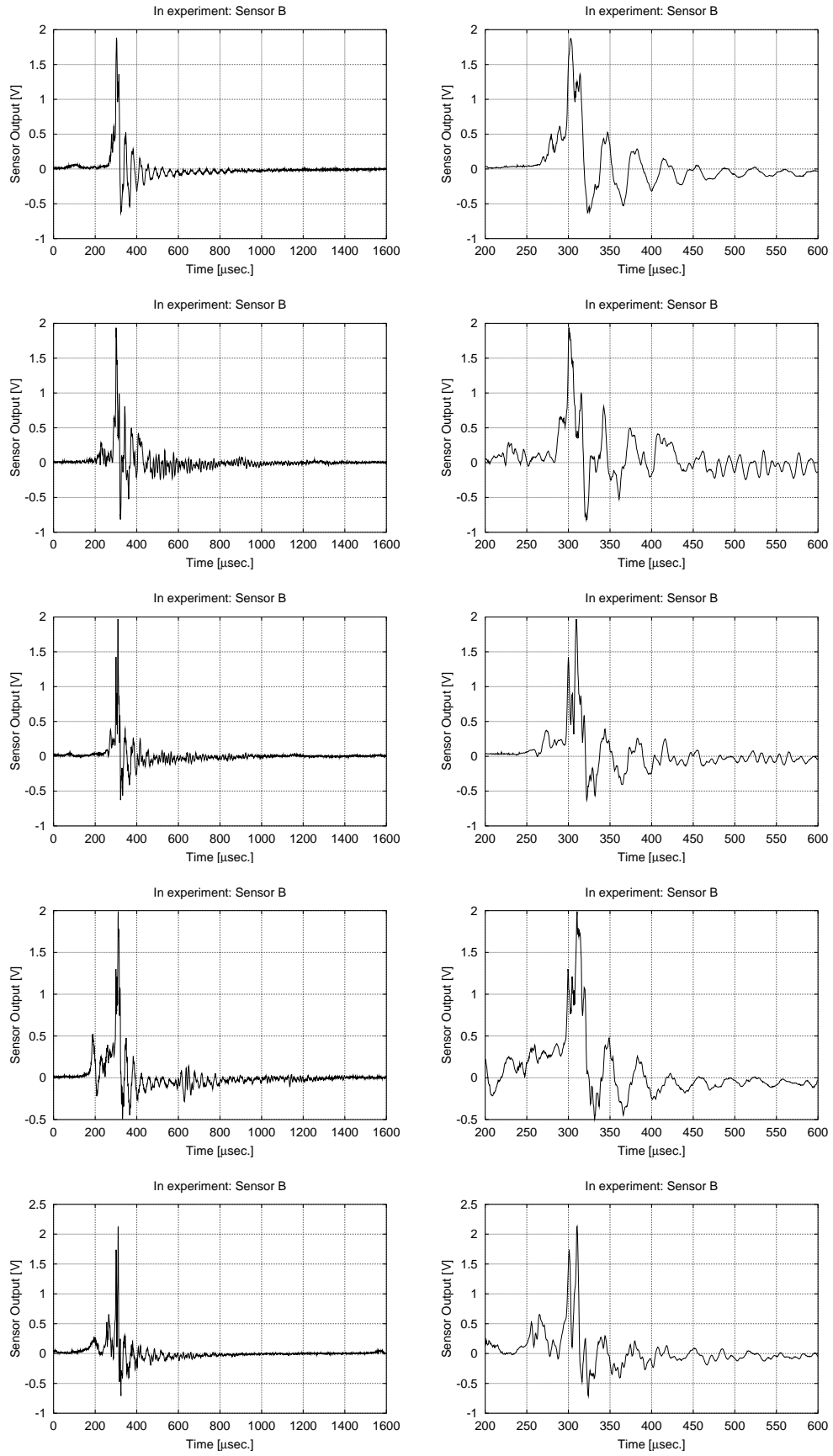


Fig. B.2: (continued)

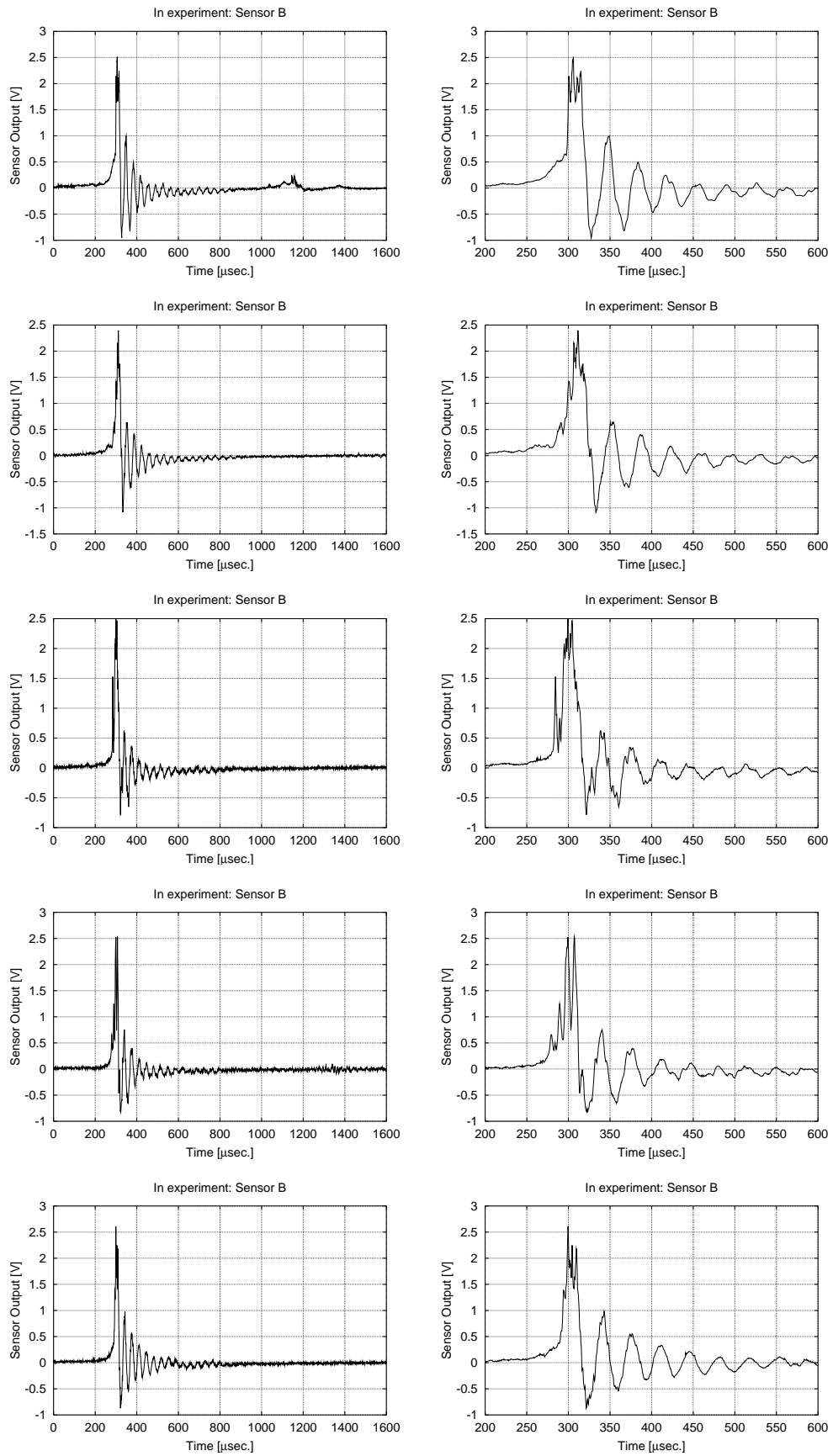


Fig. B.2: (continued)

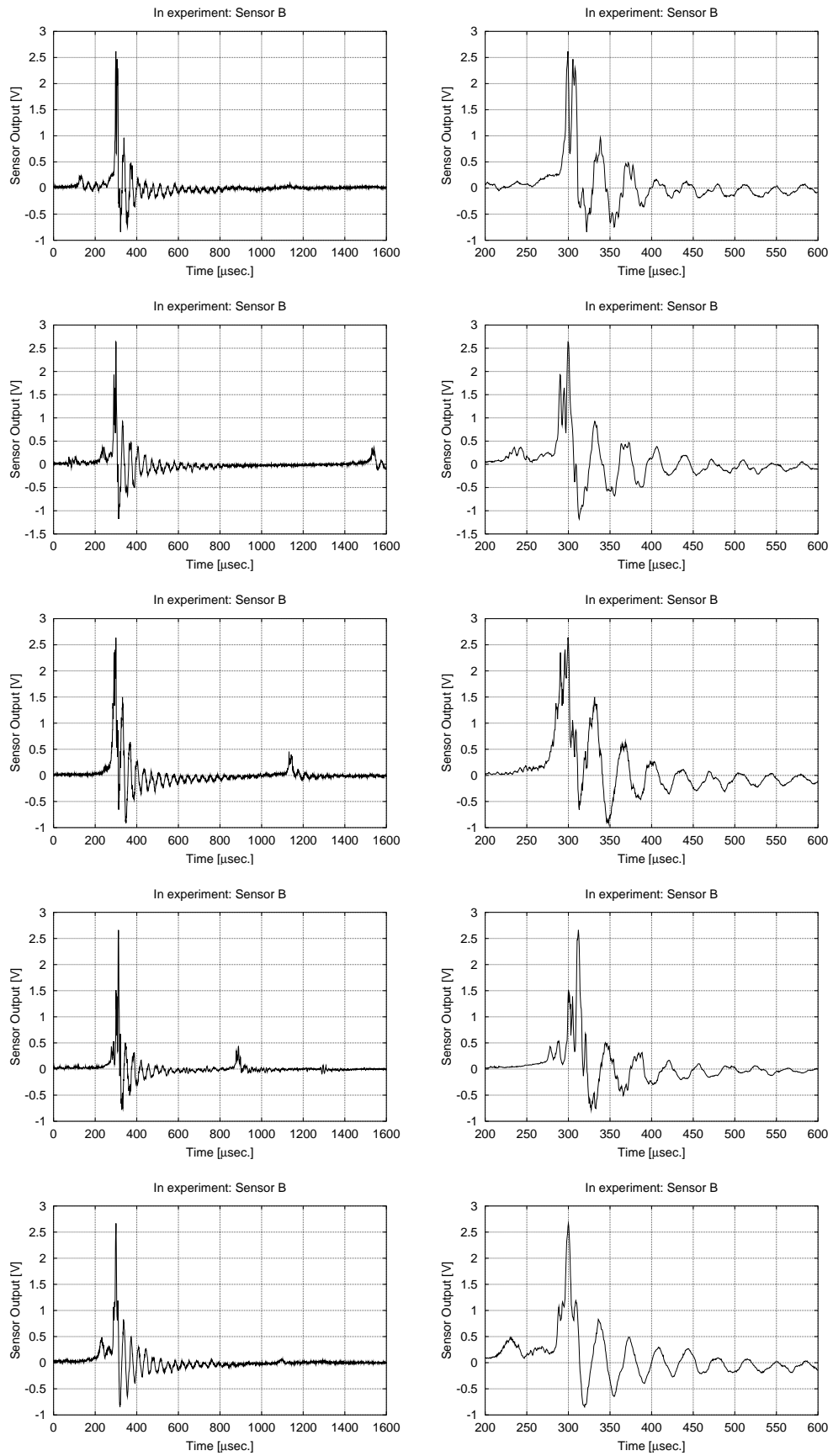


Fig. B.2: (continued)

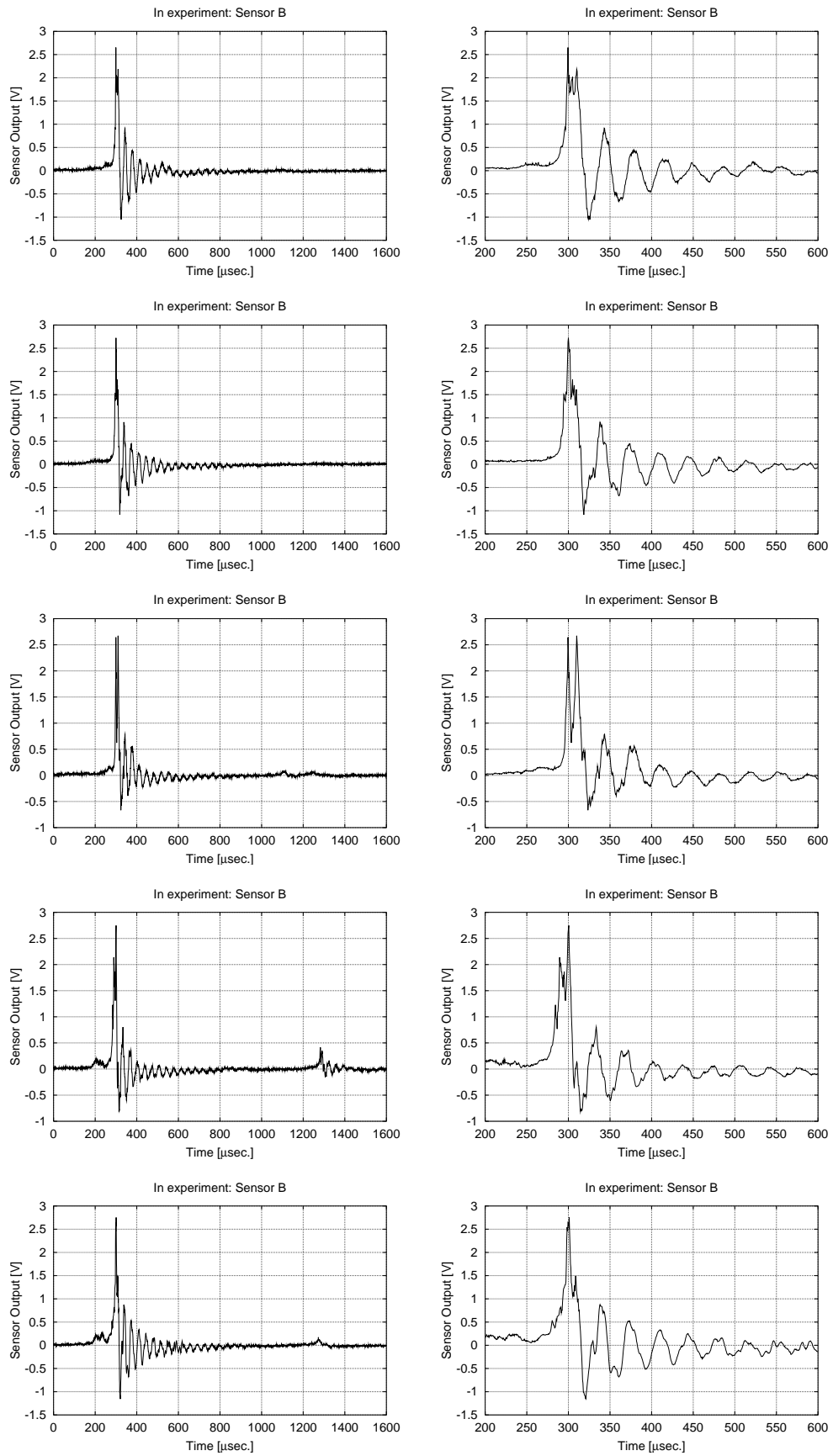


Fig. B.2: (continued)

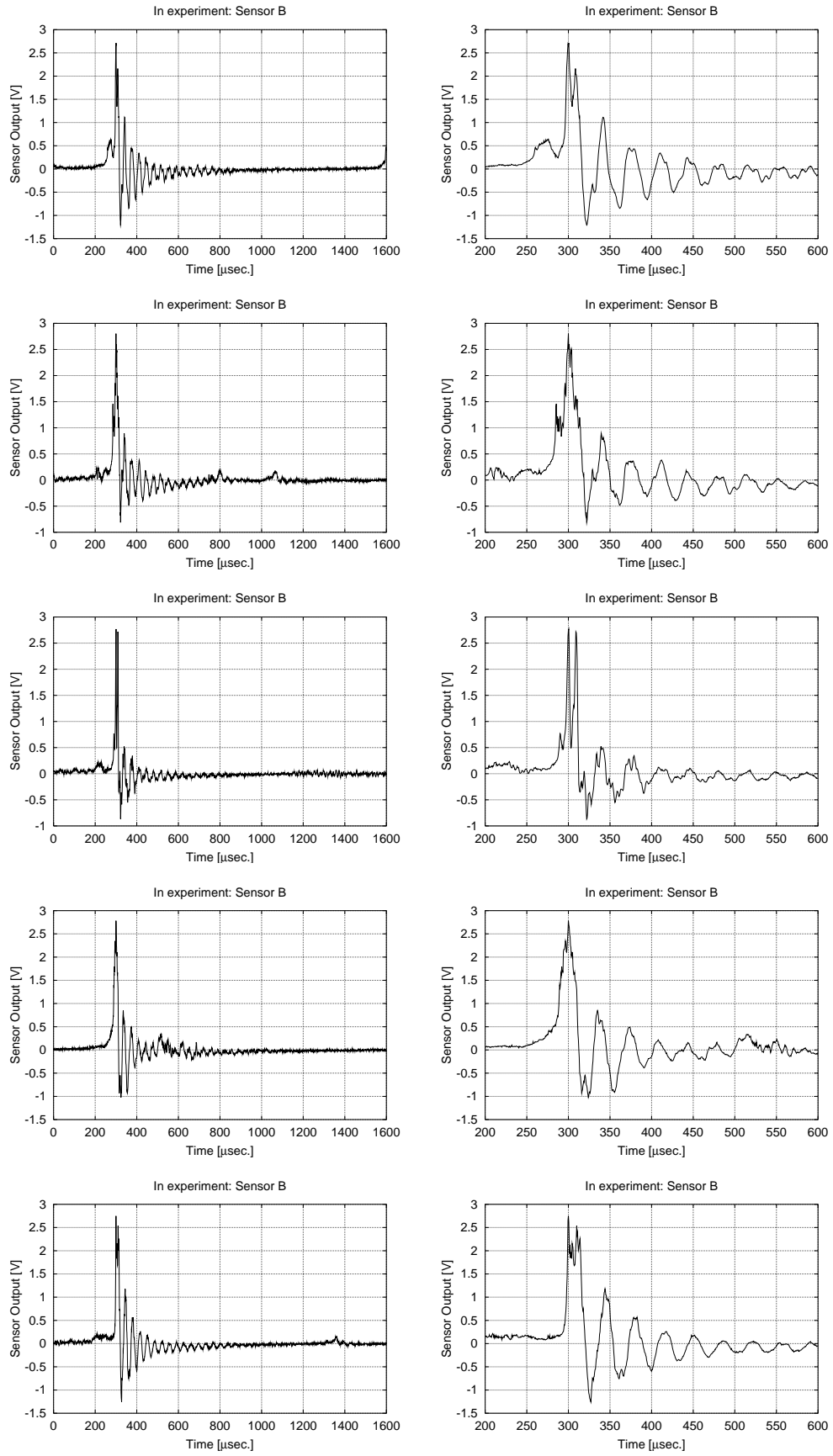


Fig. B.2: (continued)

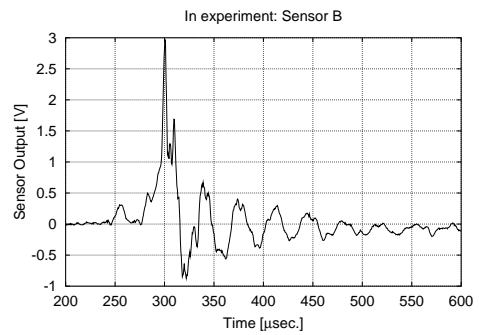
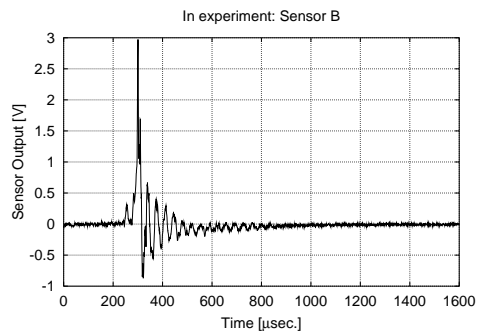
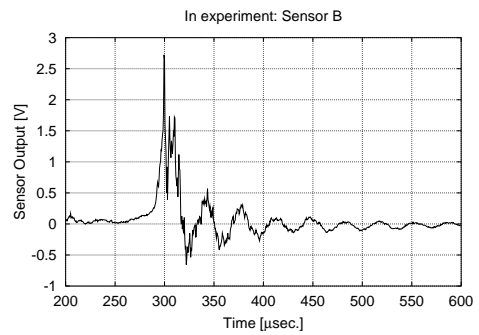
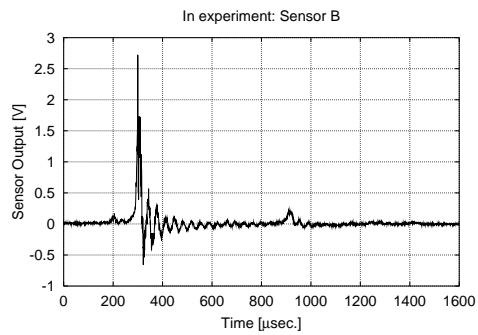
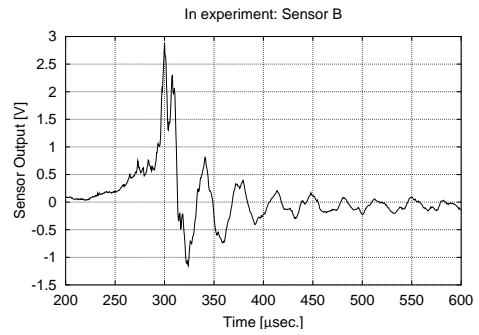
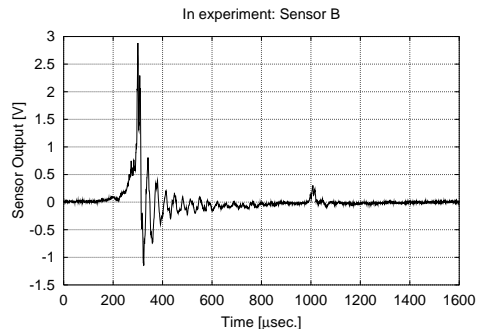
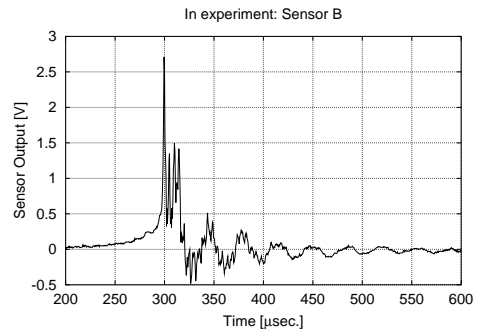
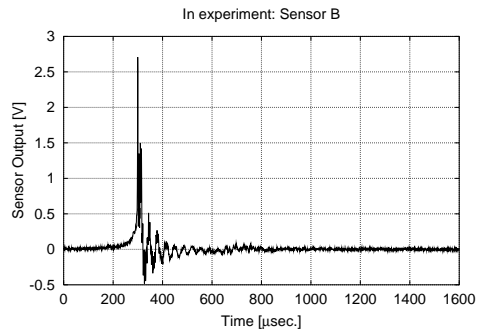
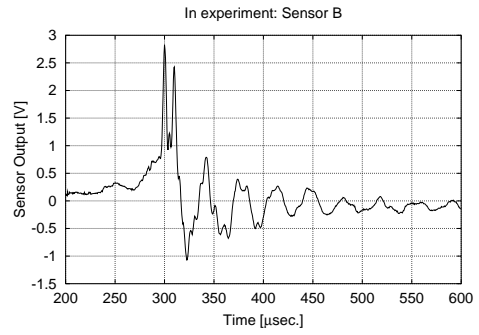
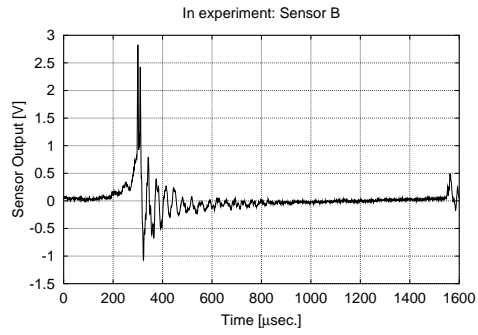


Fig. B.2: (continued)

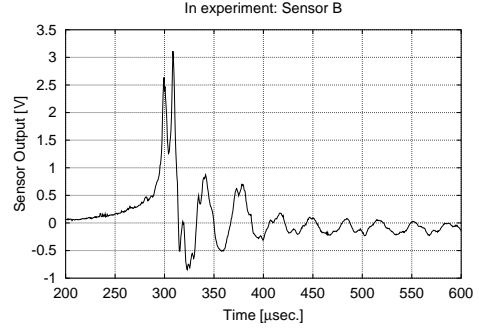
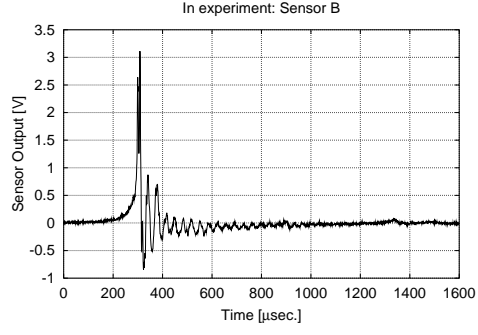
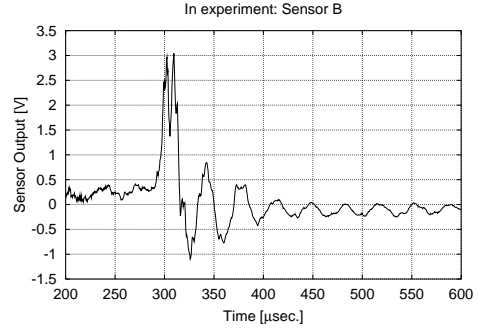
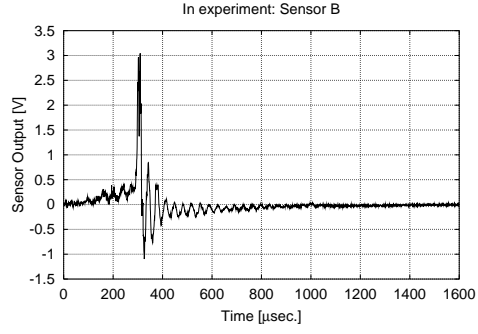
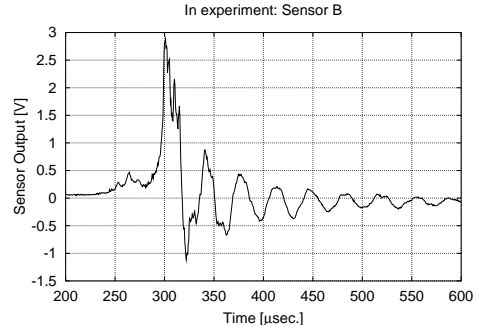
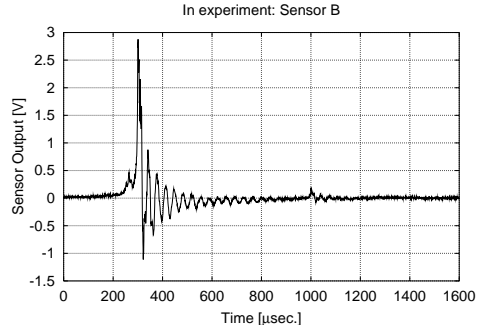
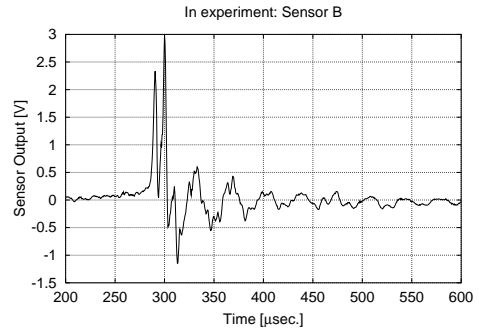
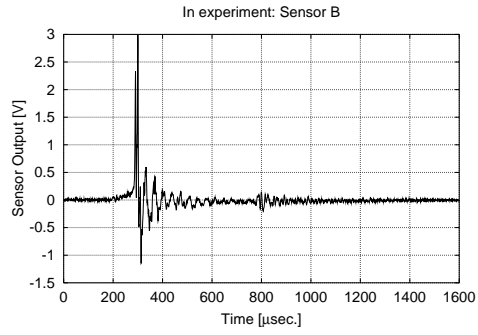
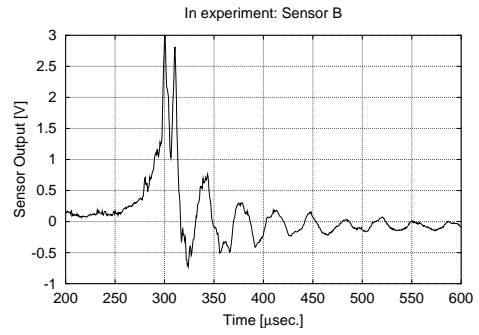
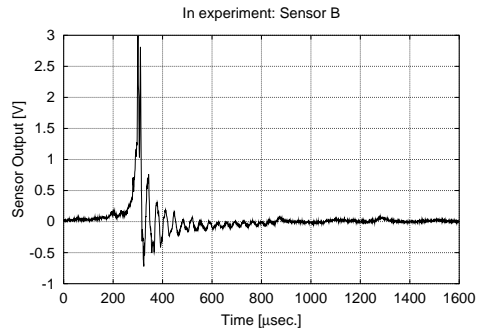


Fig. B.2: (continued)

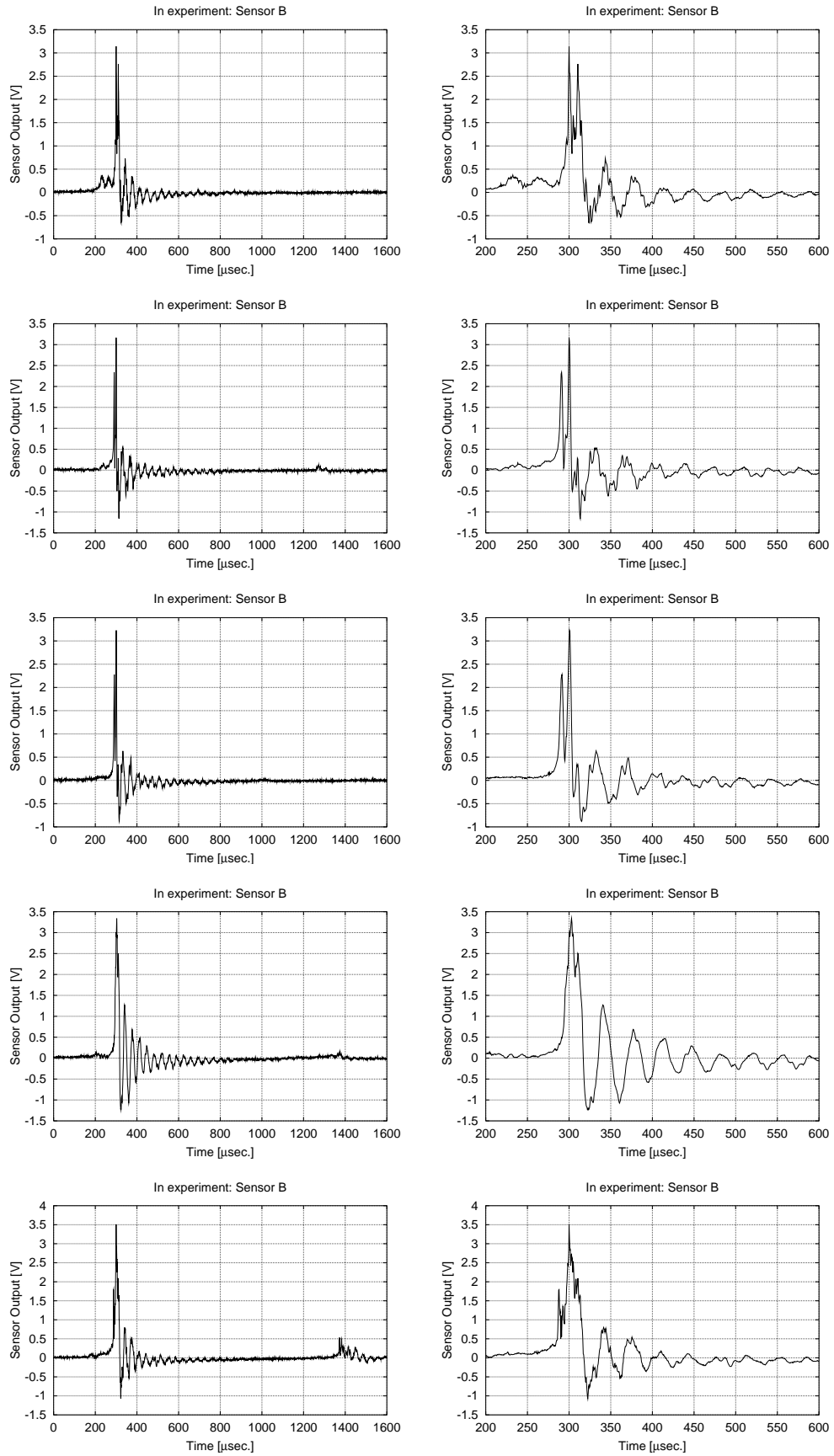


Fig. B.2: (continued)

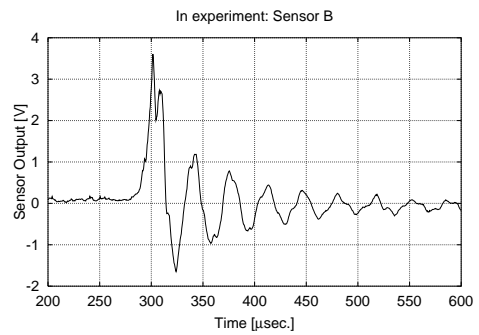
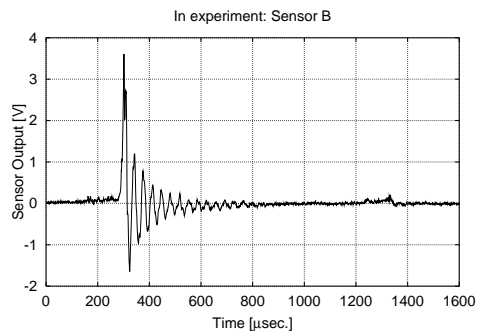
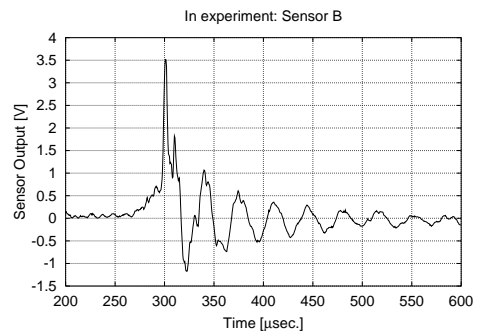
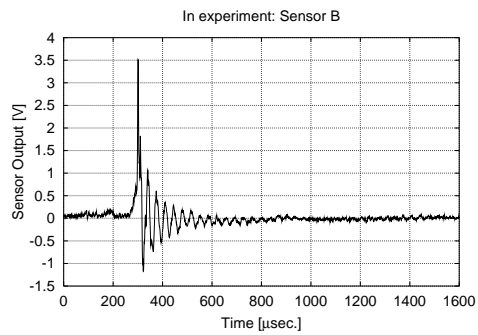
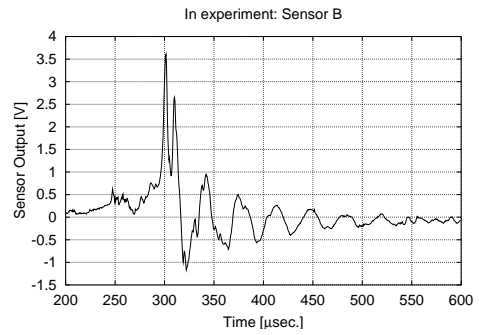
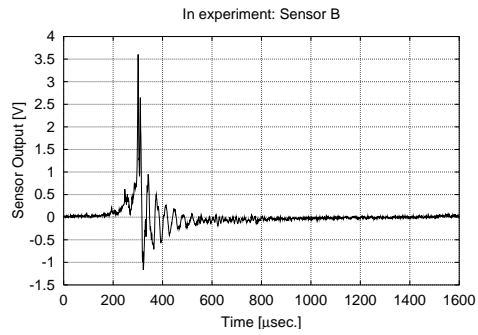
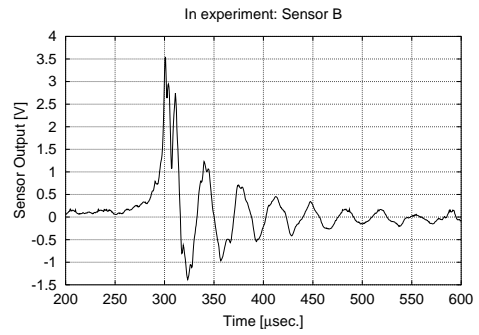
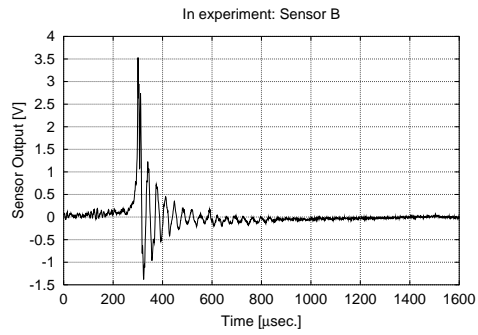
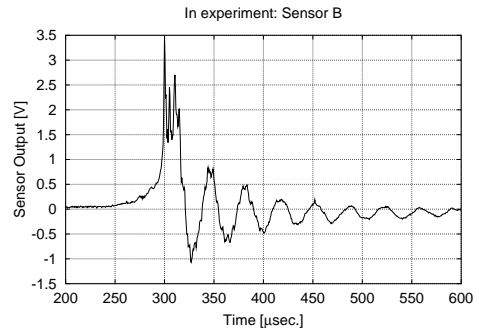
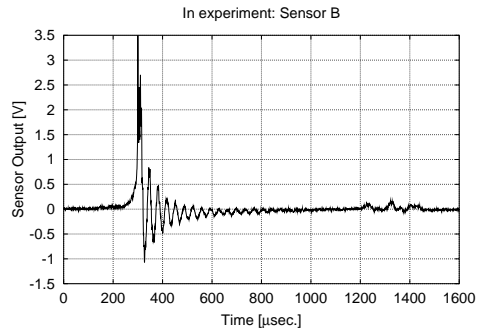


Fig. B.2: (continued)

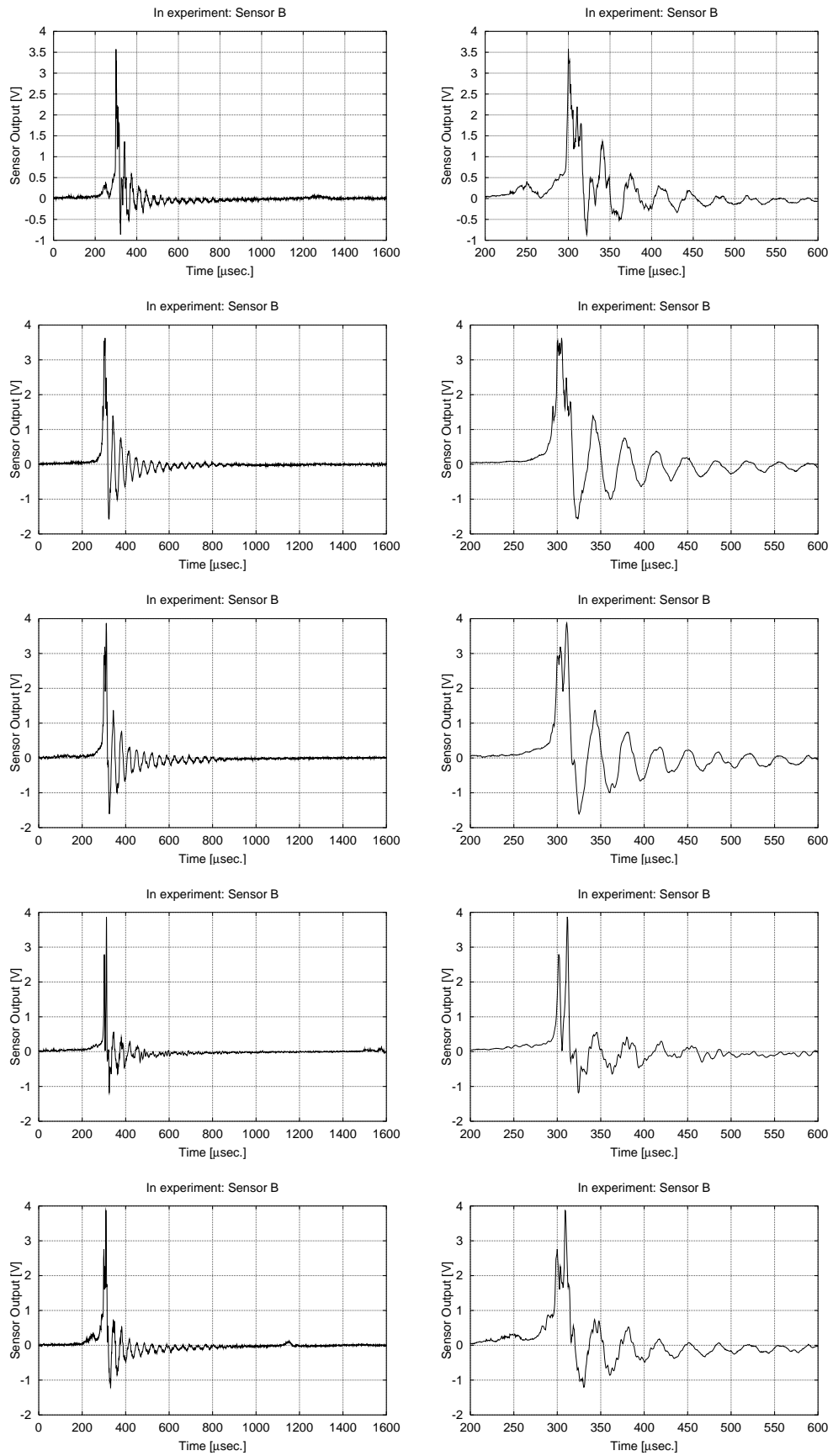


Fig. B.2: (continued)

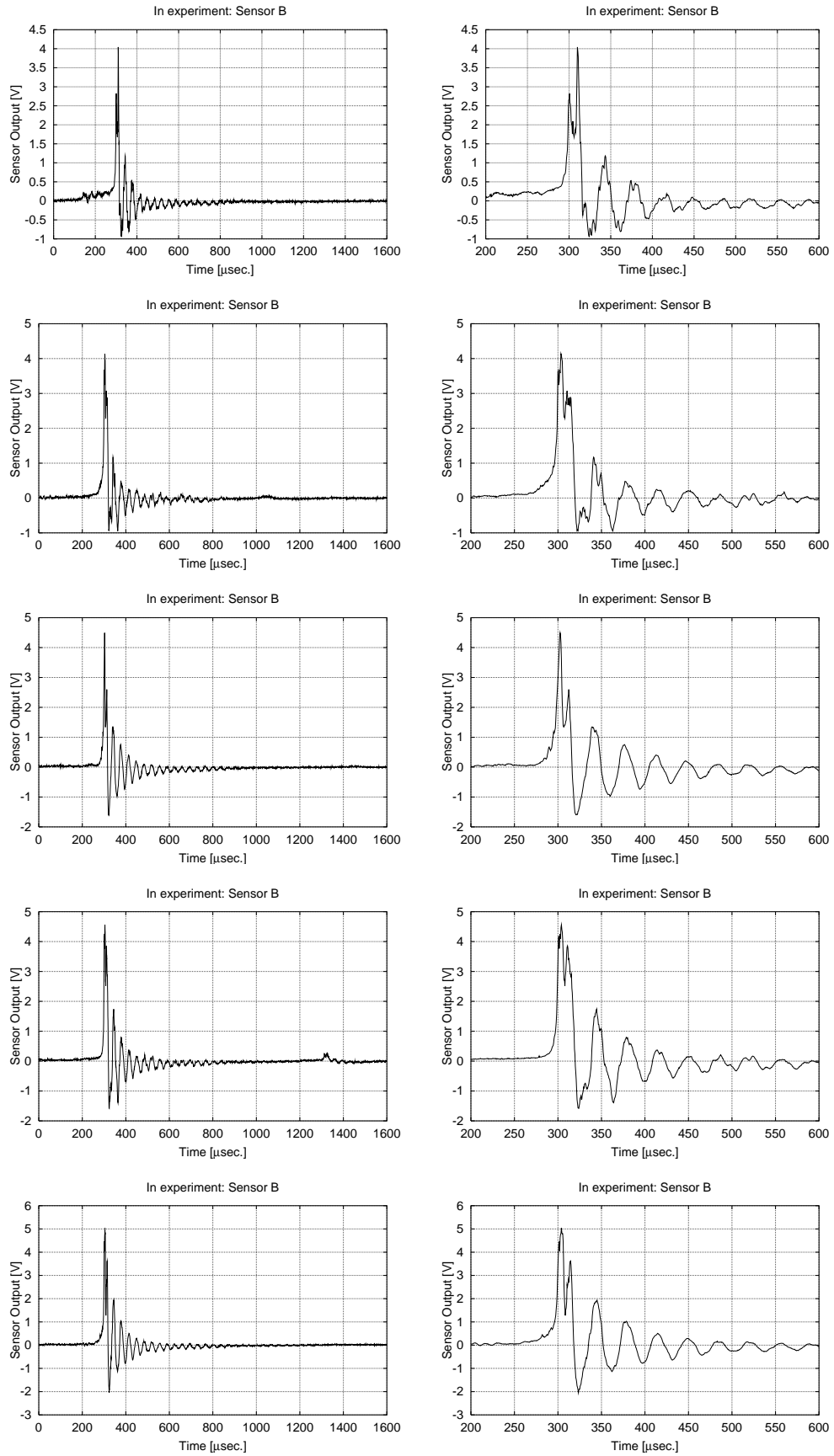


Fig. B.2: (continued)

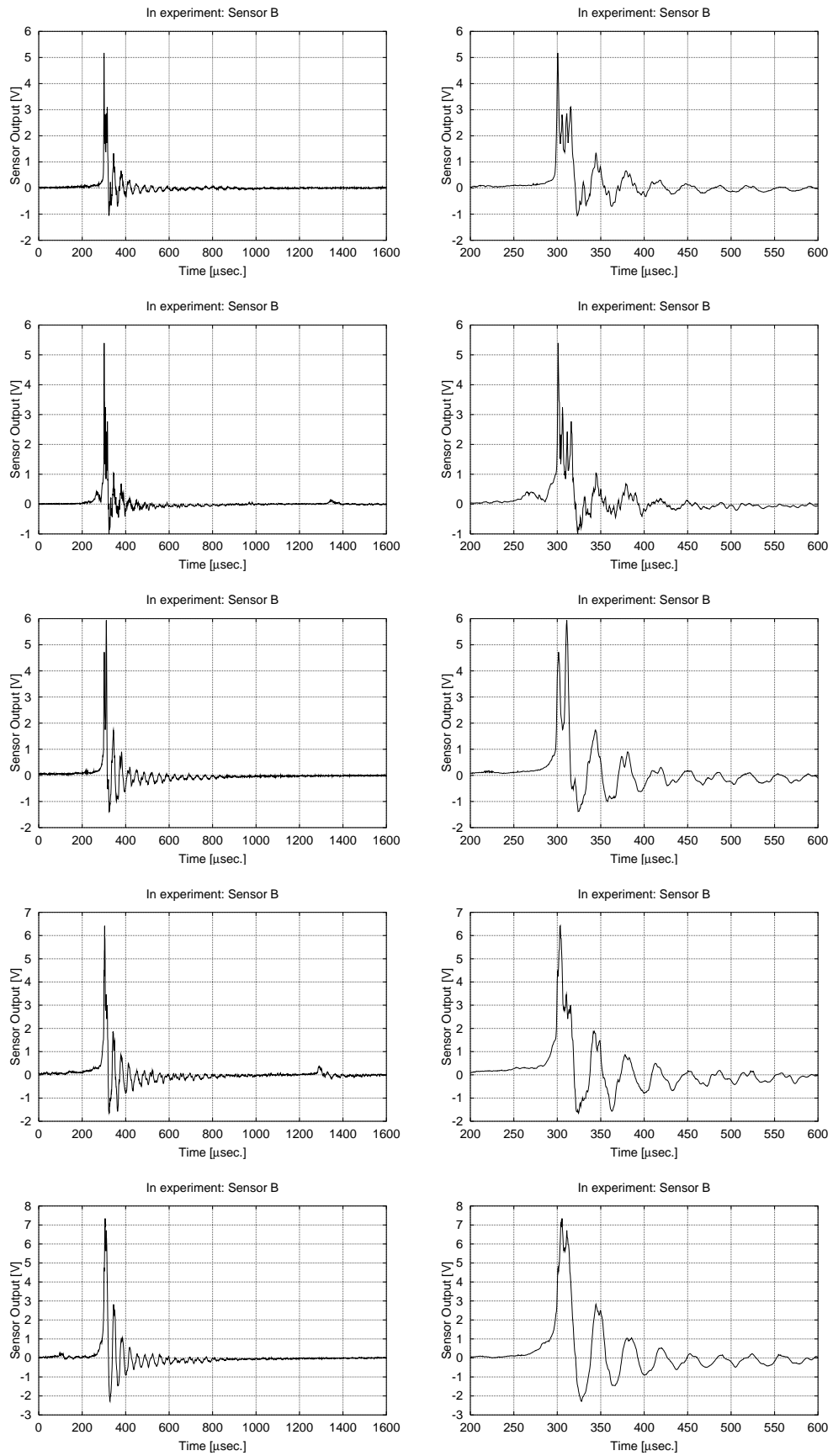


Fig. B.2: (continued)

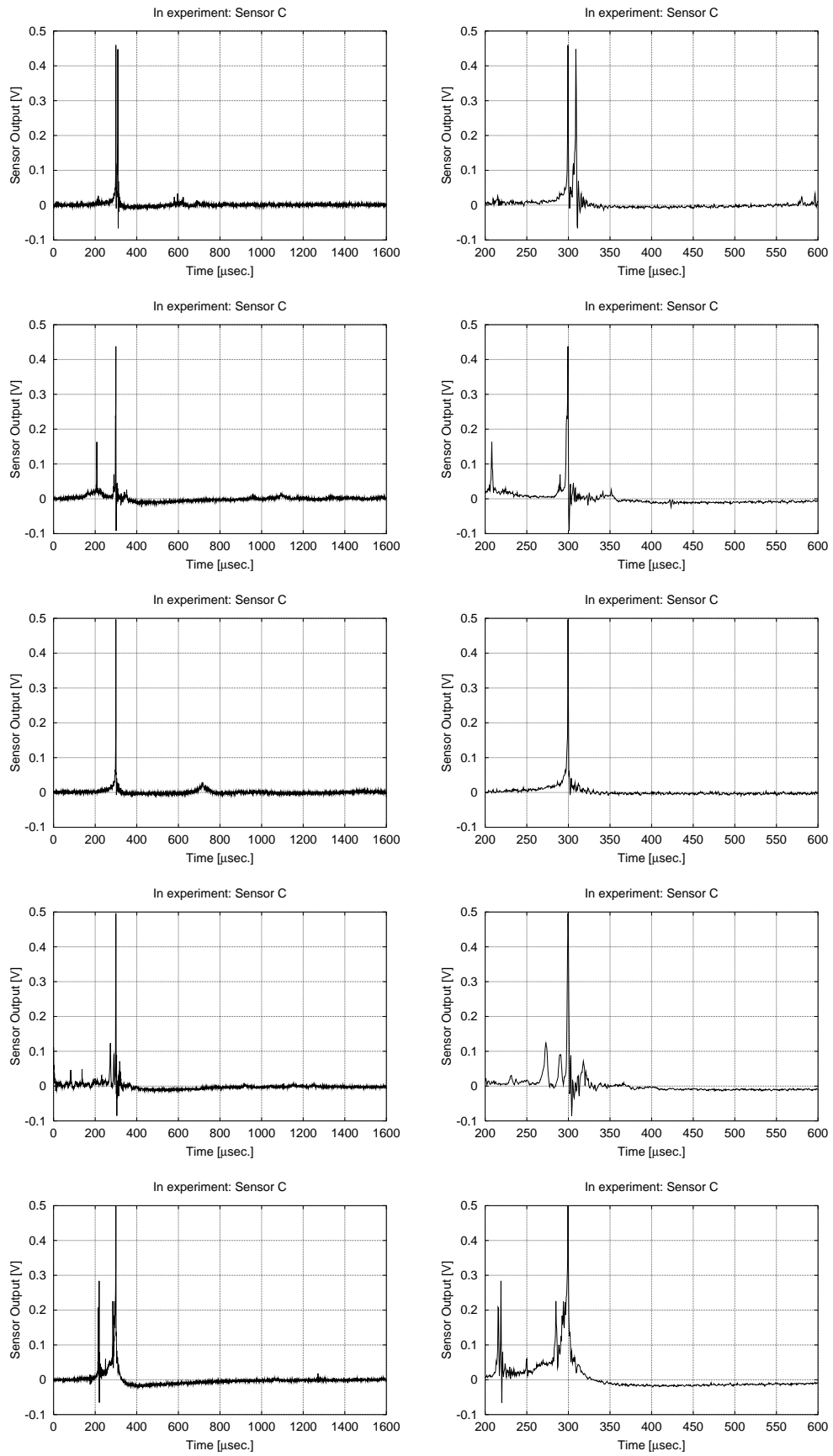


Fig. B.3: Produced signal of sensor C in experiment

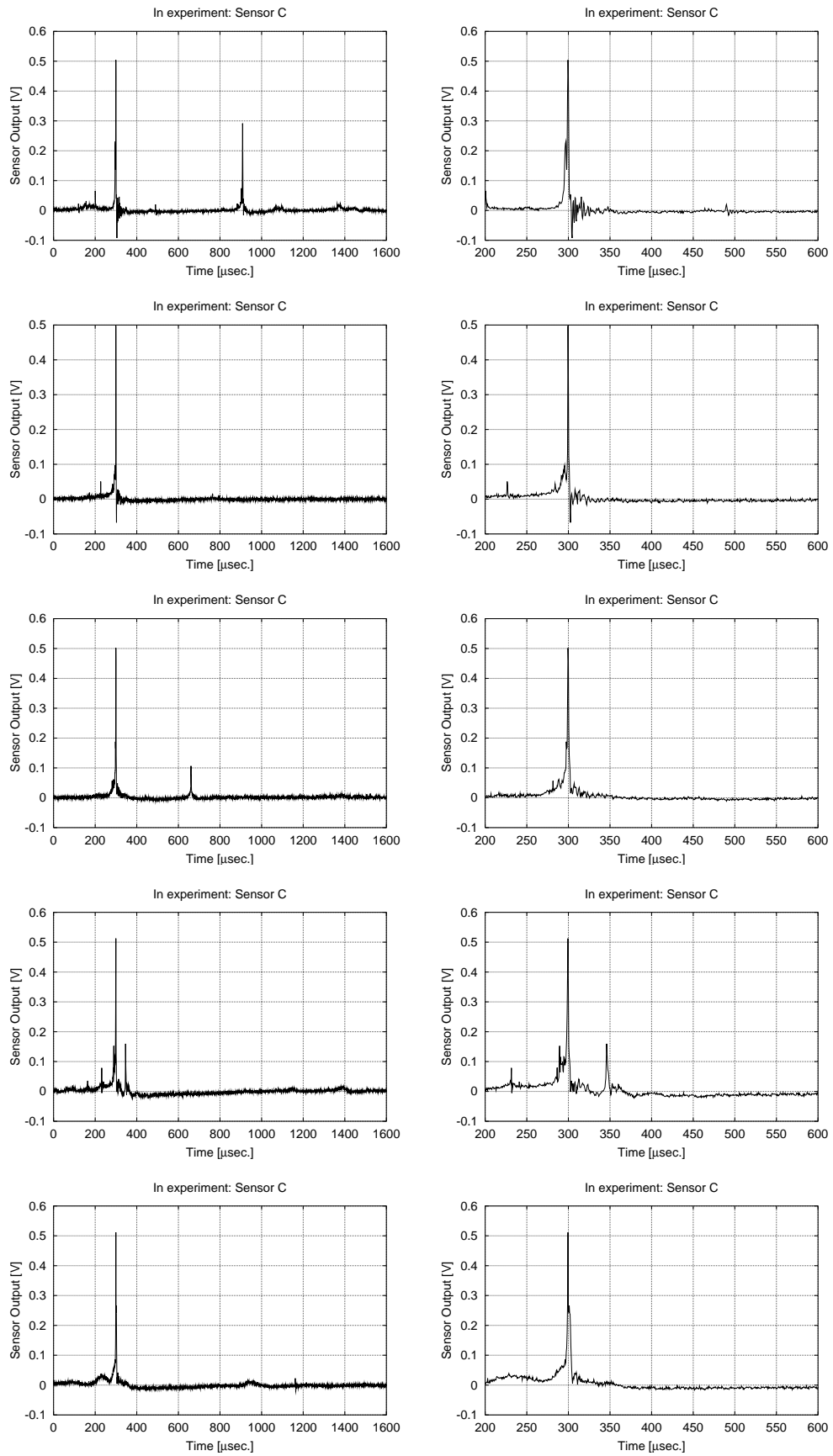


Fig. B.3: (continued)

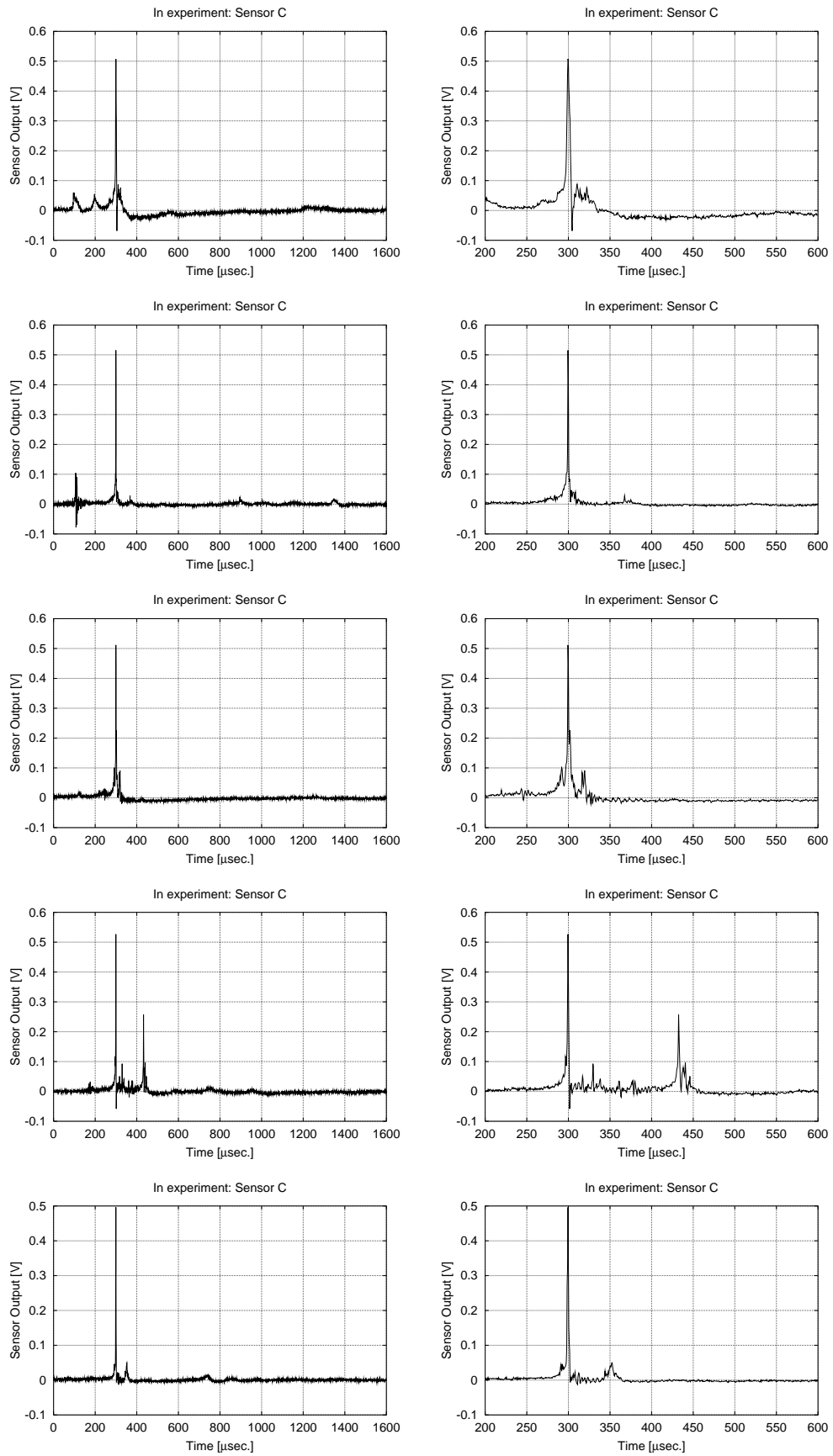


Fig. B.3: (continued)

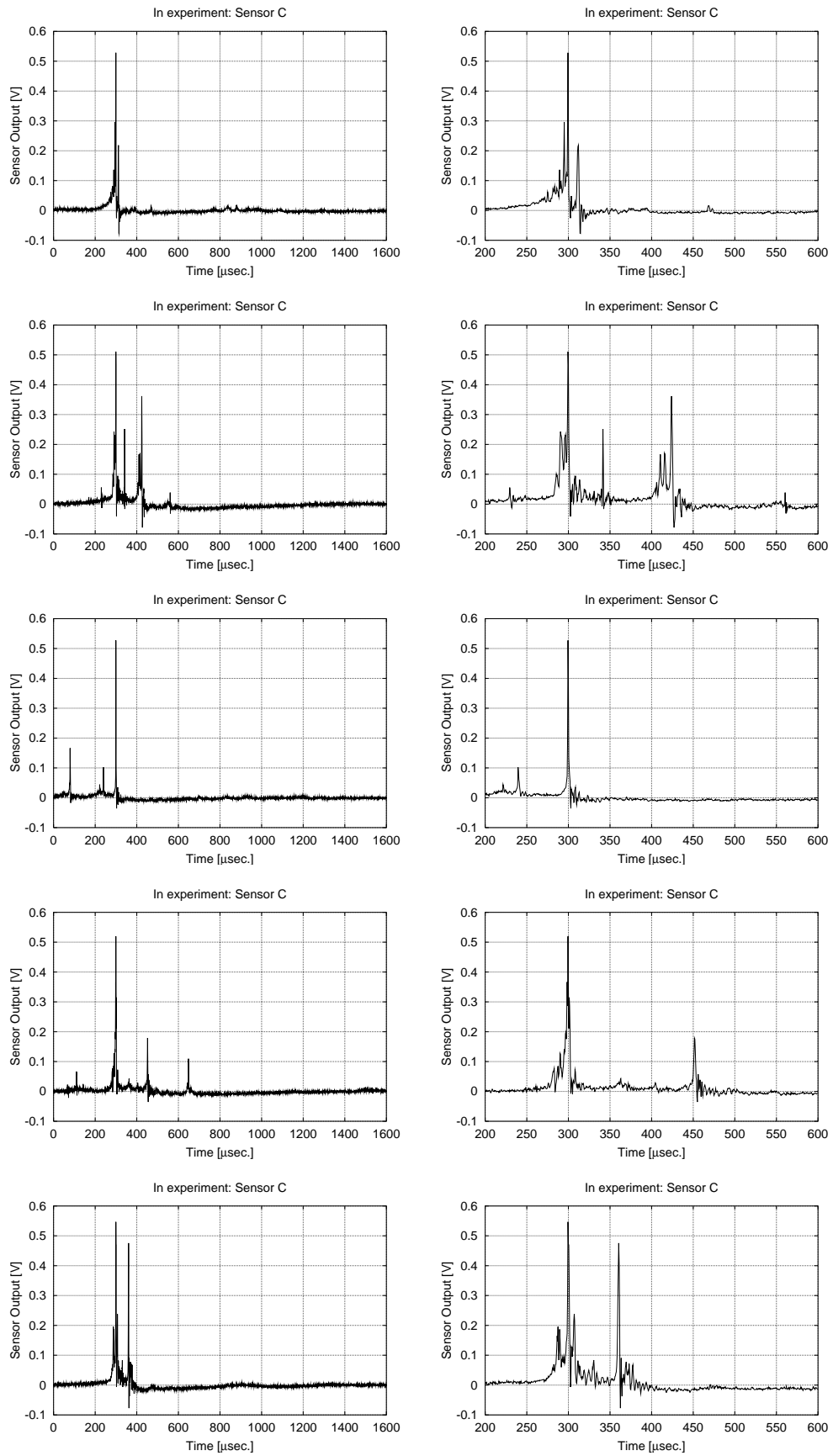


Fig. B.3: (continued)

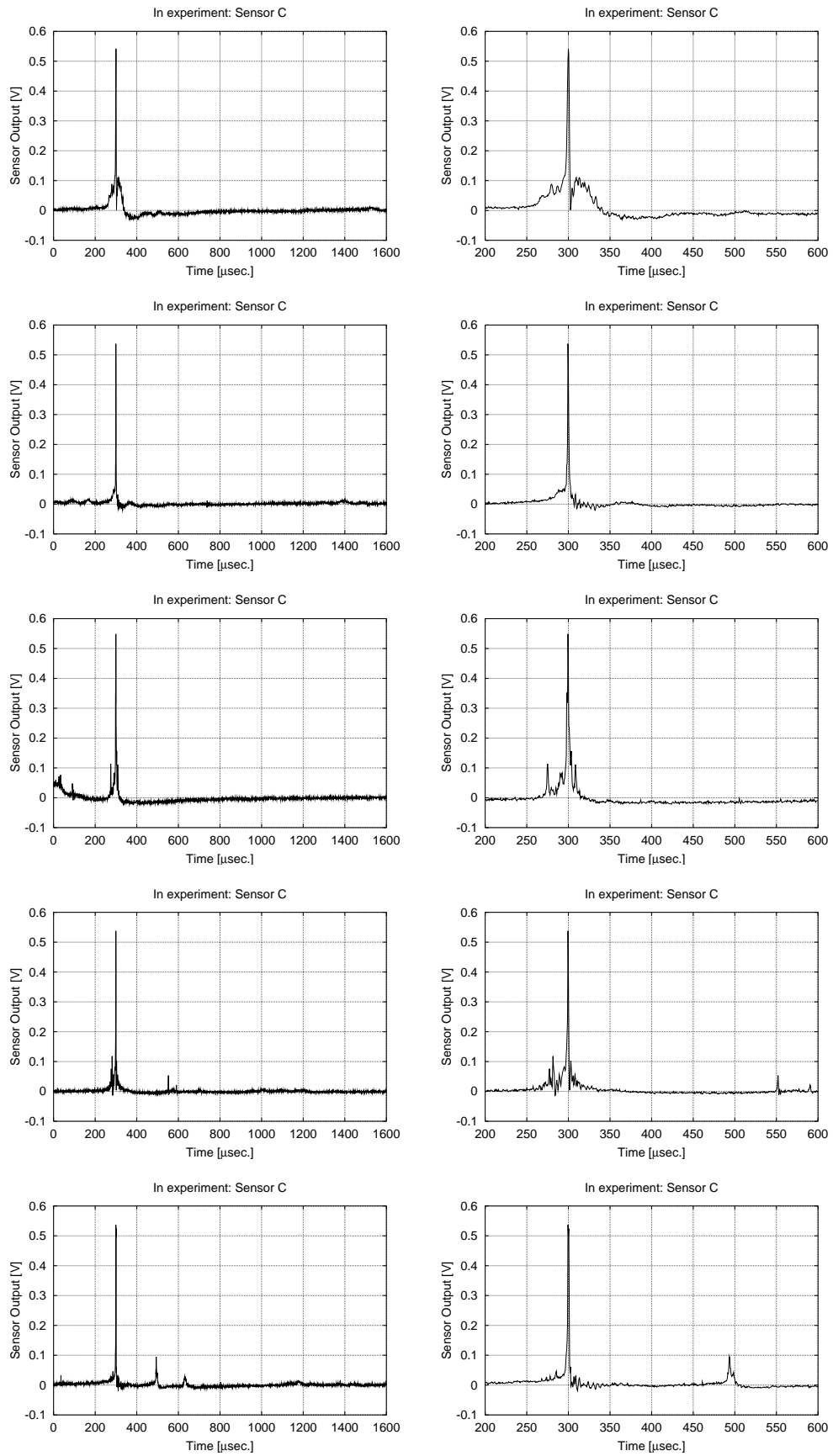


Fig. B.3: (continued)

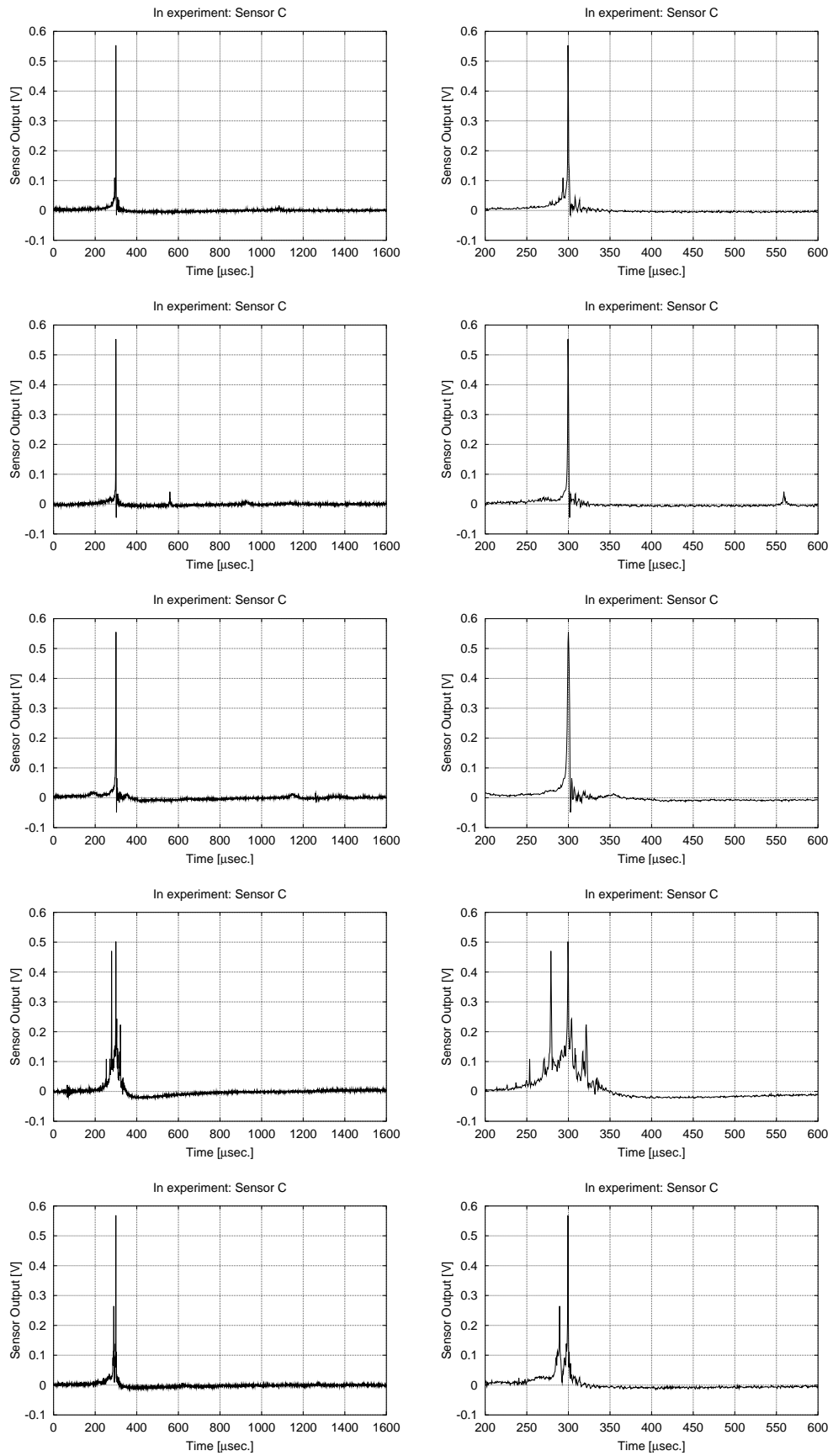


Fig. B.3: (continued)

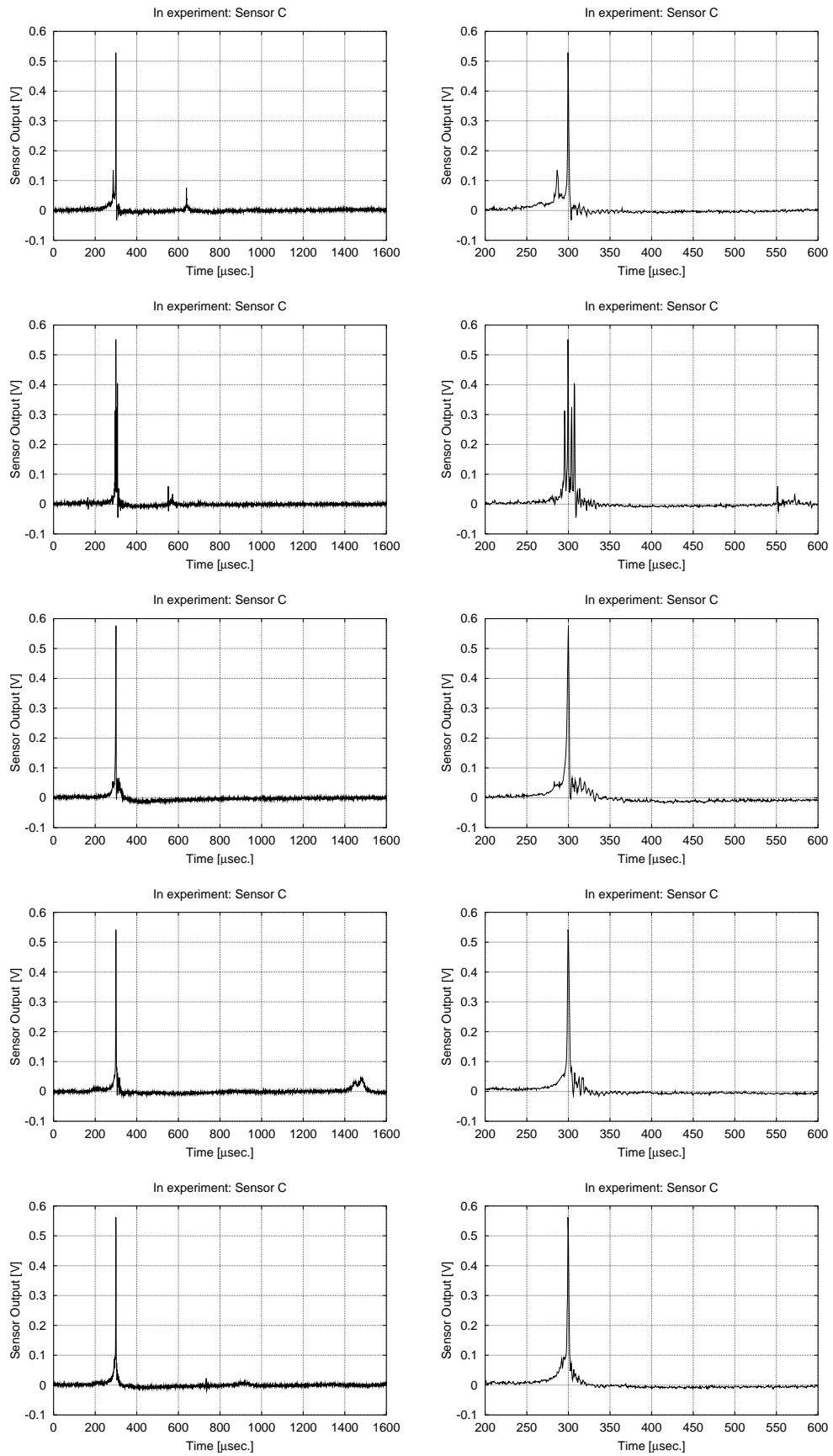


Fig. B.3: (continued)

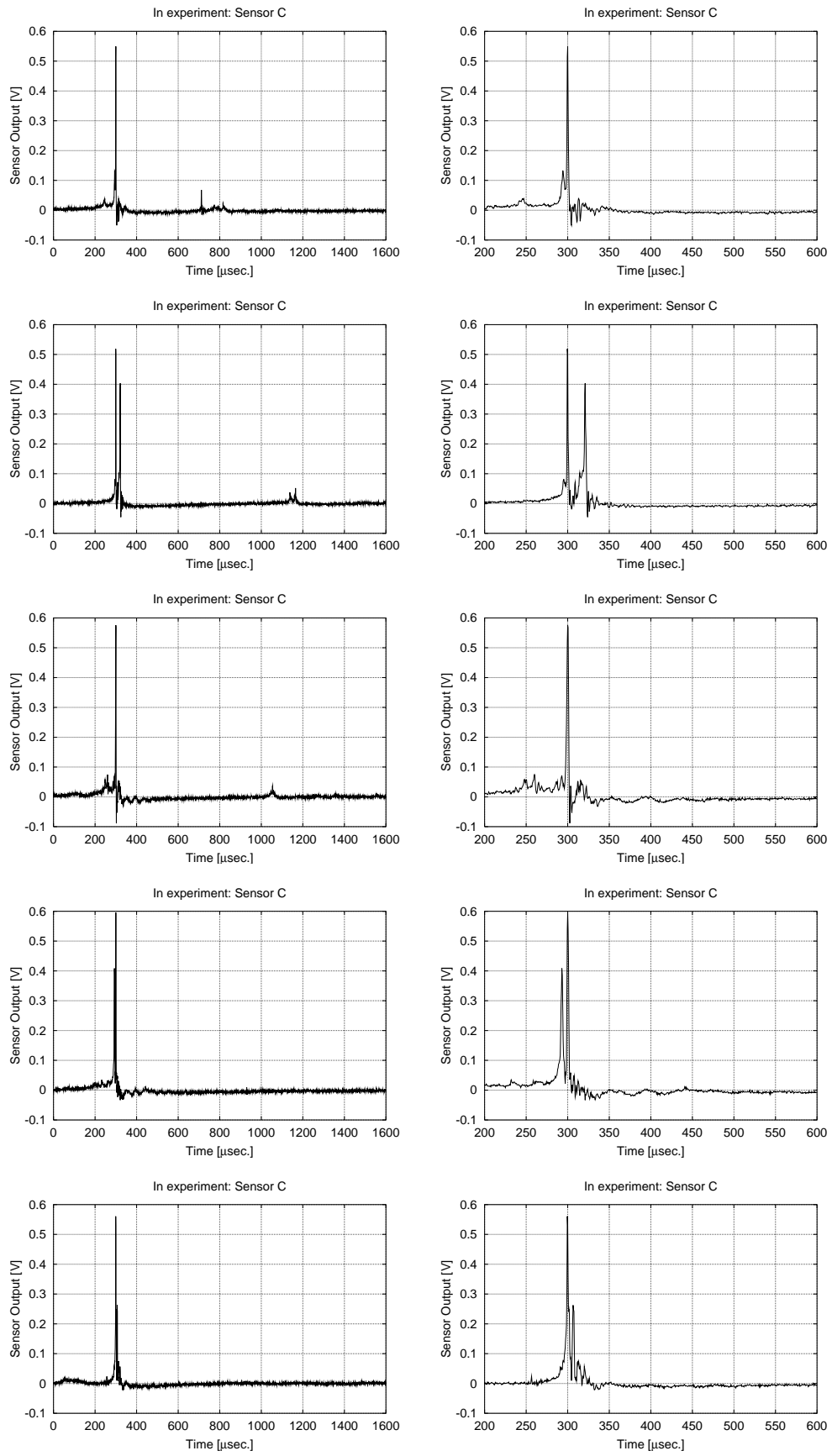


Fig. B.3: (continued)

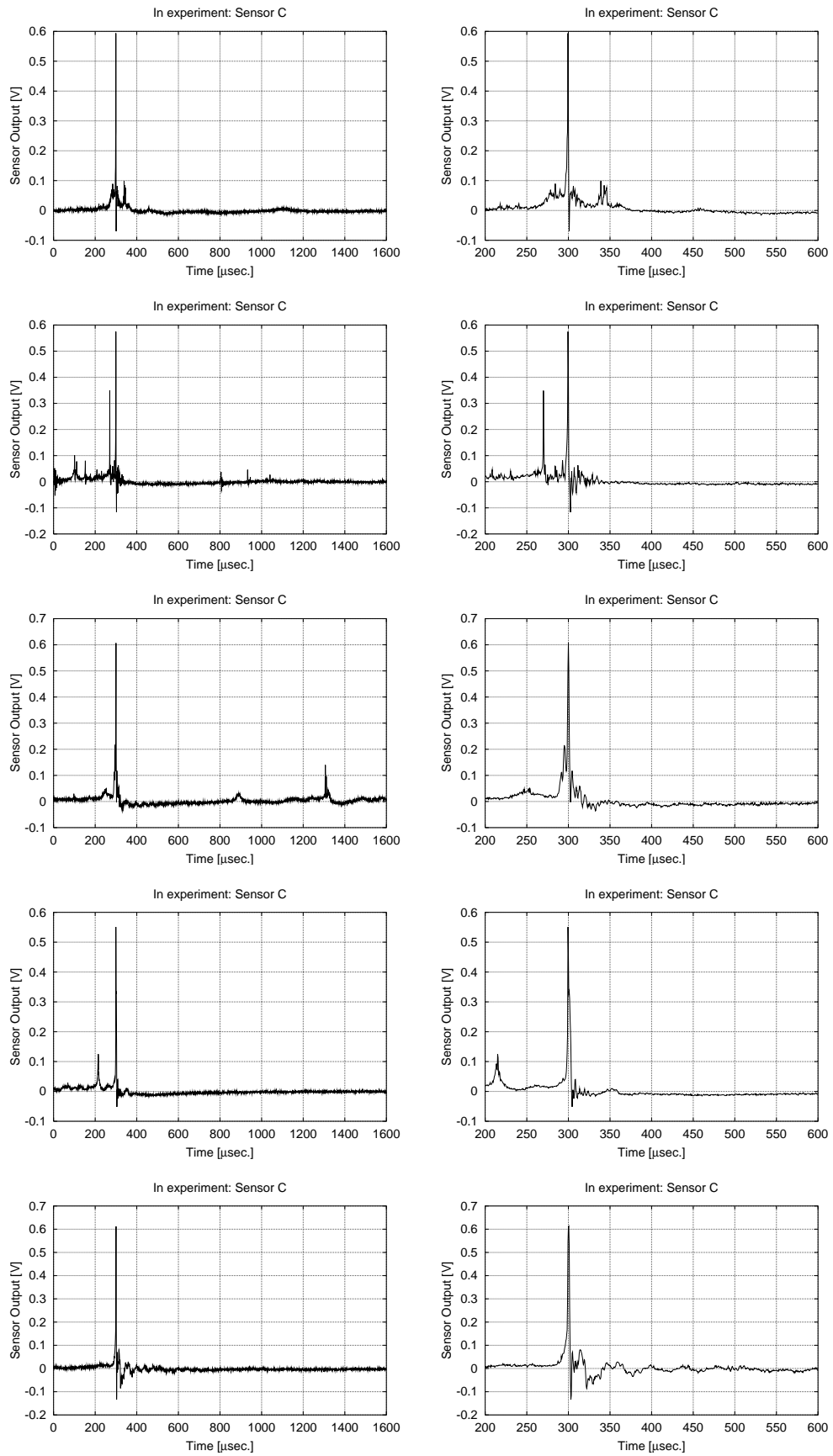


Fig. B.3: (continued)

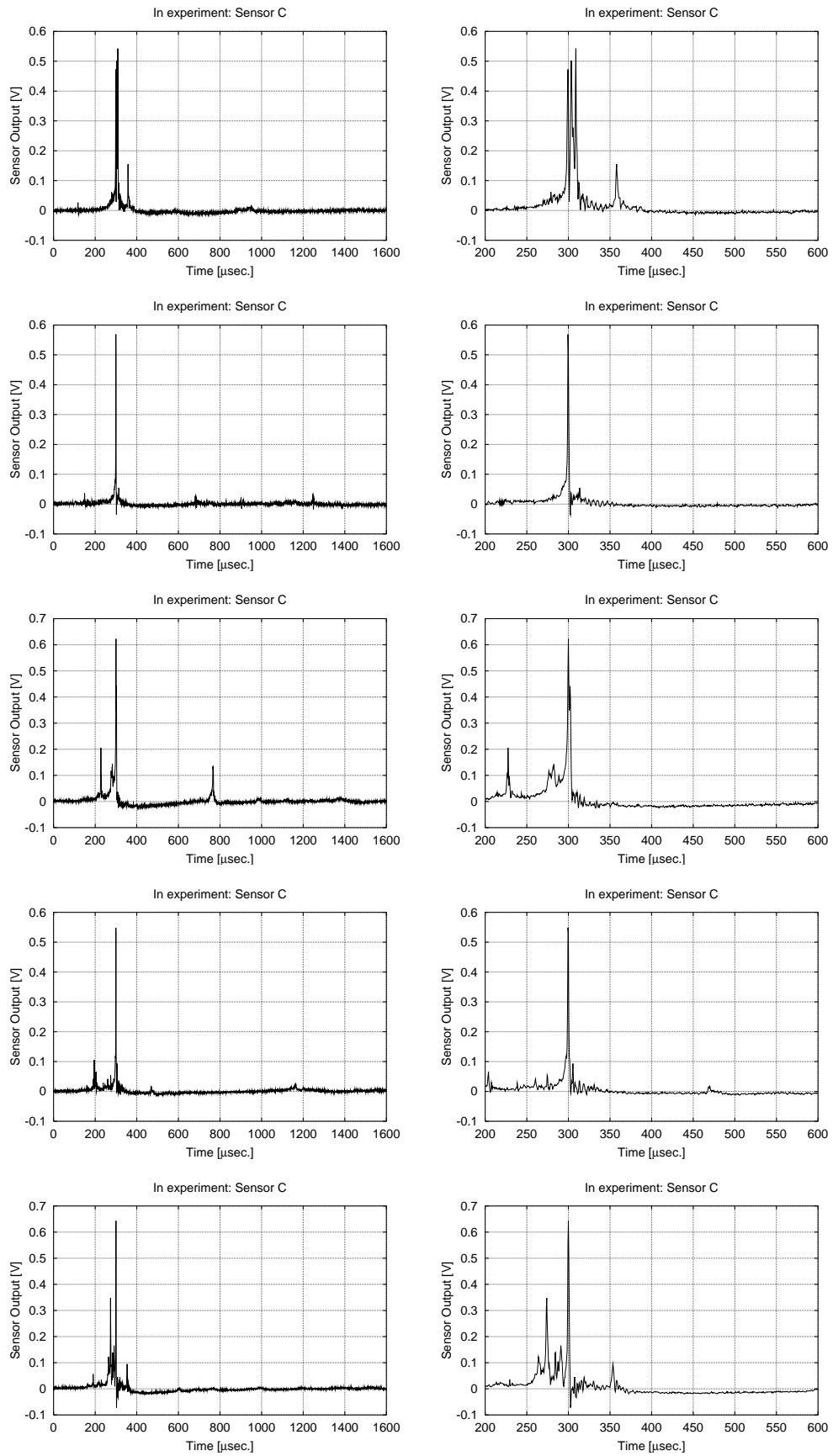


Fig. B.3: (continued)

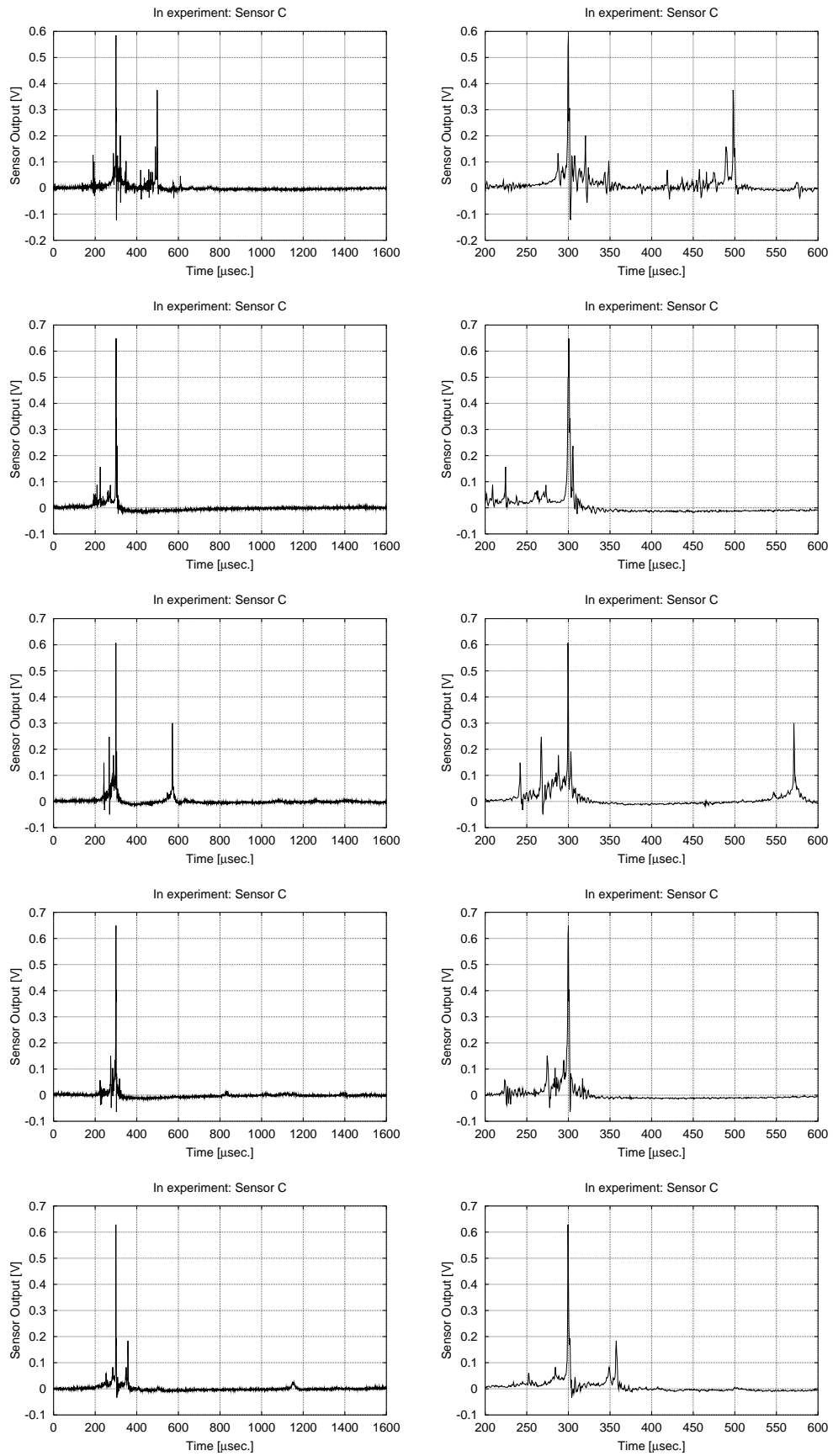


Fig. B.3: (continued)

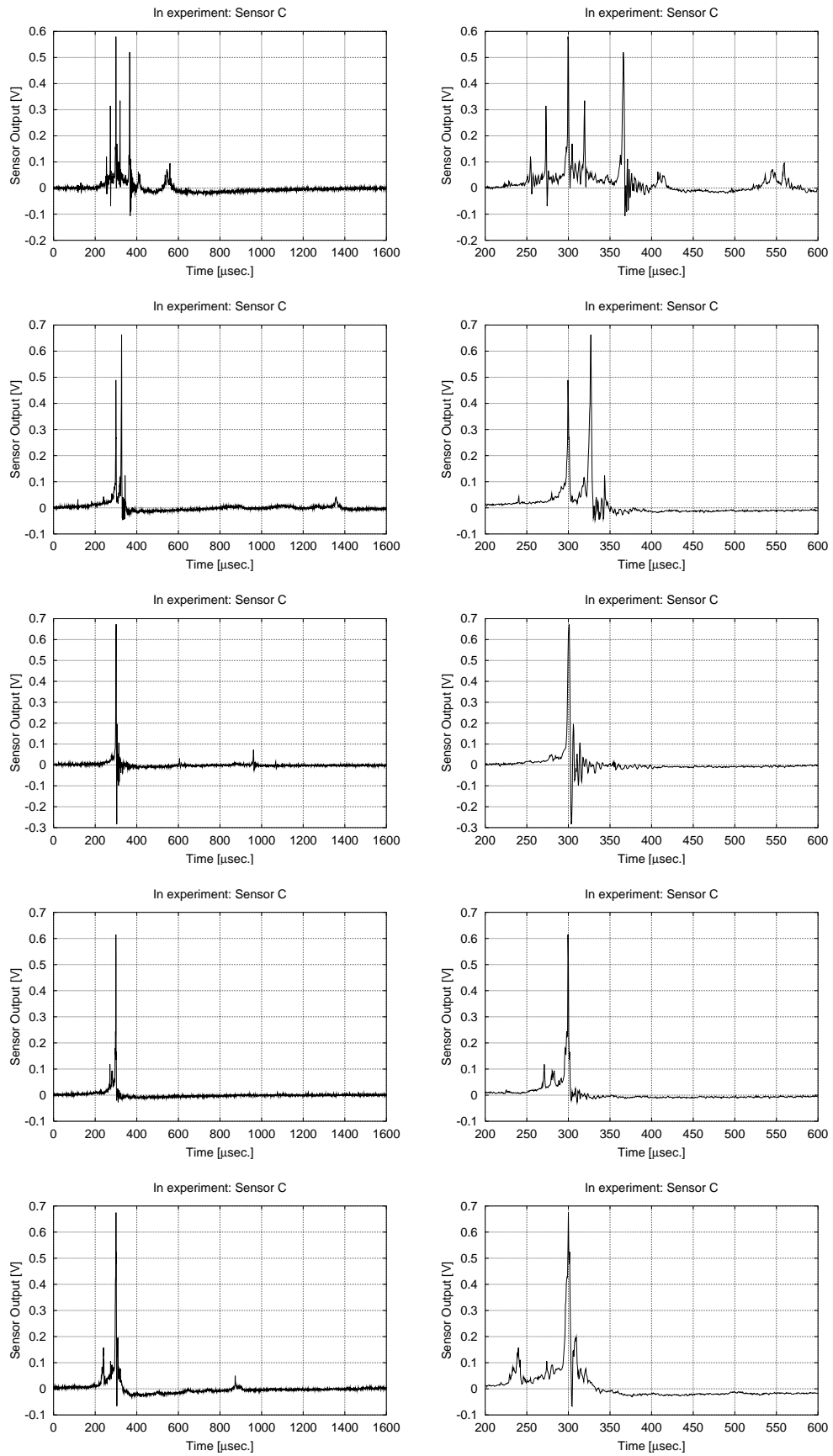


Fig. B.3: (continued)

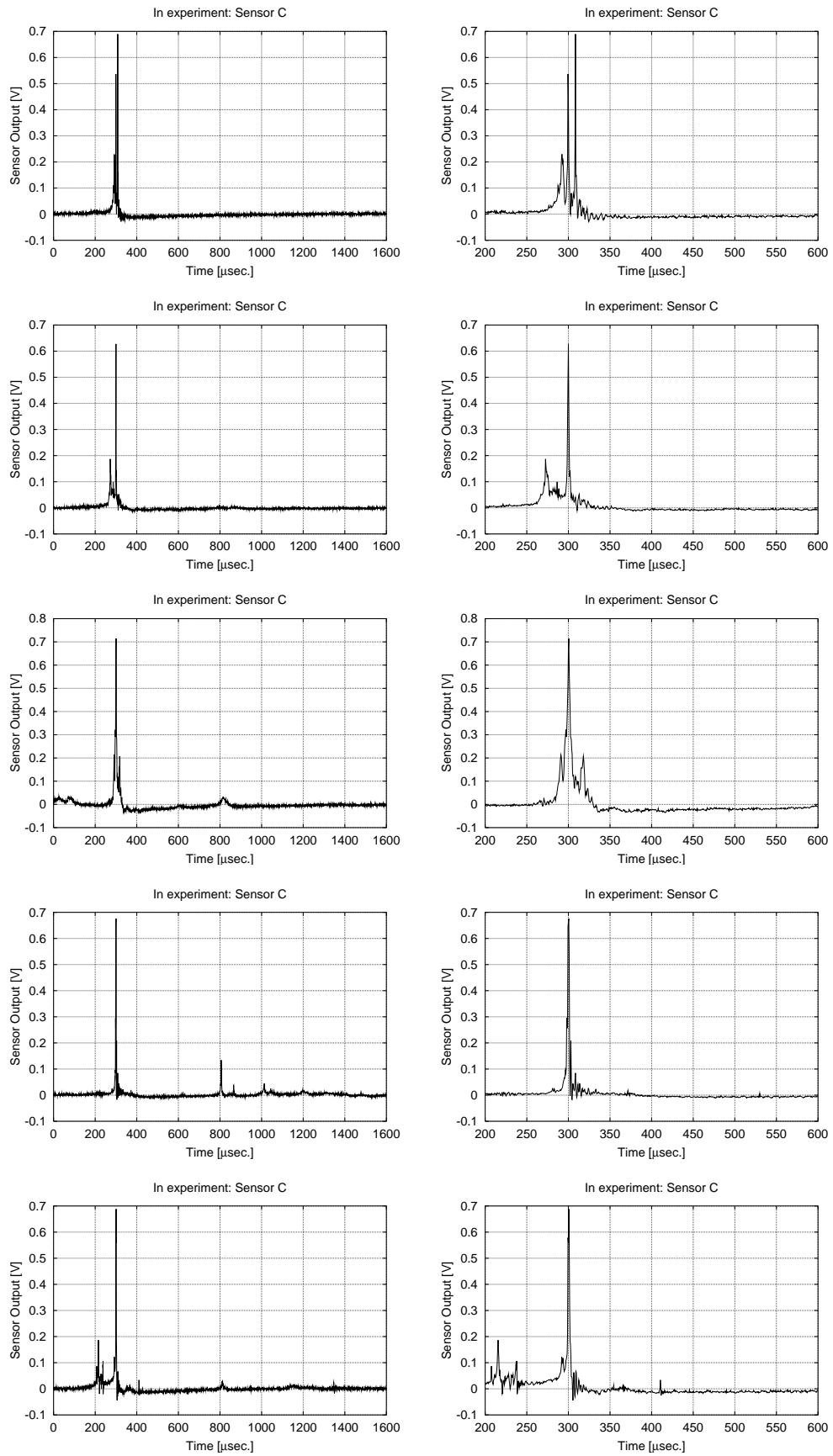


Fig. B.3: (continued)

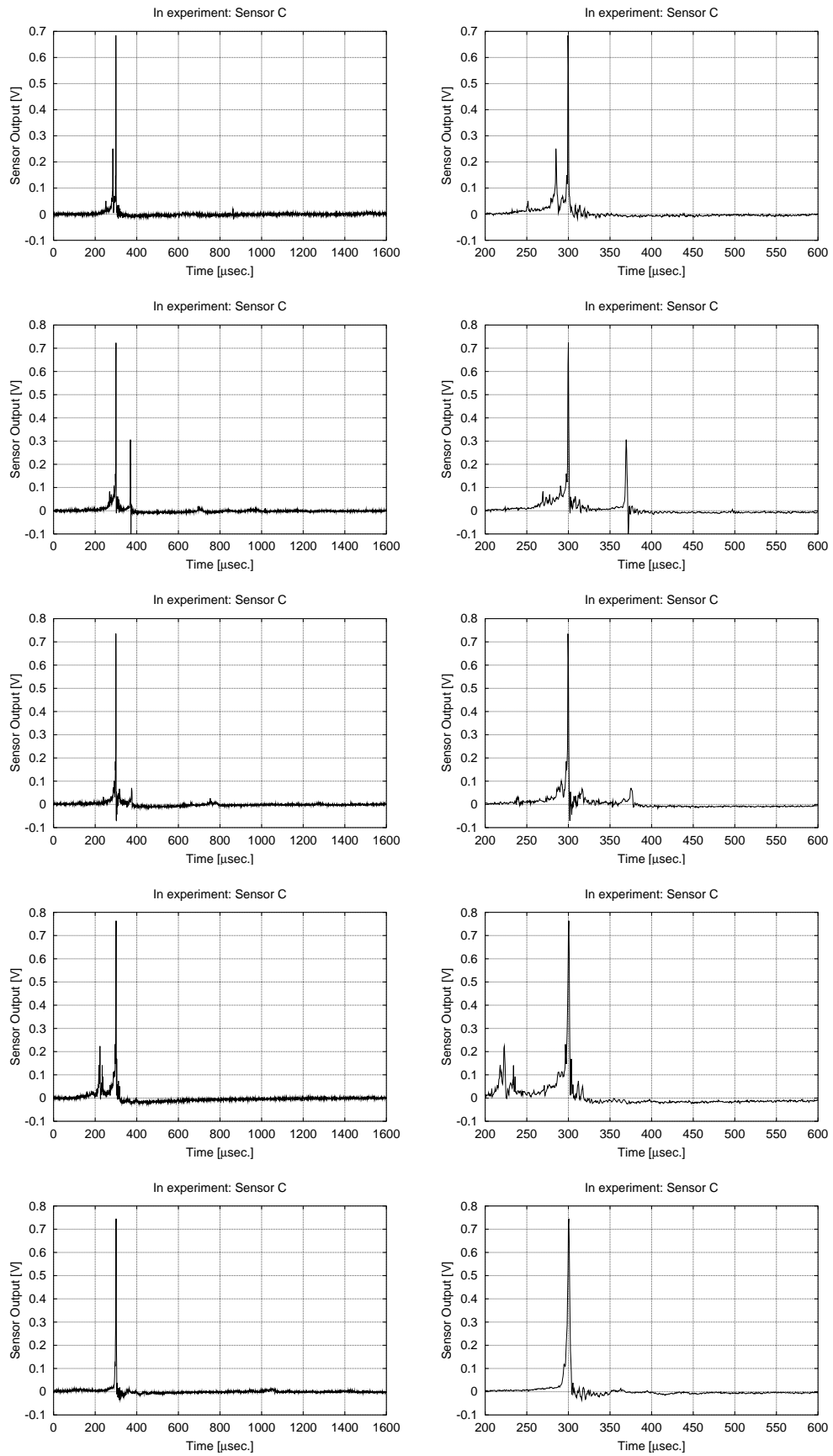


Fig. B.3: (continued)

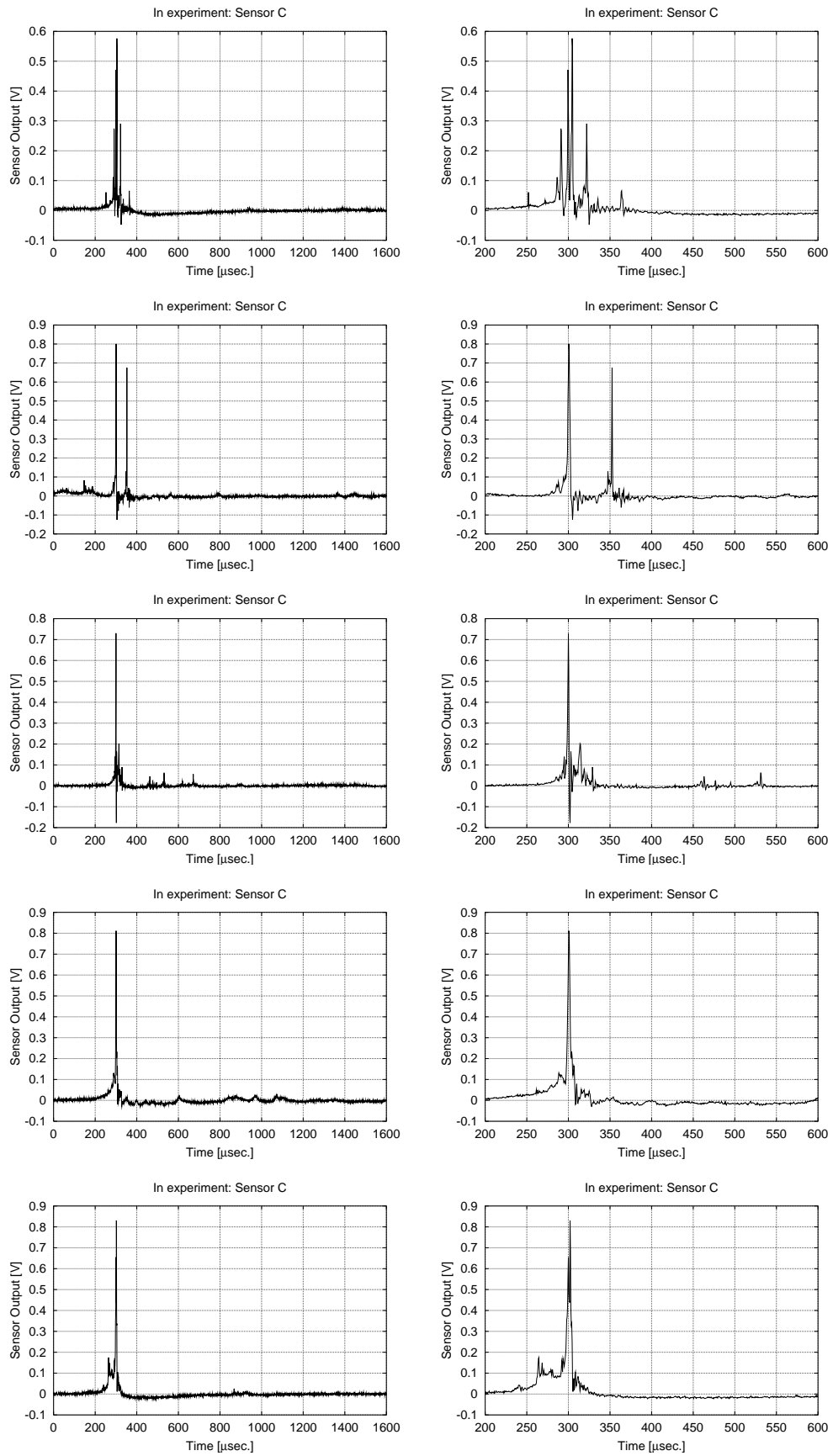


Fig. B.3: (continued)

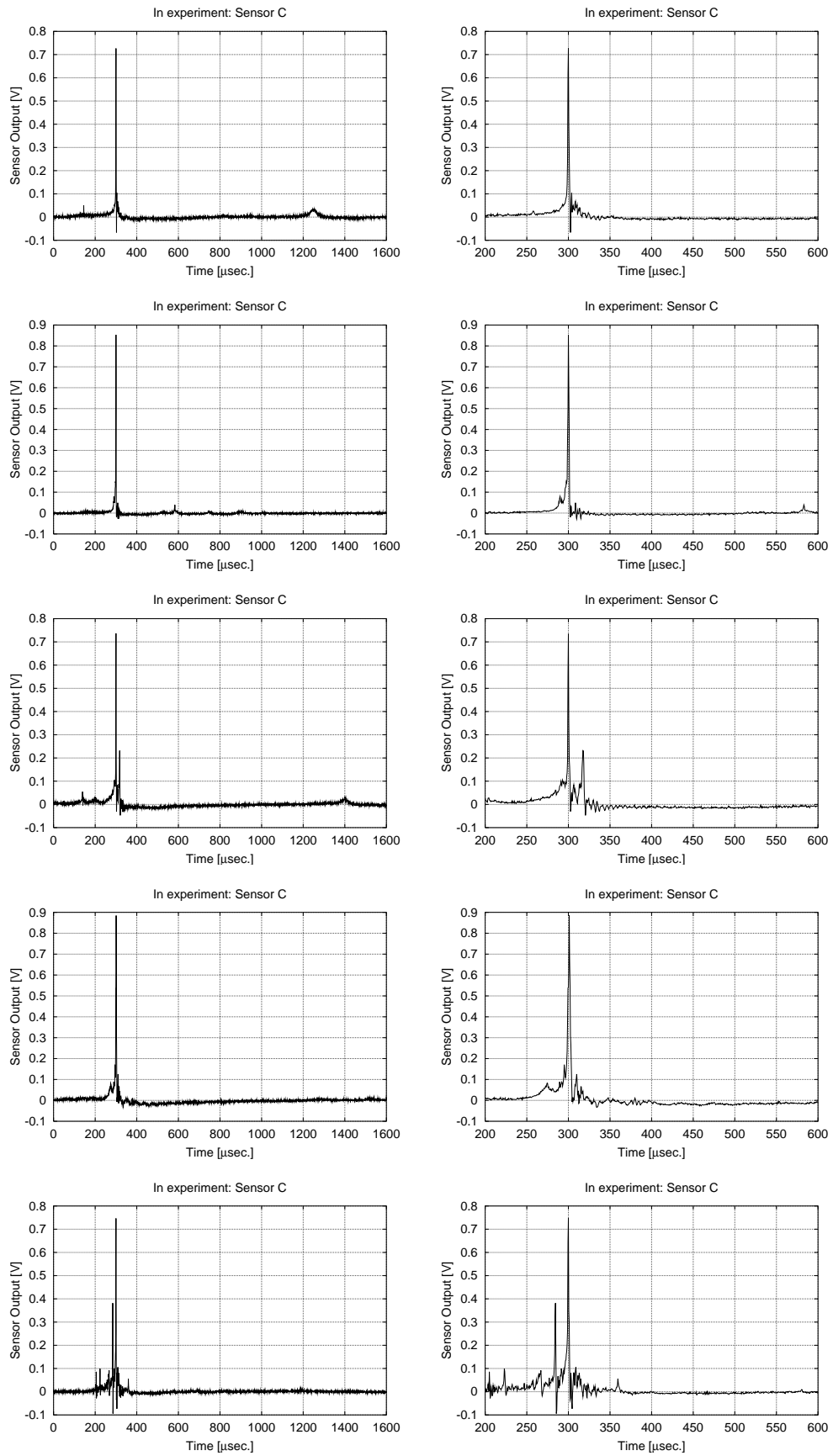


Fig. B.3: (continued)

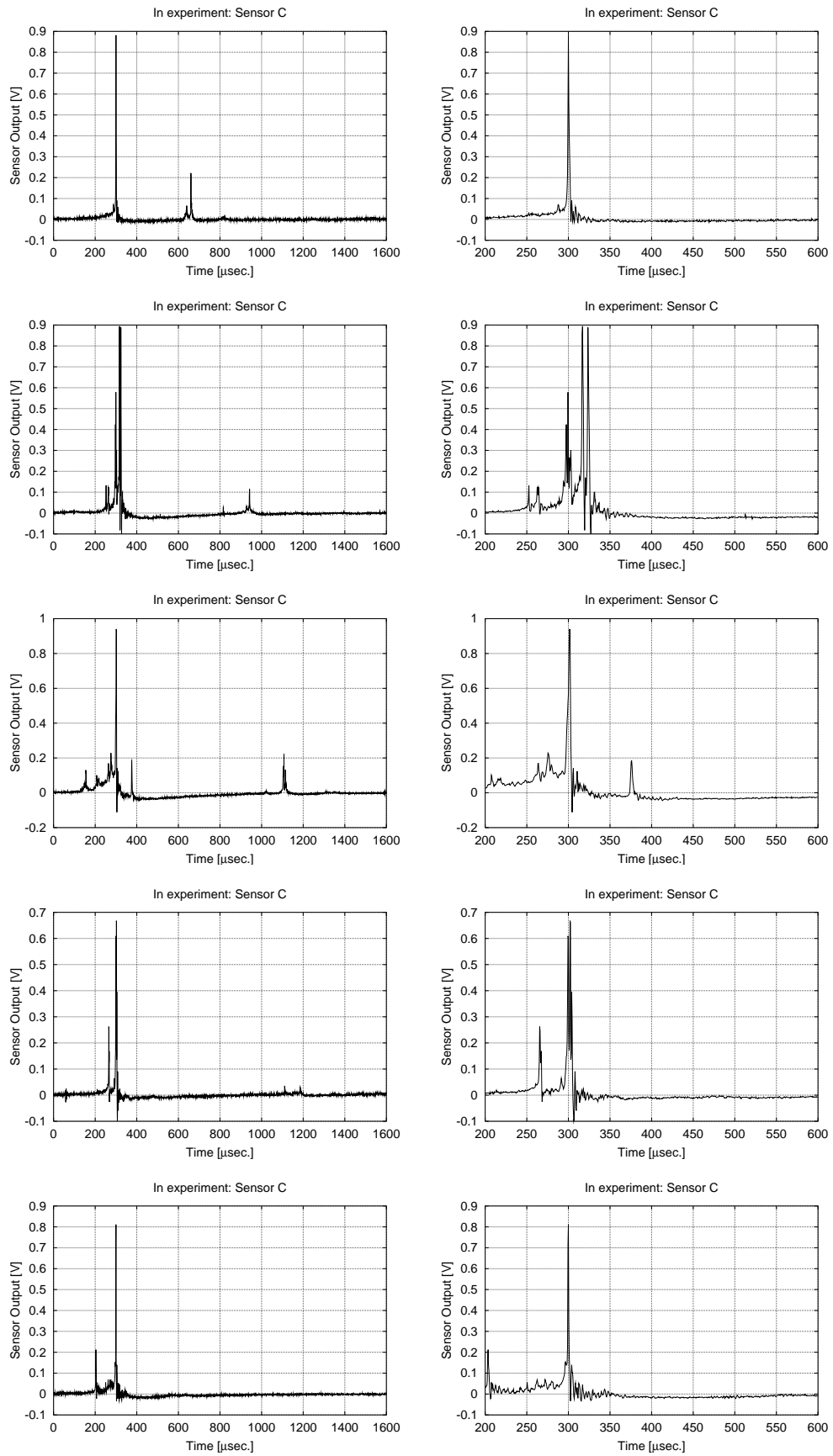


Fig. B.3: (continued)

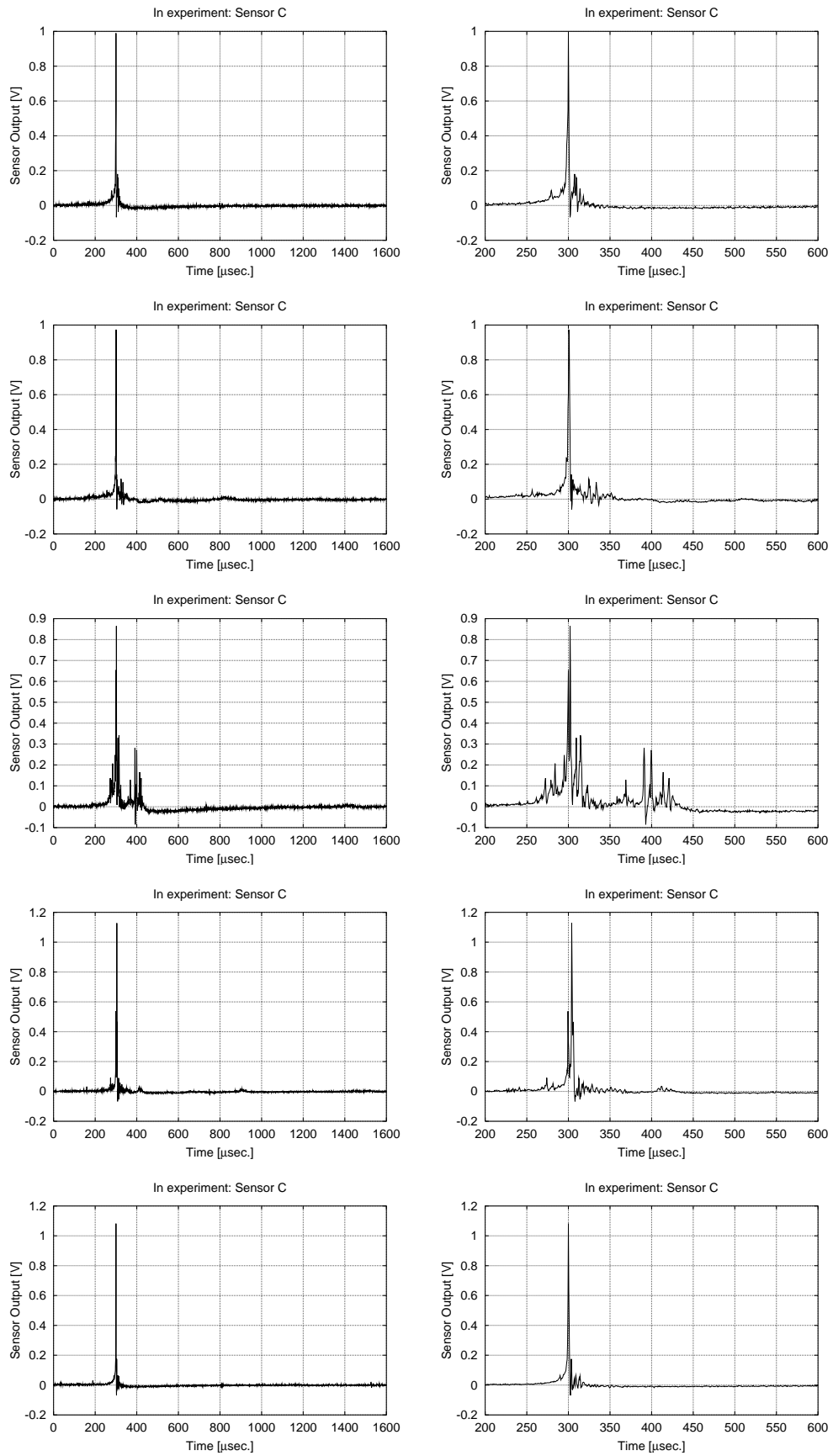


Fig. B.3: (continued)

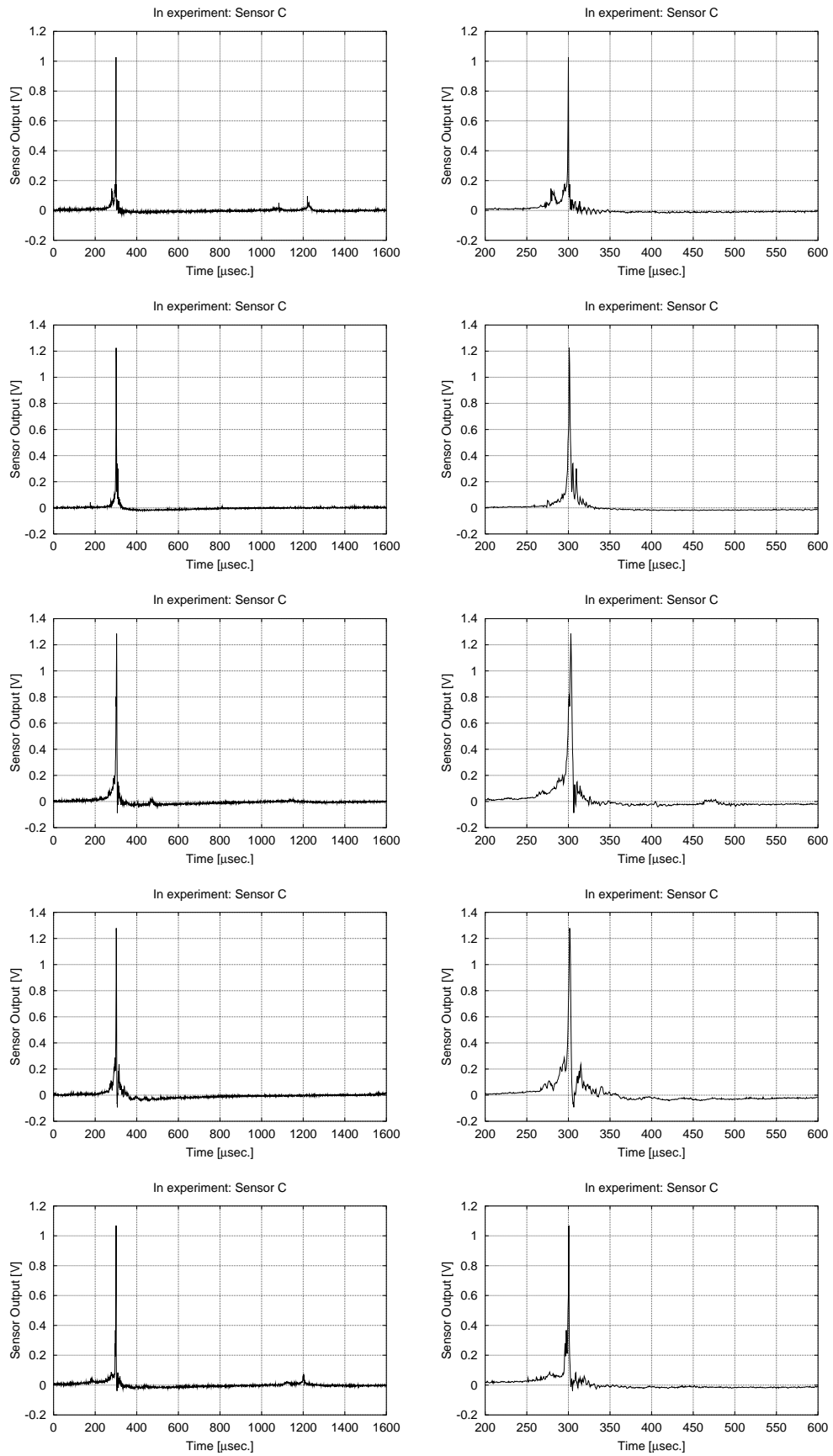


Fig. B.3: (continued)

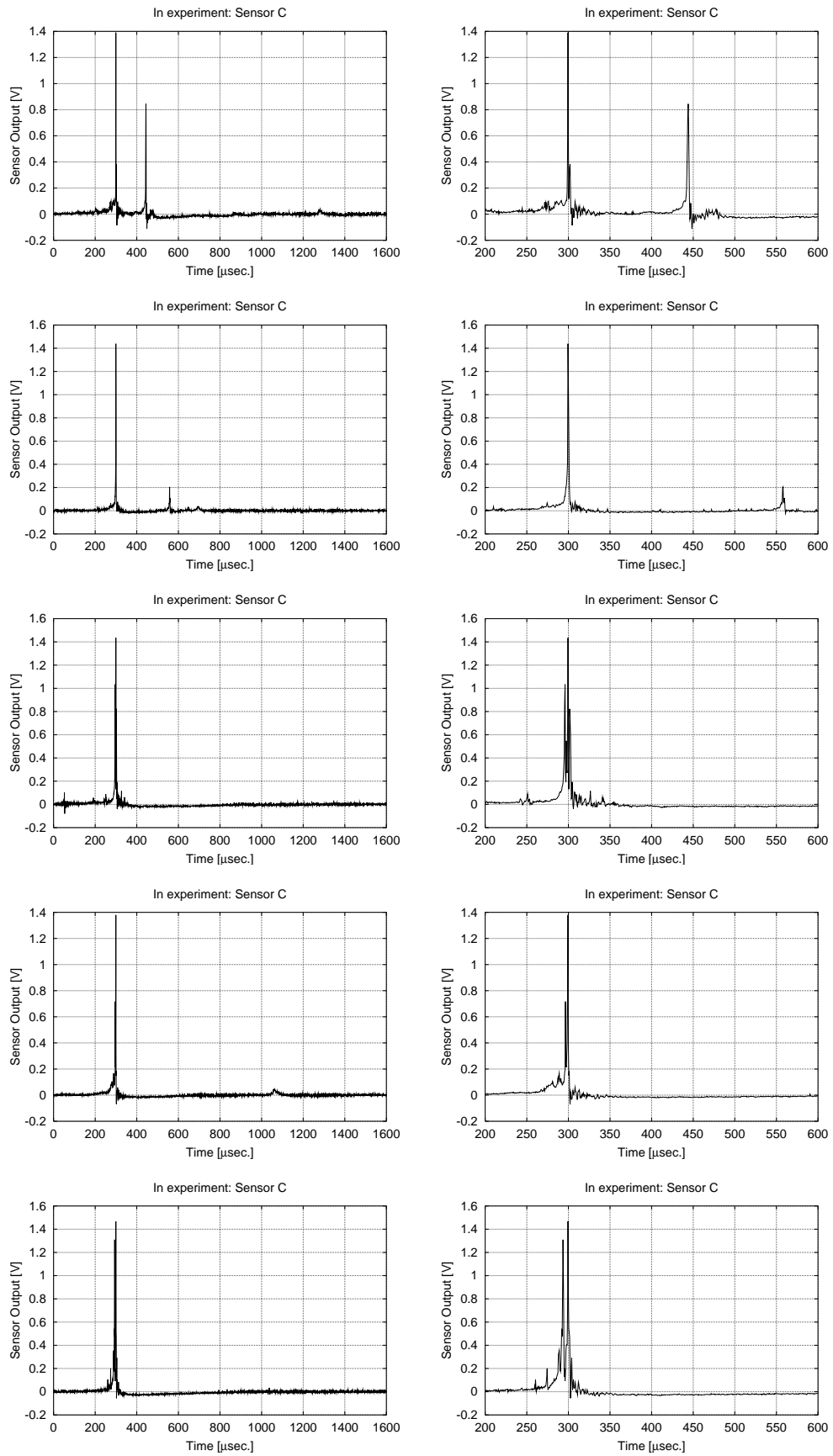


Fig. B.3: (continued)

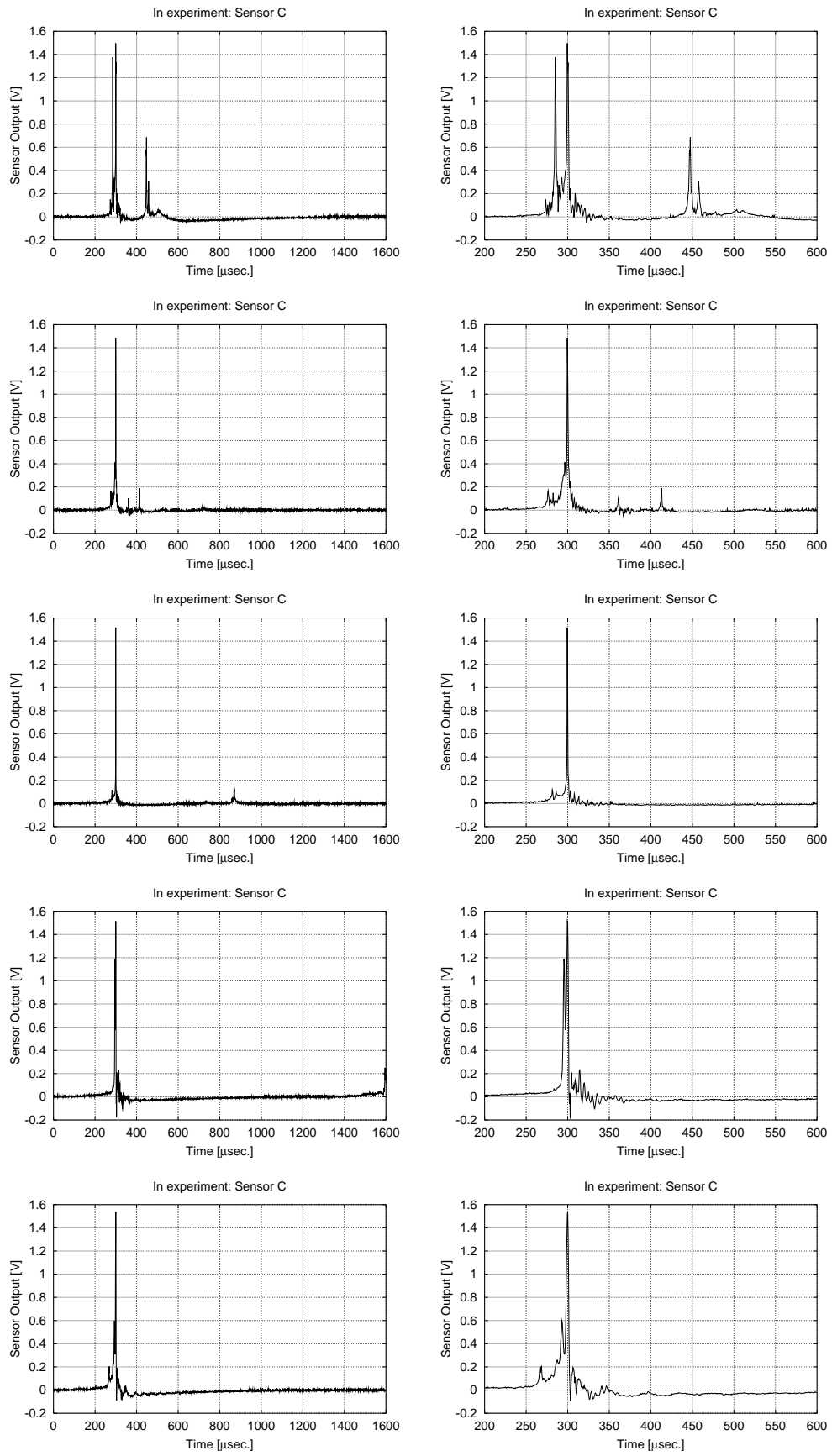


Fig. B.3: (continued)

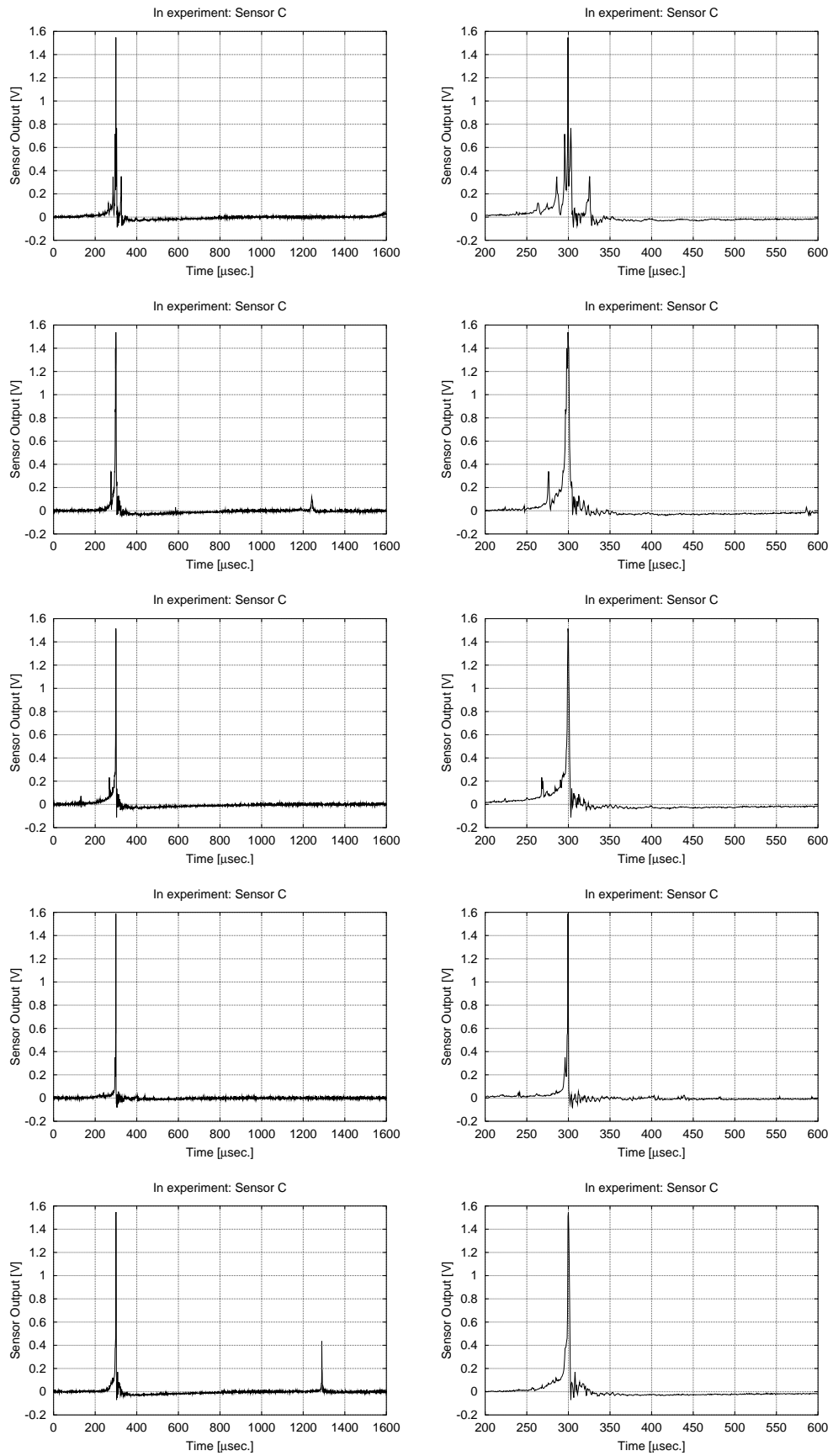


Fig. B.3: (continued)

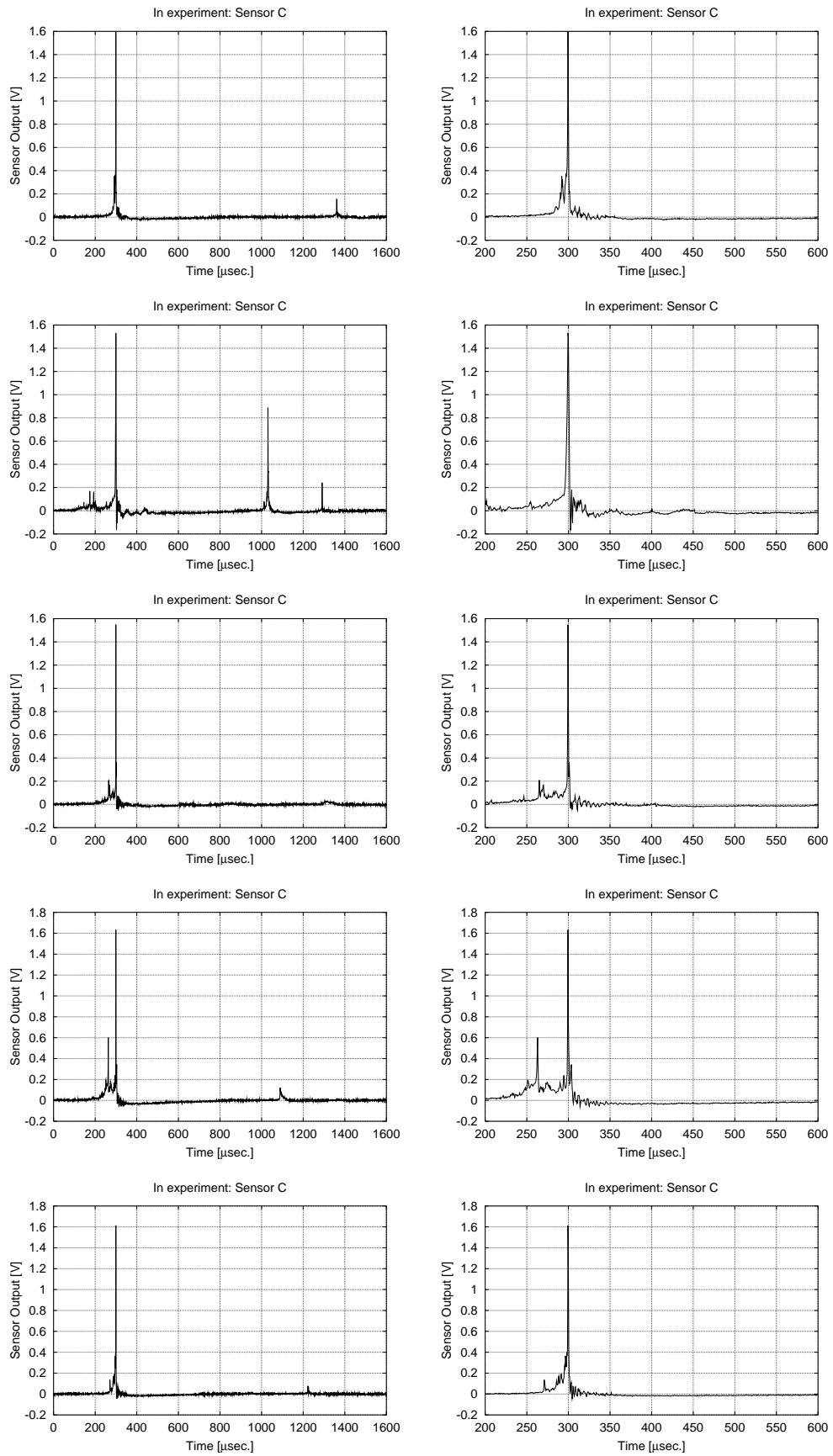


Fig. B.3: (continued)

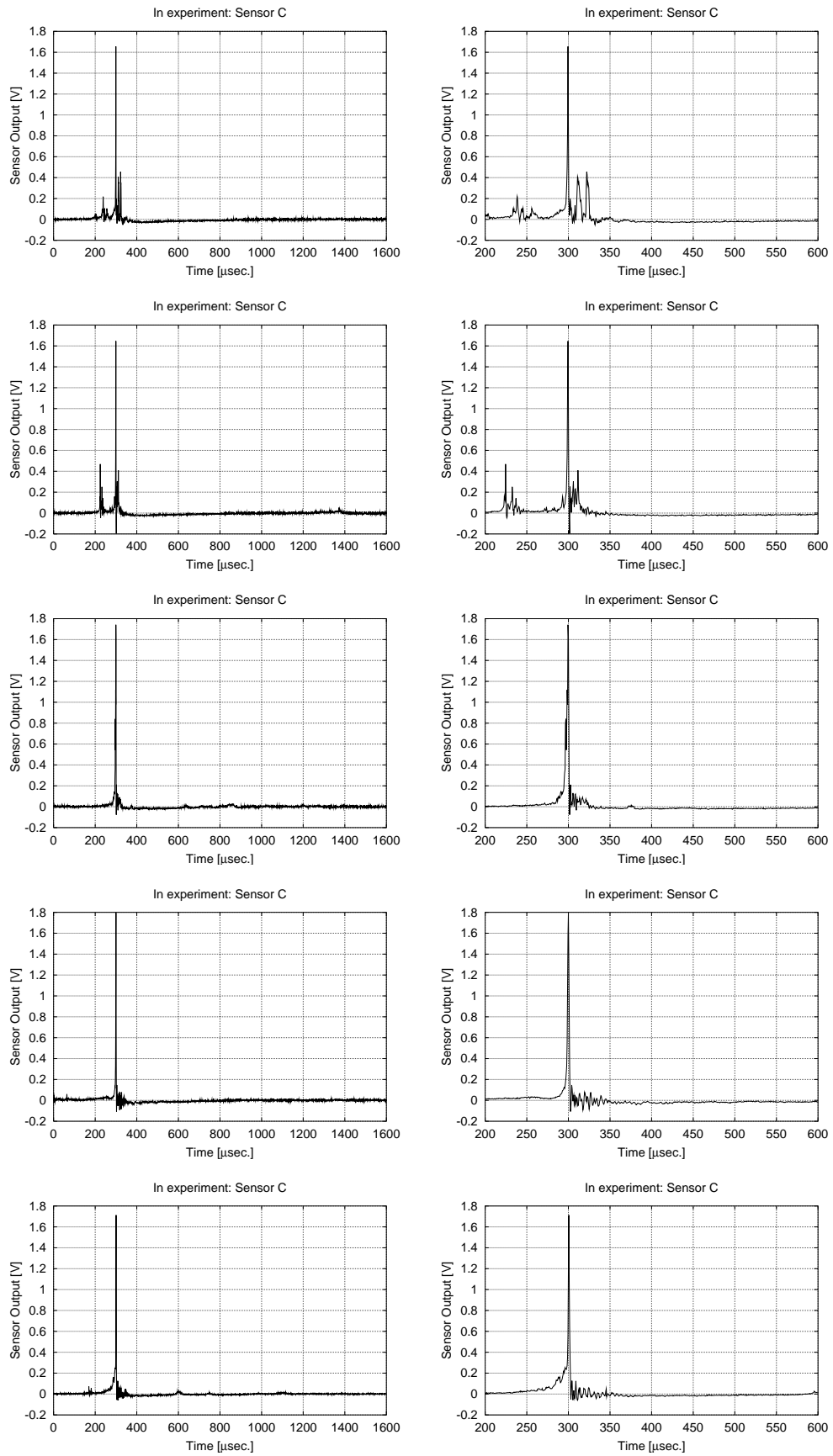


Fig. B.3: (continued)

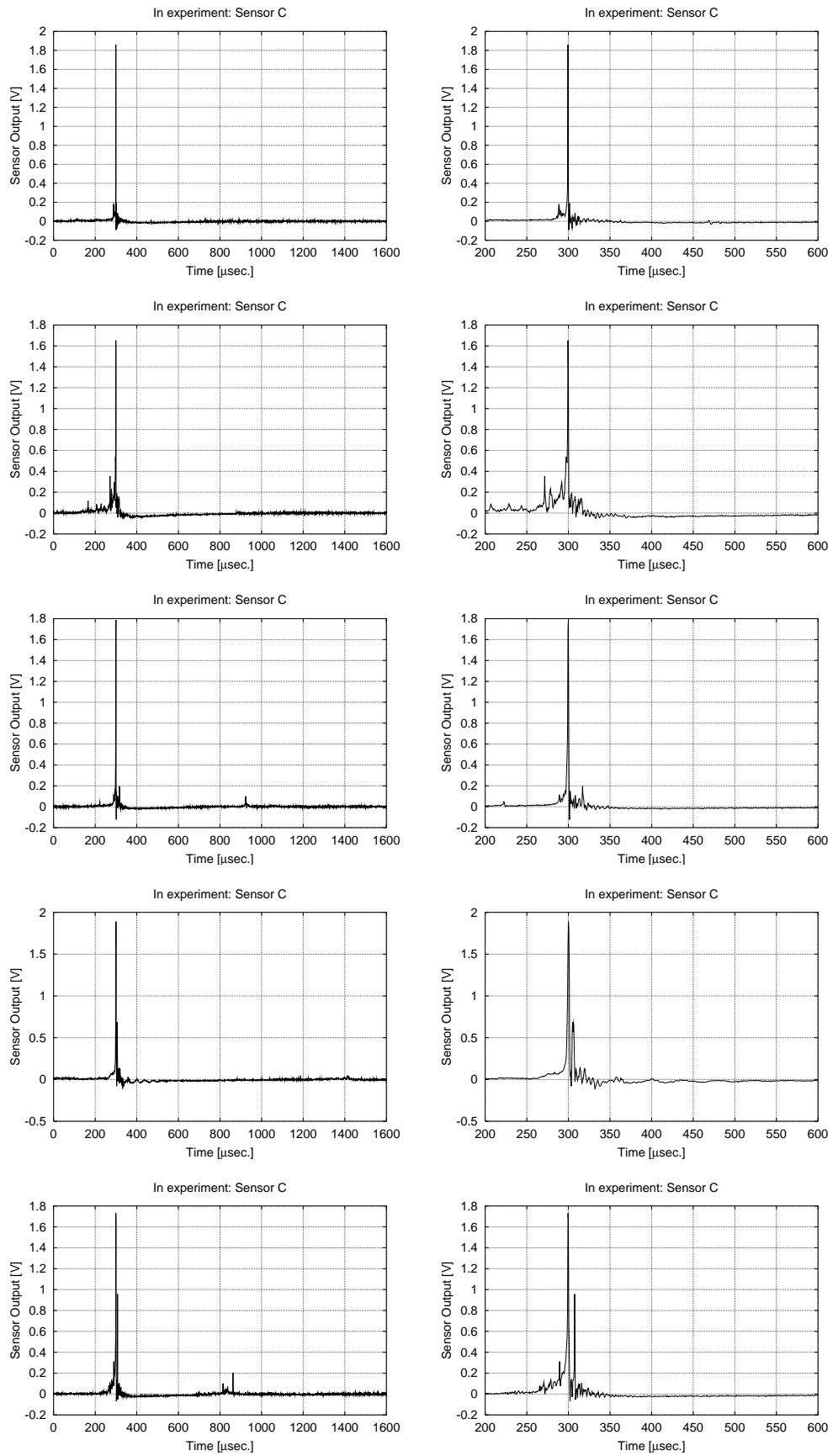


Fig. B.3: (continued)

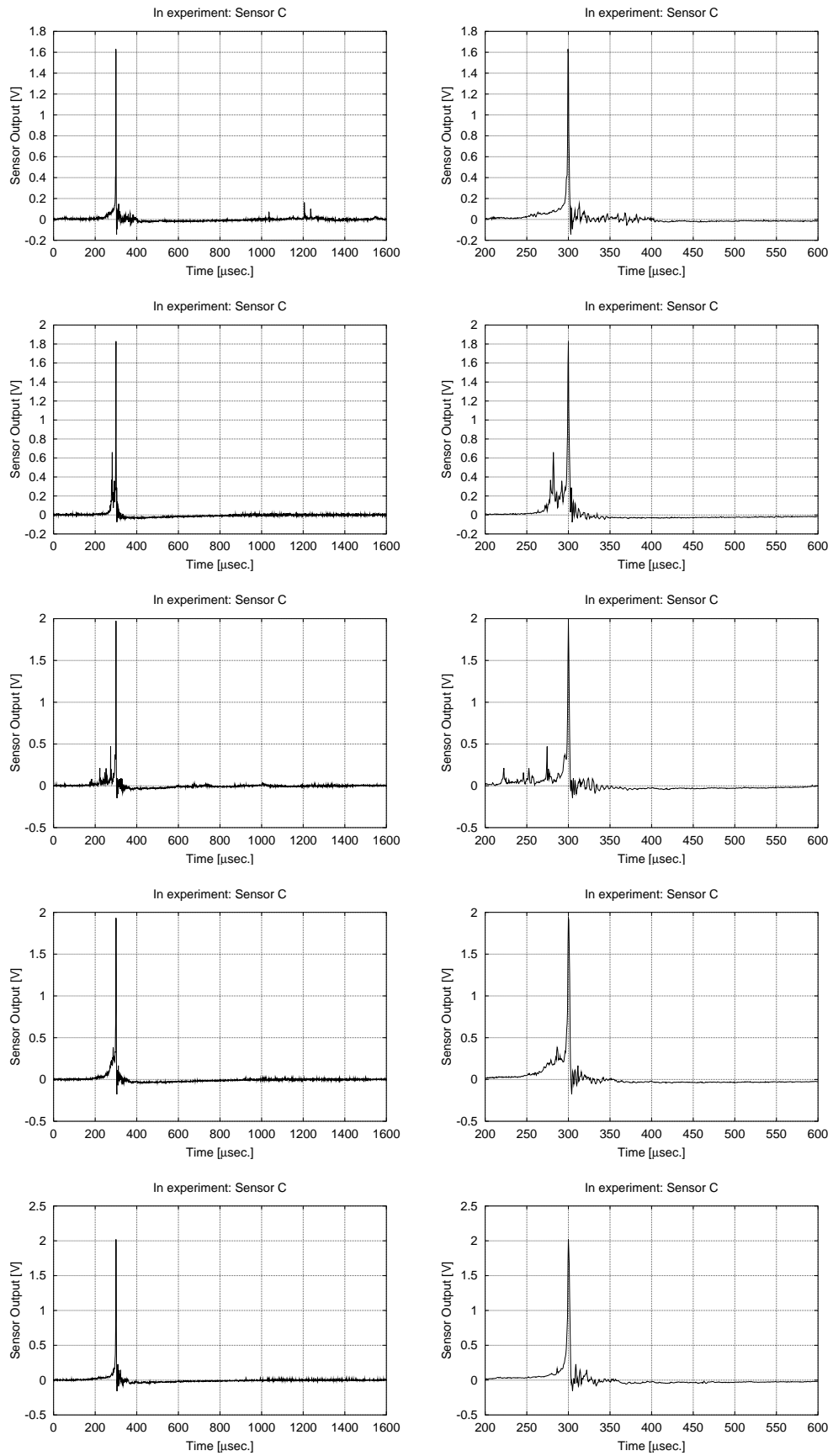


Fig. B.3: (continued)

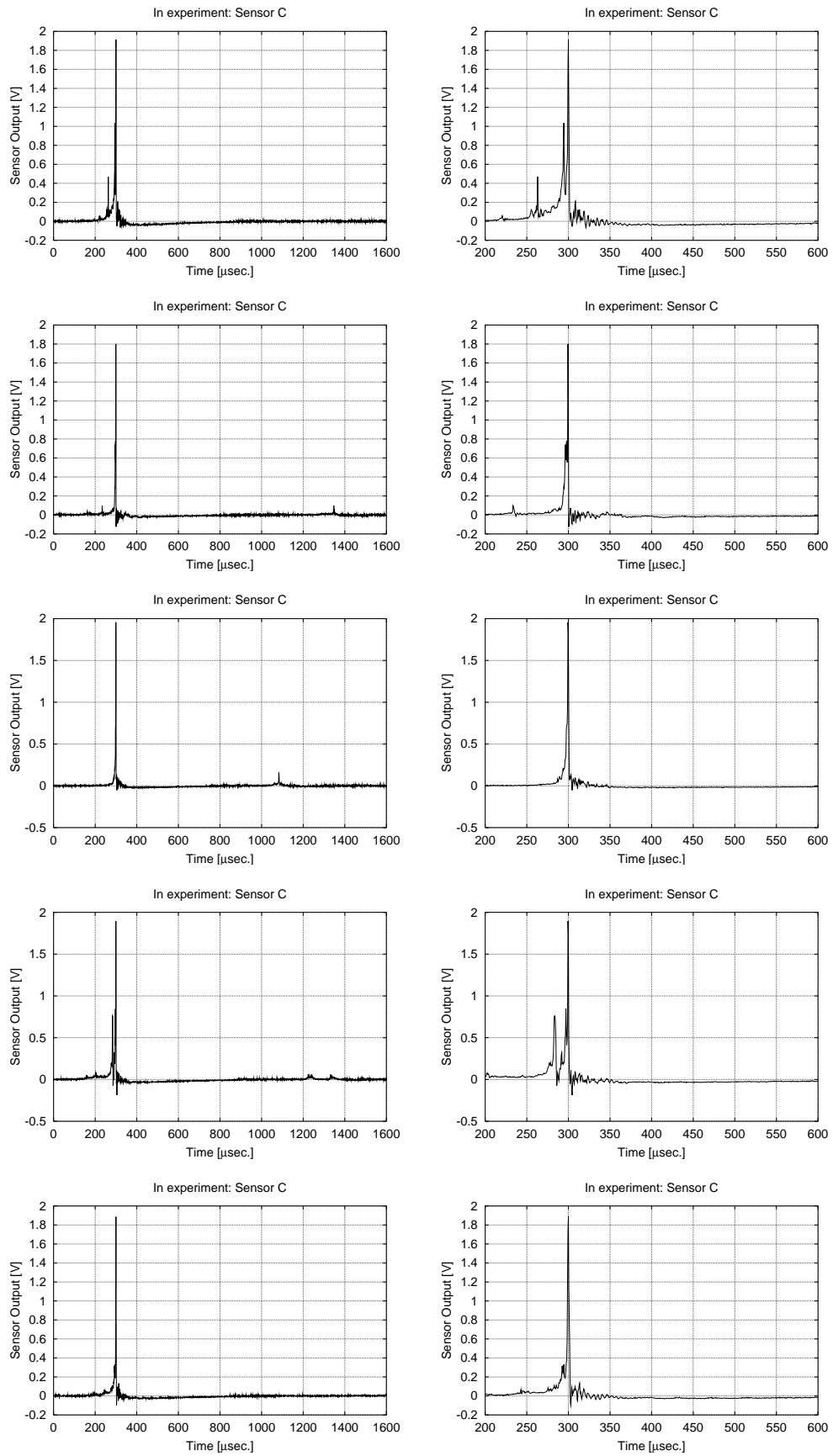


Fig. B.3: (continued)

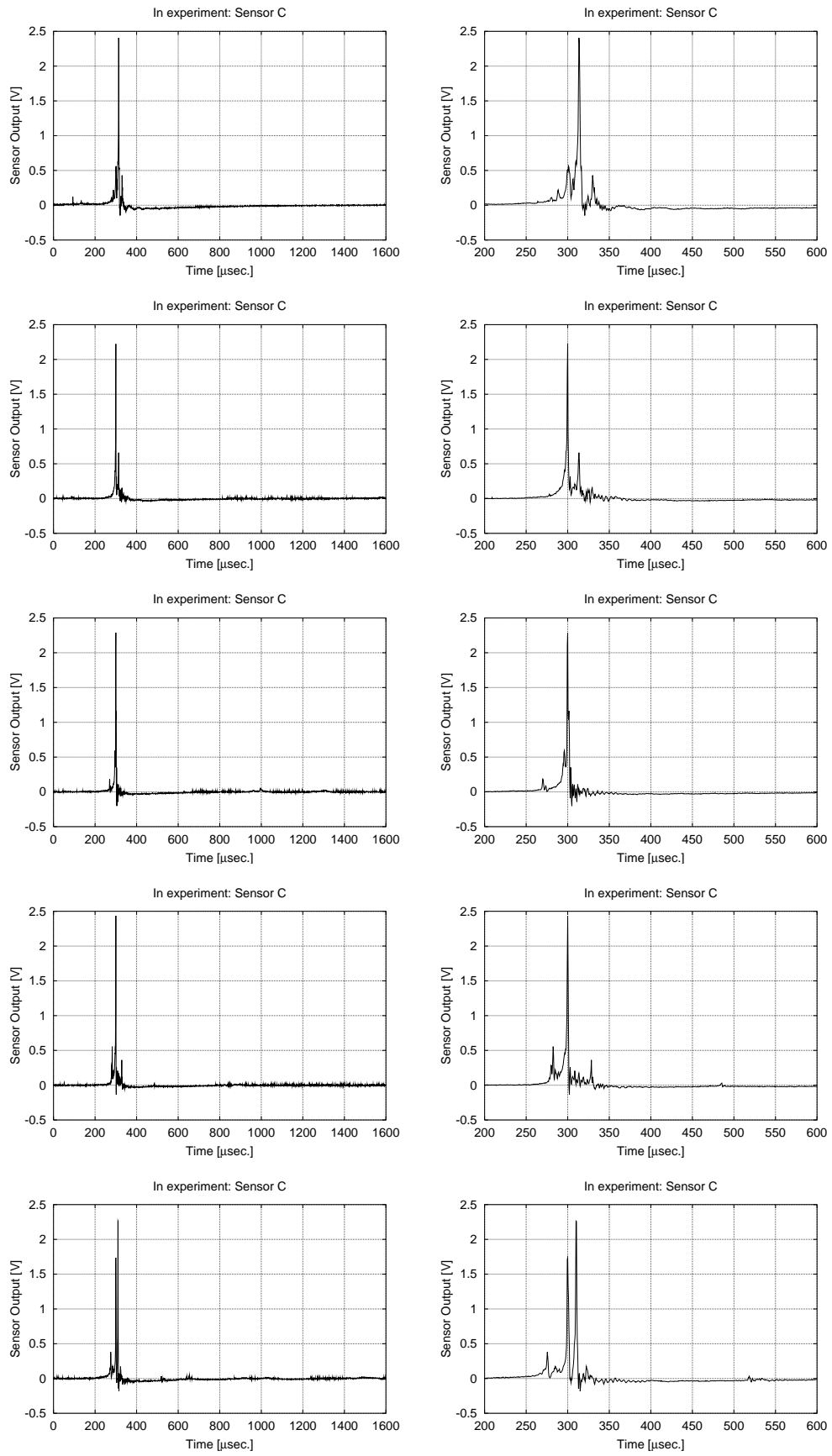


Fig. B.3: (continued)

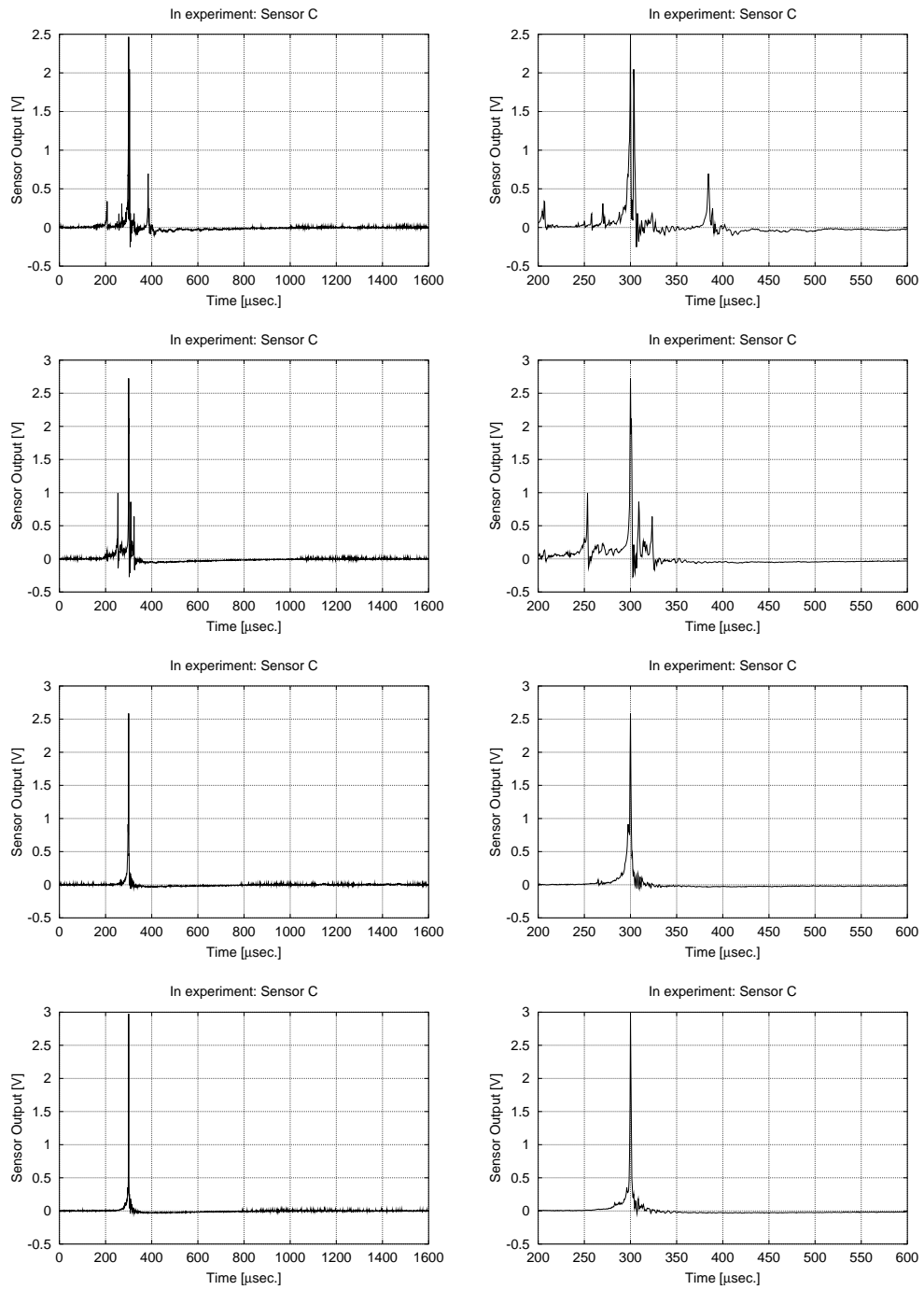


Fig. B.3: (continued)